

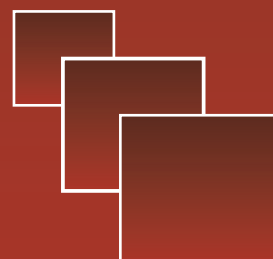
Вестник

Уральского
государственного
университета
путей сообщения

Научный журнал

Herald
of the Ural State University
of Railway Transport

Scientific journal



Научный журнал
Вестник Уральского государственного
университета путей сообщения
(Вестник УрГУПС)
№ 3 (47), 2020 год

Главный редактор
Василий Михайлович Сай
Научный редактор
Василий Федорович Лапшин

Литературный и выпускающий редактор
Людмила Станиславовна Барышникова

Техническое редактирование и верстка
Светлана Николаевна Наймушина

Учредитель и издатель:
Федеральное государственное
бюджетное образовательное учрежде-
ние высшего образования «Уральский
государственный университет путей
сообщения» (ФГБОУ ВО УрГУПС)

Адрес учредителя, издателя и редакции:
620034, Екатеринбург,
ул. Колмогорова, 66

Телефон редакции: (343) 221-25-60.
Веб-сайт: www.usurt.ru/vestnik;
e-mail: vestnik@usurt.ru.

Вестник УрГУПС включен ВАКом
в перечень периодических, научных
и научно-технических изданий,
выпускаемых в Российской Федерации,
в которых рекомендуется публикация
основных результатов диссертаций.

DOI:10.20291/2079-0392

Свидетельство о регистрации
средства массовой информации
Роскомнадзора ПИ № ФС77–38188
от 30 ноября 2009 г.

Подписной индекс журнала
в общероссийском
каталоге «Пресса России» – 70070

Отпечатано в издательстве
Уральского государственного
университета путей сообщения,
620034, Екатеринбург,
ул. Колмогорова, 66.

Подписано в печать 29.10.2020
Дата выхода в свет 11.11.2020.
Цена 300 руб.

Тираж 300 экз. 1-й з-д: 1–60.
Формат 70×100/16.
Заказ 35

Уральский государственный
университет путей сообщения
(ФГБОУ ВО УрГУПС), 2020 ©

Scientific journal «Herald of the
Ural State University
of Railway Transport»
(Herald of the USURT)
№ 3 (47), 2020

Editor-in-chief,
Vasily M. Say
Science editor
Vasily F. Lapshin

Script and copy editor
Lyudmila S. Baryshnikova

Technical editing and make-up
Svetlana N. Naimushina

Founder and publisher:
Federal state-funded educational
institution of the higher education
«Ural State University of Railway Transport»
(FGBOU VO URGUPS)

Address of the founder, publisher and edition:
66 Kolmogorov Street,
620034, Ekaterinburg

Telephone: +7 (343) 221-25-60.
Web-site: www.usurt.ru/vestnik;
e-mail: vestnik@usurt.ru.

DOI:10.20291/2079-0392

Certificate of registration of mass media
by the Federal Service for Supervision
in the sphere of communications,
information technology and mass communications
(Roskomnadzor) PI № FS77–38188
of November 30, 2009.

Subscription reference number
of the issue in the All Russia Catalogue
«Pressa Rossii» – 70070

Printed in the Publishing house
of the Ural State University of
Railway Transport
66 Kolmogorov Street,
620034, Ekaterinburg.

Passed for printing 29.10.2020
Data of issue 11.11.2020.
The price 300 rub.

Circulation 300. The 1st pr.: 1–60.
Format 70×100/16.
Order 35

The Ural State University
of Railway Transport
(FGBOU VO URGUPS), 2020 ©

МЕЖДУНАРОДНЫЙ РЕДАКЦИОННЫЙ СОВЕТ

Кейт Бурнхам, профессор, Университет г. Ковентри, факультет машиностроения и вычислительной техники, Великобритания

Петер Копачек, заслуженный профессор, Венский технологический университет, Институт механики и мехатроники, Вена, Австрия

Владимир Цыганов, д-р техн. наук, профессор, Институт проблем управления Российской академии наук, Москва, Россия

Сергей Герман-Галкин, д-р техн. наук, профессор, Морская академия, Институт судовой автоматики и электротехники, Щецин, Польша

Клаус Беккер, профессор, Университет прикладных наук г. Кельна, Институт автомобильной техники, лаборатория NVH, Германия

Василий Сай, д-р техн. наук, профессор, Уральский государственный университет путей сообщения, Екатеринбург, Россия

РЕДКОЛЛЕГИЯ

Аккерман Геннадий Львович, д-р техн. наук, профессор, УрГУПС, Екатеринбург

Ашпиз Евгений Самуилович, д-р техн. наук, профессор, РУТ, Москва

Булаев Владимир Григорьевич, д-р техн. наук, профессор, УрГУПС, Екатеринбург

Воробьев Александр Алексеевич, д-р техн. наук, профессор, МГУПС, Москва

Воскресенская Тамара Петровна, д-р техн. наук, профессор, СибГИУ, Новокузнецк

Корнилов Сергей Николаевич, д-р техн. наук, профессор, МГТУ, Магнитогорск

Кузнецов Константин Борисович, д-р техн. наук, профессор, УрГУПС, Екатеринбург

Курганов Валерий Максимович, д-р техн. наук, ТГУ, г. Тверь

Лапшин Василий Федорович, д-р техн. наук, профессор, УрГУПС, Екатеринбург

Сапожников Валерий Владимирович, д-р техн. наук, профессор, ПГУПС, Санкт-Петербург

Сизый Сергей Викторович, д-р техн. наук, профессор, УрФУ, Екатеринбург

Тимофеева Галина Адольфовна, д-р физ.-мат. наук, профессор, УрГУПС, Екатеринбург

Щурин Константин Владимирович, д-р техн. наук, профессор, ОГУ, Оренбург

INTERNATIONAL EDITORIAL BOARD

Keith Burnham, professor, Coventry University, Faculty of Engineering and Computing, Great Britain

Peter Kopachek, Professor Emeritus, TU Wien, Institute for Mechanics and Mechatronics, Vienna, Austria

Vladimir Tsyganov, DSc, professor, Russian Academy of Sciences, Institute of Control Sciences, Moscow, Russia

Sergey German-Galkin, DSc, professor Maritime Academy, Institute of naval automation and electric engineering, Szczecin, Poland

Klaus Becker, professor, Cologne University of Applied Sciences, Institute of Automotive Engineering, NVH Laboratory, Germany

Vasily Say, DSc, professor, The Ural State University of Railway Transport, Ekaterinburg, Russia

EDITORIAL BOARD

Akkerman Gennadiy Lvovich, DSc, Professor, Ural State University of Railway Transport, Yekaterinburg

Ashpiz Evgeniy Samuilovich, DSc, Professor, Russian University of Transport, Moscow

Bulaev Vladimir Grigorievich, DSc, Professor, Ural State University of Railway Transport, Yekaterinburg

Vorobjev Alexander Alexeevich, DSc, professor, Moscow State University of Railway Transport, Moscow

Voskresenskaya Tamara Petrovna, DSc, professor, Siberian State Industrial University, Novokuznetsk

Kornilov Sergey Nikolaevich, DSc, professor, Magnitogorsk State Technical University, Magnitogorsk

Kuznetsov Konstantin Borisovich, DSc, professor, The Ural State University of Railway Transport, Ekaterinburg

Kurganov Valeriy Maximovich, DSc, Professor, Tver State University, Tver city

Lapshin Vasily Fedorovich, DSc, Professor, Ural State University of Railway Transport, Yekaterinburg

Sapozhnikov Valery Vladimirovich, DSc, professor, Petersburg State University of Railway Transport, Saint-Petersburg

Sizyi Sergey Viktorovich, D. Sc. in engineering, professor, Ural Federal University, Ekaterinburg

Timofeeva Galina Adolfovna, DSc, professor, The Ural State University of Railway Transport, Ekaterinburg

Shchurin Konstantin Vladimirovich, DSc, professor, Orenburg State University, Orenburg

Содержание

Математические модели технологических процессов

- 4 В. С. Тарасян, А. О. Грязнов. Применимость генетических алгоритмов для настройки нечетких систем управления движением на перекрестке
- 12 А. А. Сабирзянов. Анализ концепции инерционного движителя
- 20 И. П. Попов. Годографы двойного вращения в механизмах

Механика машин и роботов

- 27 П. Ю. Иванов, А. М. Худонов, Е. Ю. Дульский, А. А. Корсун, С. В. Трескин. Исследование температуры тормозных колодок с разной степенью износа в процессе фрикционного торможения

Управление в технических системах

- 35 А. В. Гриценко, К. В. Глемба. Исследование энергетической эффективности бензинового ДВС при озонировании компонентов ТВС
- 45 С. И. Носков, И. П. Врублевский, В. О. Заянчукская. Применение интервального регрессионного анализа для моделирования объектов транспорта
- 53 Е. В. Климова. Пропускная и провозная способность перегонов при реализации технологии «виртуальная сцепка» грузовых поездов
- 65 А. В. Гриценко, К. В. Глемба, А. С. Баясников. Исследование параметров работы газораспределительного механизма при виброакустическом контроле в режиме тестового диагностирования

Организация и логистика

- 74 И. Д. Громов, П. М. Тихонов. Формализация разделенных интересов заказчика и участника закупочной процедуры
- 81 Д. Ю. Роменский, К. А. Калинин. Обоснование величины потребного интервала между транспортными средствами в пригородно-городских пассажирских перевозках на примере работы железнодорожных диаметров
- 89 П. М. Тихонов, И. Д. Громов. Имитационное моделирование действий агента-заказчика при закупочной процедуре как способ совершенствования организации производственно-хозяйственной деятельности (на примере холдинга «РЖД»)

Исторические и философские параллели

- 102 Е. П. Пьяных. Геополитическое значение транспортных коммуникаций современной России

Contents

Mathematical models of technological processes

- 4 V. S. Tarasyan, A. O. Gryaznov. Applicability of genetic algorithms for configuring fuzzy traffic control systems at intersections
- DISCUSSION CLUB
- 12 A. A. Sabirzyanov. Analysis of the inertial propulsion concept
- 20 I. P. Popov. Dual rotation hodographs in mechanisms

Mechanics of machines and robots

- 27 P. Yu. Ivanov, A. M. Khudonogov, E. Yu. Dulskiy, A. A. Korsun, S. V. Treskin. Investigation of temperature of brake pads with different extent of wear in frictional braking

Control in engineering systems

- 35 A. V. Gritsenko, K. V. Glemba. Investigation of energy efficiency of petrol ice under ozonization of fam components
- 45 S. I. Noskov, I. P. Vrublevskiy, V. O. Zayanchukovskaya. Application of interval regression analysis for modelling of transport objects
- 53 E. V. Klimova. Carriage and traffic capacity of railway hauls in realization of «virtual coupling» technology of freight trains
- 65 A. V. Gritsenko, K. V. Glemba, A. S. Balyasnikov. Investigation of operational parameters of a gas distribution mechanism under vibroacoustic control in testing mode

Organisation and logistics

- 74 I. D. Gromov, P. M. Tikhonov. Formalization of separated interests of a customer and procurement procedure participant
- 81 D. Yu. Romenskiy, K. A. Kalinin. Justification of the value of required interval between vehicles in suburban and urban passenger transportation on the example of railway diameters
- 89 P. M. Tikhonov, I. D. Gromov. Simulation of the actions of the agent-customer during the procurement procedure as a way to improve the organization of production and economic activities (on the example of the Russian railways holding)

Historical and philosophical parallels

- 102 E. P. Pyanykh. Geopolitical significance of transport communications of modern Russia

Математические модели технологических процессов

УДК 658.014

В. С. Тарасян, А. О. Грязнов

Применимость генетических алгоритмов для настройки нечетких систем управления движением на перекрестке

UDC 658.014

V. S. Tarasyan, A. O. Gryaznov

Applicability of genetic algorithms for configuring fuzzy traffic control systems at intersections

Аннотация

В работе продемонстрирован метод оптимизации нечеткого регулятора с помощью генетического алгоритма, использующего стратегию элитизма. В качестве объекта регулирования использовалась упрощенная модель регулируемого четырехстороннего перекрестка, описывающая перекресток с одной полосой движения в каждом направлении. Для заданных значений интенсивности движения выполнена серия компьютерных экспериментов по оптимизации нечеткого регулятора. По результатам нескольких прогонов, в каждом из которых длительность моделирования была ограничена

десятью поколениями, продемонстрирована повторяемость результатов настройки, на основании чего сделан вывод о достижении максимальной эффективности управления данным методом. Выполнено сравнение результатов моделирования светофорного регулирования в трех вариантах: 1) фиксированная длительность фаз светофора, 2) база правил для нечеткого регулятора составлена экспертным методом и 3) база правил для нечеткого регулятора оптимизирована специальным эволюционным алгоритмом. Показано, что средняя длина пробки для оптимизированного регулятора в проведенных экспериментах

стремилась к минимальному значению (около 11-ти автомобилей, что практически вдвое меньше, чем при экспертном составлении базы правил нечеткого регулятора и примерно в четыре раза меньше, чем при фиксированном цикле работы светофора).

Ключевые слова: генетический алгоритм, нечеткое регулирование, интеллектуальное управление, простой перекресток, управление светофорами.

DOI: 10.20291/2079-0392-2020-3-4-11

Abstract

The paper demonstrates a method for optimizing a fuzzy controller through a

Статья рекомендована к публикации Б. М. Готтлибом, д-ром техн. наук, профессором Уральского государственного университета путей сообщения. E-mail: BMGottlib@usurt.ru.

Владимир Сергеевич Тарасян, канд. физ.-мат. наук, доцент Уральского государственного университета путей сообщения. Екатеринбург, Россия. E-mail: VTarasyan@gmail.com. ORCID 0000-0002-5288-5221.

Алексей Олегович Грязнов, аспирант Уральского государственного университета путей сообщения. Екатеринбург, Россия. E-mail: aogryaznov@gmail.com. ORCID 0000-0003-1993-8296.

The article is recommended for publishing by B. M. Gottlieb, Dr. of tech. sci., Professor, the Ural state University of railway transport; E-mail: BMGottlib@usurt.ru.

Vladimir Sergeevich Tarasyan, Candidate of physical and mathematical Sciences, Associate Professor, the Ural state University of railway transport. Yekaterinburg, Russia. E-mail: VTarasyan@gmail.com. ORCID 0000-0002-5288-5221.

Alexey Olegovich Gryaznov, Post-graduate student, the Ural state University of railway transport. Yekaterinburg, Russia. E-mail: aogryaznov@gmail.com. ORCID 0000-0003-1993-8296.

genetic algorithm that uses an elitism strategy. A simplified model of a regulated four-way intersection was used as the object of regulation, describing an intersection with one lane of traffic in each direction. A series of computer experiments on optimization of the fuzzy controller was performed for the set values of the traffic intensity. The results of several runs, each with the duration of the simulation was limited to ten generations,

demonstrated repeatability of the settings, on the basis of which a conclusion about the achievement of the maximum efficiency control method was made. The results of modeling traffic light regulation in three variants are compared: 1) fixed duration of traffic light phases, 2) the rule base for the fuzzy controller is compiled by an expert method, and 3) the rule base for the fuzzy controller is optimized by a special evolutionary algorithm. It is shown that the average

tube length for the optimized regulator in the experiments sought to the minimum value (about 11 vehicles, which is almost twice less than in the preparation of the expert rule base of a fuzzy controller and about four times less than for a fixed cycle traffic light).

Keywords: genetic algorithm, fuzzy control, intelligent control, simple intersection, traffic light control.

DOI: 10.20291/2079-0392-2020-3-4-11

Задача управления многопараметрическими системами актуальна, например, при составлении максимально эффективного расписания движения поездов или при проектировании сложных конструкций, которые будут минимальны по весу и достаточны по прочностным характеристикам. Связка генетических алгоритмов с нечеткой логикой – хороший инструмент для решения таких задач [1–3]. Цель нашей работы – показать применимость генетических алгоритмов для оптимизации нечеткого регулятора для управления многопараметрической системой.

Программный комплекс состоит из трех основных частей. Моделью перекрестка управляет нечеткий регулятор,

который вносит изменения в длительности фаз на основании информации о количестве автомобилей, ожидающих проезда. Настройка нечеткого регулятора осуществляется с помощью генетического алгоритма. На рис. 1 представлена структурная схема программного комплекса.

В качестве объекта регулирования выбрано простое пересечение двух дорог с двусторонним движением. В модели для каждого направления имеется переменная, увеличение которой на единицу означает подъезд к перекрестку очередного автомобиля, а уменьшение – его проезд. Перекресток регулируется с помощью светофора за две фазы. Принято, что движение является

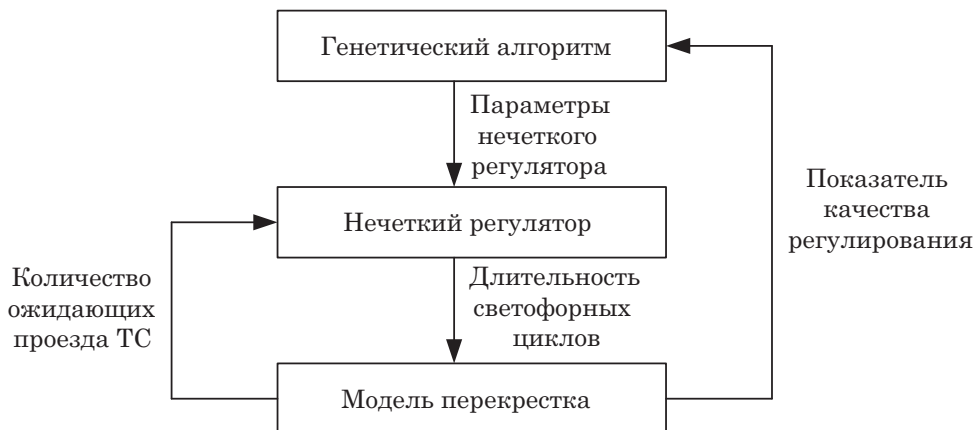


Рис. 1. Структурная схема программного комплекса

бесконфликтным, и автомобили пересекают перекресток за одинаковое время [4]. В модели рассчитывается следующий параметр эффективности управления перекрестком: перед каждой фазой фиксируется количество автомобилей, находящихся перед перекрестком. На основании этого рассчитывается средняя длина пробки в течение моделирования. Пример визуализации работы перекрестка в MatLAB и график изменения длин пробок по направлениям с фиксированной равной длительностью фаз регулирования представлены на рис. 2.

В результате рассмотрения методов регулирования на базе нечетких алгоритмов [5, 6] выбран комбинированный [7, 8], заключающийся в определении

длительности фазы перед ее началом. В качестве первой входной переменной в таком регуляторе используется количество автомобилей, которые начнут движение в предстоящую фазу. Вторая входная переменная – это количество транспортных средств, пропуск которых будет осуществлен в последующей фазе, и т. д.

Предлагаемый метод обеспечивает оперативное влияние на дорожную ситуацию. При этом учитываются текущие интенсивности движения на всех потоках. Нечеткий регулятор для данной модели имеет две входные переменные – это количество автомобилей по направлению север-юг и запад-восток. Каждая переменная включает три терма: «много», «средне» и «мало».

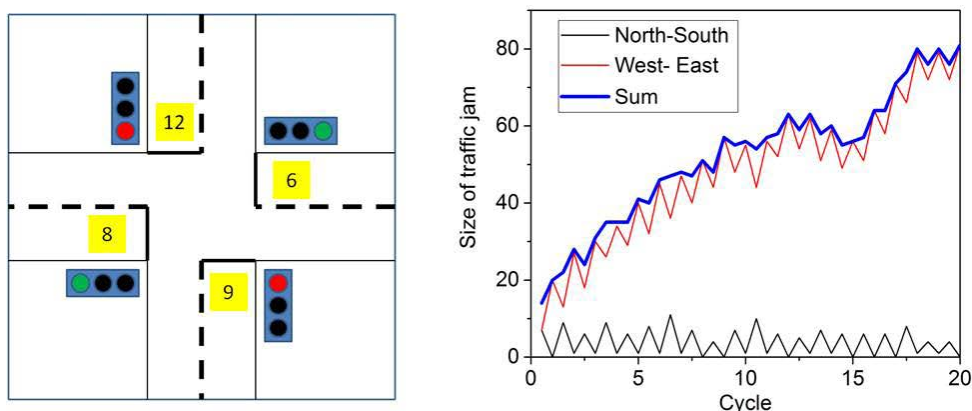


Рис. 2. Схема перекрестка и длина пробок при моделировании

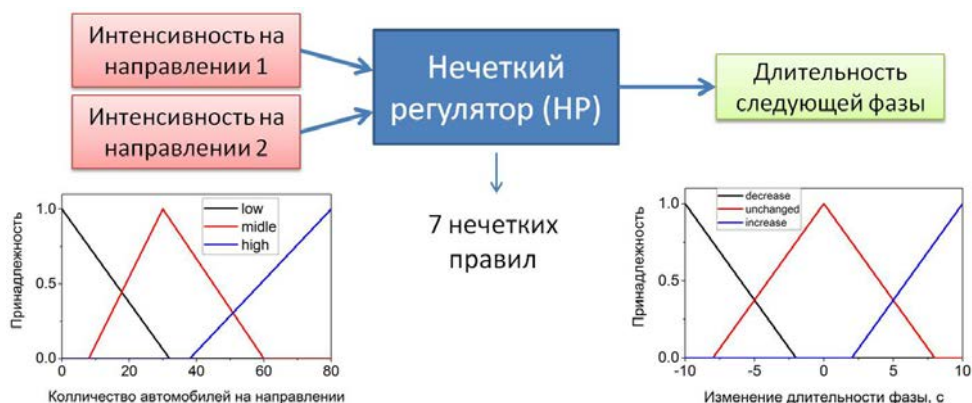


Рис. 3. Схема нечеткого регулятора и структура входных и выходных переменных

Пределы переменных и расположение термов подобраны экспериментально. Выходная переменная определяет продолжение или сокращение фазы регулирования. Она также имеет три термина: «увеличить», «не изменять» и «уменьшить». На первом этапе настройки составлена база из семи нечетких правил, построенных экспертным методом.

Схема нечеткого регулятора и структура входных и выходных переменных представлена на рис. 3.

В подборе оптимальной базы правил для разработанного нечеткого регулятора использовался генетический алгоритм [9,10]. Блок-схема алгоритма представлена на рис. 4.

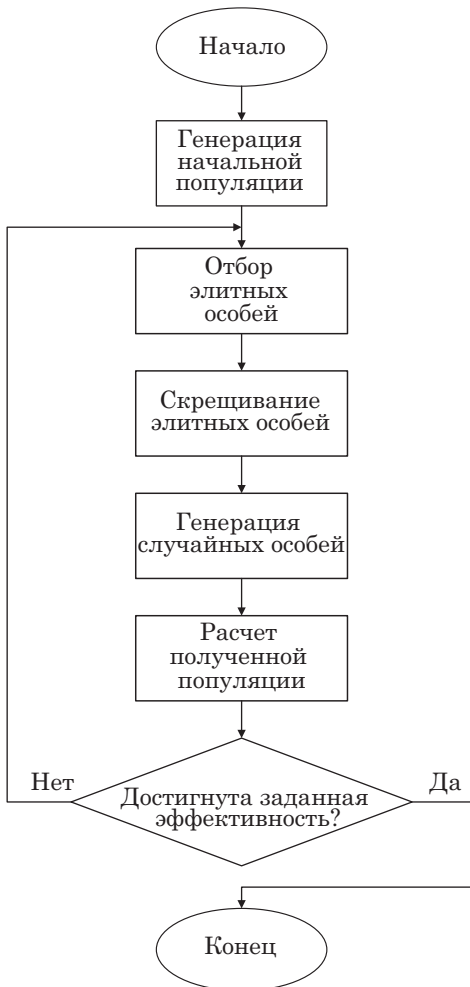


Рис.4. Блок-схема генетического алгоритма

На первом этапе формируется исходная популяция случайно сгенерированных наборов правил. Для каждой «особи» популяции выполняется расчет модели перекрестка с фиксированным временем моделирования. Затем по полученным значениям эффективности работы перекрестка отбираются лучшие «особи», отобранные пакеты правил скрещиваются между собой с помощью 2-1 рекомбинации; подбор партнеров и доминантность генов определялась случайным образом. После этого формируется новая популяция, состоящая из ранее отобранных «особей», результатов селекции и дополнительных случайно сгенерированных наборов. Для новой популяции вновь выполняется расчет параметра эффективности управления. Если целевое значение параметра эффективности не было достигнуто, то отбор лучших, скрещивание и формирование новой популяции выполняется вновь [11].

В проводимых экспериментах задавалось неравномерное распределение интенсивностей движения по направлениям. Так, вероятность появления автомобиля перед перекрестком для направления с севера на юг равнялось 0,3, юг-север – 0,35, запад-восток – 0,55, восток-запад – 0,6. Если по направлению восток-запад устанавливалась равная длительность фаз, то формировалась пробка. Продолжительность каждой фазы по умолчанию – 10 с. Количество циклов регулирования светофора при моделировании принято равным 20. Начальное количество автомобилей перед стоп-линией – случайное число от 0 до 5.

Для каждого набора правил («особей») выполнялось по 20 прогонов работы перекрестка. На рис. 5 представлен пример расчета до второй популяции. Каждая точка соответствует среднему значению эффективности индивида, а размах – среднему квадратичному отклонению СКО получаемых значений. Первоначально случайным (С) образом генерировалось 200 наборов правил, которые составили нулевую популяцию.

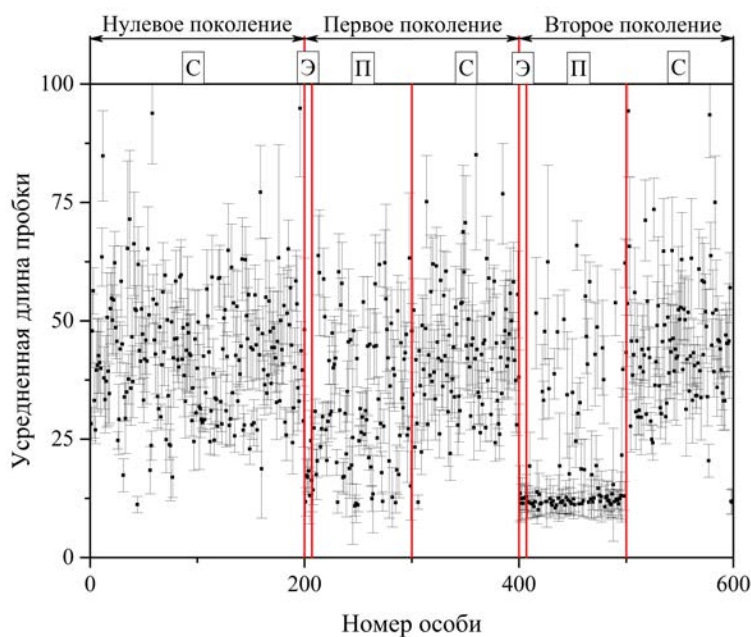
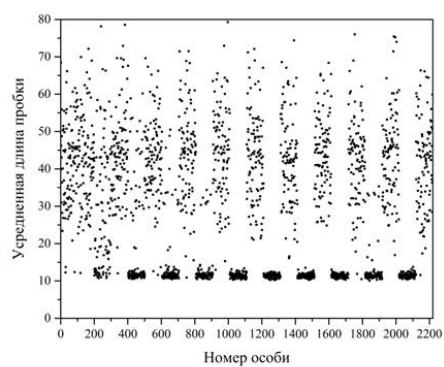
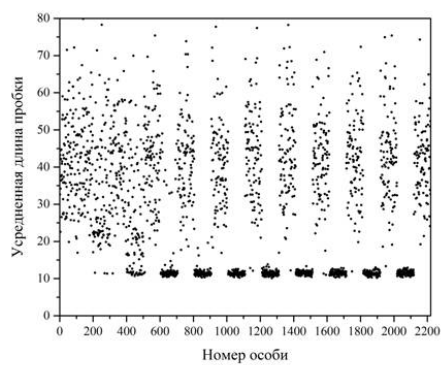


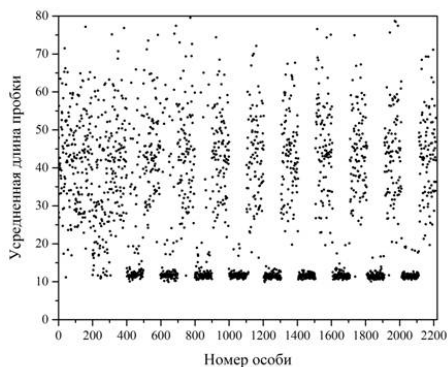
Рис. 5. Расчет нулевой популяции



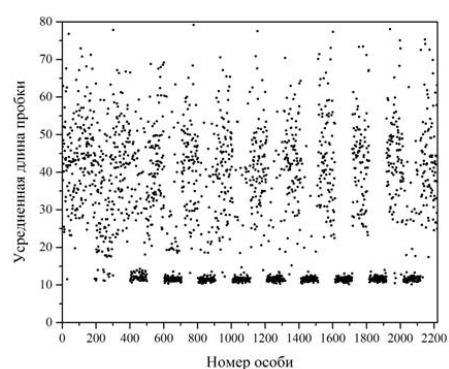
Эксперимент №1



Эксперимент №2



Эксперимент №3



Эксперимент №4

Рис. 6. Усредненные результаты расчетов

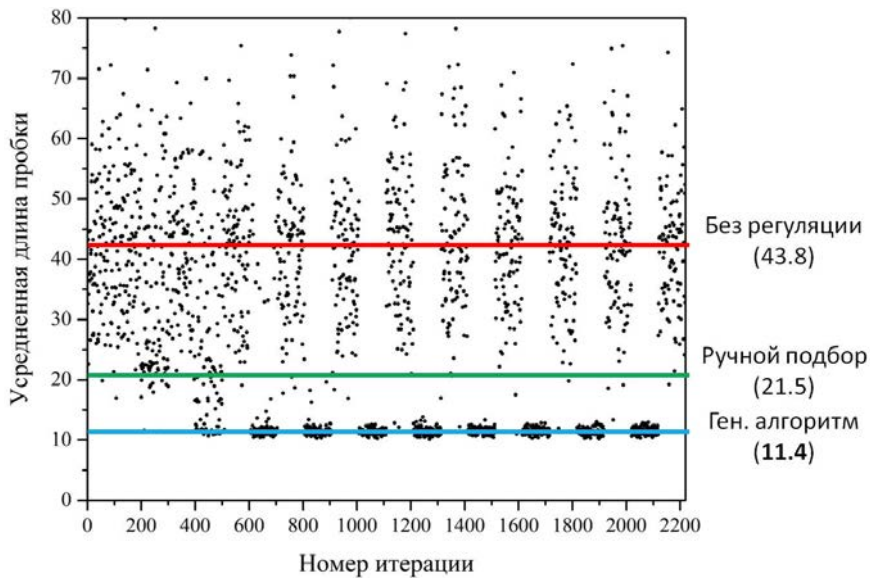


Рис. 7. Результаты расчетов

Из этой популяции отбиралось семь элитных (Э) с максимальной эффективностью управления. Из них с помощью описанной выше методики формировались 93 потомственные «особи» (П). Затем в популяцию № 1 добавлялось дополнительно сто случайно сгенерированных наборов правил. Затем операции отбора Э и дальнейшего расчета повторялись.

Усредненные результаты расчетов четырех экспериментов по десять популяций представлены на рис. 6. Для улучшения читаемости графиков СКО не отображено. Анализ результатов показал, что к четвертому поколению во всех экспериментах сформировалась популяция «особей», в которой большинство имело среднюю длину пробок, стремящуюся к минимальному возможному значению.

При анализе результатов (рис. 7) выявлено, что среднее значение эффективности управления наборами правил, сформированными случайным образом, стремится к значению эффективности управления с фиксированной длительности цикла (43,8). Соответственно, среднее значение эффективности лучшего набора правил составило 11,4,

что существенно меньше, чем набор правил, составленных экспертным методом (21,5).

Заключение

В работе продемонстрирована применимость генетических алгоритмов для оптимизации нечетких регуляторов при управлении многопараметрическими системами. Эксперименты проводились на модели перекрестка с фиксированными интенсивностями движения автотранспорта.

В исходной модели с равными по длительности фазами регулирования средняя длина пробки составила 43,8 автомобиля. Эффективность регулирования с помощью нечеткого регулятора, база правил которого сконструирована экспертным методом, равна 21,5.

С помощью генетических алгоритмов выполнена настройка базы правил регулятора. Было рассчитано десять популяций, каждая из которых состояла из семи родительских особей, 93 потомственных и ста случайно сгенерированных. В результате на этапе расчета четвертого поколения в популяции родительских и потомственных особей

средняя длина пробки стремилась к минимальному значению: 11,4 автомобиля, что почти вдвое меньше аналогичного показателя для базы правил, составленных экспертным методом. Таким

образом, показана эффективность применения нечетких регуляторов оптимизированных с помощью генетических алгоритмов для управления движением на перекрестке. ■

Литература

1. Тарасян В. С., Куликова И. В., Мезенцев И. С. Построение системы нечеткого управления в мехатронных системах при помощи генетических алгоритмов // *Современные проблемы науки и образования*. 2014. № 6. С. 223–223. ISSN 2070-7428.
2. Odeh S. M. et al. A hybrid fuzzy genetic algorithm for an adaptive traffic signal system // *Advances in Fuzzy Systems*. 2015. Т. 2015. С. 11. ISSN 1687-7111.
3. Yusupbekov N. R. et al. An adaptive fuzzy-logic traffic control system in conditions of saturated transport stream // *The Scientific World Journal*. 2016. Т. 2016. – С. 1–9. ISSN 1687-7111.
4. Мезенцев И. С., Охохонин Г. К., Тарасян В. С. Применение методов искусственного интеллекта в управлении дорожными светофорными объектами // *Вестник науки Костанайского социально-технического университета имени академика Зулхарнай Алдамжар*. 2013. № 3. С. 81. ISSN 2070-7428.
5. Zachariah B., Ayuba P., Damuut L. P. Optimization of traffic light control system of an intersection using fuzzy inference system // *Science World Journal*. 2017. – Т. 12. № 4. С. 27–33. ISSN 1597-6343.
6. Ge Y. A two-stage fuzzy logic control method of traffic signal based on traffic urgency degree // *Modelling and Simulation in Engineering* 2014. Т. 2014. С. 41. ISSN 2662-3455.
7. Грязнов А.О., Тарасян В.С. Методы построения нечетких регуляторов для управления движением на регулируемом перекрестке // *Инновационный транспорт*. 2018. № 4. С. 28–31. ISSN 2311-1644.
8. Acharya S., Dash K. K., Chaini R. Fuzzy Logic: An Advanced Approach to Traffic Control // *International Conference on Application of Robotics in Industry using Advanced Mechanisms*. Springer, Cham, 2019. С. 176–186. ISSN 2662-3455.
9. Jin J., Ma X., Kosonen I. An intelligent control system for traffic lights with simulation-based evaluation // *Control engineering practice*. 2017. Т. 58. С. 24–33. ISSN 0967-0661.
10. Бураков М. В., Коновалов А. С., Яковец О. Б. Эволюционный синтез нечетких регуляторов // *Информационно-управляющие системы*. 2015. № 6 (79). С. 28–33. ISSN 1684-8853-2015-6-28.
11. Malhotra R., Singh N., Singh Y. Genetic algorithms: Concepts, design for optimization of process controllers // *Computer and Information Science*. 2011. Т. 4. № 2. С. 39. ISSN 2194-5365.

Literature

1. Tarasyan V. S., Kulikova I. V., Mezentsev I. S. Construction of a fuzzy control system in mechatronic systems using genetic algorithms // *Modern problems of science and education*. [Postroenie sistemy nechetkogo upravleniya v mekhatronnyh sistemah pri pomoshhi geneticheskikh algoritmov // *Sovremennye problemy nauki i obrazovaniya*]. 2014. № 6. Pp. 223–223. ISSN 2070-7428.
2. Odeh S. M. et al. A hybrid fuzzy genetic algorithm for an adaptive traffic signal system // *Advances in Fuzzy Systems*. 2015. V. 2015. P. 11. ISSN 1687-7111.
3. Yusupbekov N. R. et al. An adaptive fuzzy-logic traffic control system in conditions of saturated transport stream // *The Scientific World Journal*. 2016. V. 2016. – P. 1–9. ISSN 1687-7111.
4. Mezentsev I. S., Okhokhonin G. K., Tarasyan V. S. Application of artificial intelligence methods in the management of road traffic lights // *Bulletin of science of Kostanay social and technical University named after academician Zulkharnai Aldamzhar*. [Primenenie metodov iskusstvennogo intellekta v upravlenii dorozhnymi svetofornymi ob'ektami // *Vestnik nauki Kostanajskogo sotsial'no-tehnicheskogo universiteta imeni akademika Zulkharnaj Aldamzhar*]. 2013. № 3. p. 81. ISSN 2070-7428.

5. Zachariah B., Ayuba P., Damuut L. P. Optimization of traffic light control system of an intersection using fuzzy inference system // Science World Journal. 2017. – V. 12. № 4. P. 27–33. ISSN 1597-6343.
6. Ge Y. A two-stage fuzzy logic control method of traffic signal based on traffic urgency degree // Modelling and Simulation in Engineering 2014. V. 2014. P. 41. ISSN 2662-3455.
7. Gryaznov A. O., Tarasyan V. S. Methods of constructing fuzzy controllers for traffic control at a regulated intersection // Innovative transport. [Metody postroeniya nechetkih regulyatorov dlya upravleniya dvizheniem na reguliruemom perekrestke // Innovatsionnyj transport]. 2018. № 4. Pp. 28-31. ISSN 2311-1644.
8. Acharya S., Dash K. K., Chaini R. Fuzzy Logic: An Advanced Approach to Traffic Control // International Conference on Application of Robotics in Industry using Advanced Mechanisms. Springer, Cham, 2019. P. 176–186. ISSN 2662-3455.
9. Jin J., Ma X., Kosonen I. An intelligent control system for traffic lights with simulation-based evaluation // Control engineering practice. 2017. V. 58. P. 24–33. ISSN 0967-0661.
10. Burakov M. V., Konovalov A. S., Yakovets O. B. Evolutionary synthesis of fuzzy regulators // Information and control systems. [Evolutsionnyj sintez nechetkih regulyatorov // Informatsionno-upravlyayushhie sistemy]. 2015. № 6 (79). – Pp. 28–33. ISSN 1684-8853-2015-6-28.
11. Malhotra R., Singh N., Singh Y. Genetic algorithms: Concepts, design for optimization of process controllers // Computer and Information Science. 2011. V. 4. № 2. P. 39. ISSN 2194-5365.

Статья сдана в редакцию 1 сентября 2020 года

ДИСКУССИОННЫЙ КЛУБ

УДК 531.4

А. А. Сабирзянов

Анализ концепции инерционного движителя

DISCUSSION CLUB

UDC 531.4

A. A. Sabirzyanov

Analysis of the inertial propulsion concept

Аннотация

В работе предложен инерциод простейшей конструкции, что позволяет наглядно проанализировать принцип его действия. Прибор представляет собой радиоуправляемый автомобиль, помещенный на дно длинной легкой картонной коробки. Коробка находится на столе. С помощью пульта радиоуправления автомобиль разгоняется и сталкивается с одной из стенок. При ударе коробка сдвигается по столу. Далее автомобиль пултом отводится к противоположной стенке без столкновения. Затем процесс повторяется, в результате чего прибор рывками движется по столу в одном направлении (в примере – вправо). Преимущество такого способа управления – в том, что оно бесконтактное, недостаток – в том, что оно ручное.

В рамках классической механики выполнен расчет средней скорости движения коробки по столу. Она зависит от соотношения масс автомобиля и коробки, доли веса, приходящейся на ведущие колеса, коэффициента трения между колесами и дном коробки, коэффициента трения между коробкой и столом, разности длин коробки и автомобиля.

Показано, что средняя скорость при уменьшении силы трения со стороны опоры должна сначала увеличиваться, при дальнейшем уменьшении трения – уменьшаться. Найдено условие, при котором зависимость средней скорости от силы трения имеет максимум.

Ключевые слова: инерциод, инерционный движитель.

DOI: 10.20291/2079-0392-2020-3-12-19

Abstract

In this paper, an inertial device of the simplest design is proposed, which allows us to visually analyze the principle of its operation. The device is a radio-controlled car placed on the bottom of a long light cardboard box. The box is on the table. Using the remote control, the car accelerates and collides with one of the walls. On impact, the box moves across the table. Next, the car is taken to the opposite wall by the remote control without a collision. Then the process is repeated, as a result of which the device jerks along the table in one direction (in the example – to the right). The advantage of this method of control is that it is contactless, the disadvantage is that it is manual.

In the framework of classical mechanics, the average speed of the box movement on the table is calculated. It depends on the ratio of the mass of the car and the box, the proportion of weight that falls on the driving wheels, the coefficient of friction between the wheels and the bottom of the box, the coefficient of friction between the box and the table, the difference in the length of the box and the car.

It is shown that the average speed with a decrease in the friction force on the side of the support should first increase, and with a further decrease in friction – decrease. A condition is found under which the dependence of the average velocity on the friction force has a maximum.

Keywords: inertiod, inertial drive.

DOI: 10.20291/2079-0392-2020-3-12-19

Александр Аделевич Сабирзянов, канд. физ.-мат. наук, доцент; кафедра «Естественнонаучные дисциплины» Уральского государственного университета путей сообщения; Екатеринбург, Россия. E-mail: sabirzyanov@yandex.ru. ORCID 0000-0002-1912-990X.

Alexander Adelevich Sabirzyanov, Candidate of physical and mathematical Sciences, Associate Professor, Chair of Natural Sciences, Ural state University of railway transport; Yekaterinburg, Russia. E-mail: sabirzyanov@yandex.ru. ORCID 0000-0002-1912-990X.

Инерционные движители (инерциоды) – устройства, которые со времени своего появления являются предметом дискуссий. Одно из первых таких устройств (1936 г.) представляло собой тележку, на которой вращались на рычагах в горизонтальной плоскости в противоположные стороны два грузика (приводимые во вращение моторчиком). К колёсам тележки никакой передаточный механизм не был присоединён, но прибор поступательно двигался в одном направлении [1]. Аналогичный эффект (с движением в противоположную сторону) наблюдался при установке этого же прибора на лодочку. В обоих случаях причина движения вначале кажется непонятной, так как привычных движителей прибор не имеет. Теоретическое описание подобных устройств продолжает вызывать споры. Встречается точка зрения, согласно которой движение инерциода невозможно объяснить общепризнанными законами механики, поэтому предлагается изменить эти законы [2]. В.Н. Толчин объяснял движение прибора действием сил инерции, но это объяснение не укладывается в рамки механики Ньютона. В силу сложившейся традиции не вполне удачное название «инерциод» продолжает использоваться многими авторами, в том числе и теми, кто не покусается на классическую физику.

Во многих работах движение приборов, подобных инерциодам, описывается в рамках классической механики. В [3–6] рассматривается общий случай движения тела в средах с сопротивлением под влиянием перемещения внутренних масс. Тело состоит из корпуса и подвижно соединённых с ним тел, которые взаимодействуют с корпусом и не взаимодействуют с окружающей средой. Внутренние тела взаимодействуют с корпусом посредством сил, создаваемых приводами. Приложение силы к внутреннему телу вызывает силу реакции, которая действует на корпус, изменяя его скорость, что влечёт изменение силы сопротивления среды движению корпуса. Управляя движением

внутренних тел, можно управлять внешней силой, действующей на корпус, и, как следствие, движением системы как целого. В работах [3–6] рассмотрены различные число (1 и более) и конфигурации (материальная точка, ротор, маятник) внутренних тел. Рассмотрены различные способы и направления движения (поступательное, вращательное) и режимы движения внутренних тел. Рассмотрены различные законы сопротивления окружающей среды (вязкой среды, шероховатой плоскости). Определены оптимальные параметры, при которых достигается максимальная средняя скорость движения корпуса тела относительно среды.

В [7–9] рассмотрен вопрос о причинах движения инерциода Толчина. Показано, что условием его движения являются нелинейность трения и асимметричность колебаний грузов.

В настоящей статье проанализировано движение инерциода в рамках классической механики. Предложен и испытан прибор, несложный в изготовлении, имеющий простой принцип действия.

Описание прибора: игрушечный радиоуправляемый автомобиль помещён на дно легкой картонной коробки (рис. 1). Автомобиль имеет электродвигатель с питанием от батареек, регулировка скорости в нашем случае отсутствует, можно только включать/выключать двигатель и задавать направление вперед/назад с помощью пульта радиоуправления. Преимущество такого способа управления заключается в том, что оно бесконтактное, недостаток – то, что оно ручное. Длина коробки превышает длину автомобиля примерно вдвое. К автомобилю сверху прикреплен дополнительный груз. Исходное положение: автомобиль покоится, находясь вплотную к левой стенке. Коробка стоит на столе. Включаем движение вправо, в результате чего автомобиль разгоняется и сталкивается с правой стенкой. В результате удара коробка сдвигается по столу вправо. Затем заставляем автомобиль двигаться задним ходом влево и останавливаем его

прежде, чем произойдет столкновение с левой стенкой. Далее повторяем те же действия, результат: прибор рывками движется по столу в одном и том же направлении.

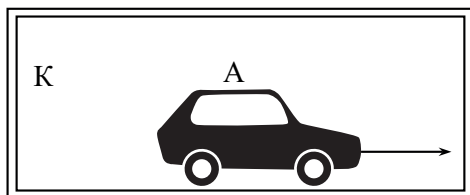


Рис. 1. Простейший инерциод

Таким образом, цикл движения состоит из четырех основных фаз: 1 – ускоренное движение автомобиля вправо из состояния покоя у левой стенки, коробка покоится; 2 – удар автомобиля о правую стенку, коробка скользит по столу; 3 – ускоренное движение автомобиля влево примерно до середины коробки, коробка покоится; 4 – замедленное движение автомобиля влево с остановкой у левой стенки, коробка покоится.

На рис. 2 схематично изображены автомобиль (А), коробка (К) и силы, действующие на них в первой и второй фазах, причем для простоты показаны только горизонтально направленные силы. Рассмотрим фазу 1. Так как расстояние для разгона внутри коробки мало, а сам автомобиль утяжелен грузом, будем считать, что автомобиль не успевает набрать максимальную скорость и движется с постоянным ускорением. Автомобиль ускоряется силой трения покоя F_{12} , действующей на ведущие колеса автомобиля со стороны дна коробки. На коробку, согласно третьему закону Ньютона, действует

равная ей по модулю и противоположная по направлению сила F_{21} , а также сила трения покоя $F_{тр1}$ со стороны стола. В фазе 1 эти силы уравновешены и коробка остаётся на месте.

Рассмотрим фазу 2. При ударе, как показал опыт, автомобиль не отскакивает от стенки, автомобиль и коробка движутся как одно целое. Со стороны стола на коробку при скольжении действует сила трения $F_{тр2}$.

Фазы 3 и 4 на рис. 2 не показаны (направление сил в фазе 3 противоположно фазе 1, в фазе 4 совпадает с фазой 1).

Для расчета введем обозначения: m – масса автомобиля с дополнительным грузом, M – масса коробки, a_1, a_2 – ускорение автомобиля в первой и второй фазах, k – доля веса автомобиля, приходящаяся на ведущие колеса, t_1, t_2, t_3, t_4 – длительности соответствующих фаз движения, l – расстояние, проходимое автомобилем в фазе 1, равное разности длин коробки и автомобиля, μ_1 – коэффициент трения скольжения между колесами автомобиля и дном коробки, μ_2 – коэффициент трения скольжения между дном коробки и столом, L – расстояние, на которое коробка смещается относительно стола за цикл.

При расчете используются следующие приближения. Движение автомобиля во всех фазах происходит с постоянным ускорением, причем в фазах 1, 3, 4 оно одинаково. В фазе 2 удар является абсолютно неупругим, время удара пренебрежимо мало. В фазах 3, 4 путь автомобиля одинаковый и равен половине пути в фазе 1.

Фаза 1. Автомобиль движется с ускорением a_1 , проходя путь l за время t_1 . Скорость возрастает от нуля до v . Очевидно, что



Рис. 2. Силы, действующие в первой и второй фазах

$$v = \sqrt{2a_1 l}, \quad t_1 = \sqrt{\frac{2l}{a_1}}. \quad (1)$$

Из уравнений динамики:

$$F_{12} = ma_1, \quad F_{21} = F_{12}. \quad (2)$$

Так как коробка находится в покое, то, с учетом (2):

$$F_{\text{тр}1} = F_{21} = ma_1. \quad (3)$$

Чтобы ведущие колеса не проскальзывали, сила трения покоя F_{12} должна быть меньше силы трения скольжения: $F_{12} \leq \mu_1 kmg$ или с учетом (2):

$$a_1 \leq \mu_1 kg. \quad (4)$$

Фаза 2.

В результате неупругого удара автомобиля о стенку коробки, согласно закону сохранения импульса, скорость автомобиля и коробки становится равной

$$u = \frac{mv}{m + M}, \quad (5)$$

где v соответствует (1).

Сразу после удара коробка и автомобиль как одно целое скользят по столу до остановки с ускорением a_2 , проходя путь L за время t_2 . Сила трения скольжения по закону Амонтона – Кулона равна $F_{\text{тр}2} = \mu_2(m + M)g$, согласно второму закону Ньютона, она равна

$$F_{\text{тр}2} = (m + M)a_2. \quad (6)$$

Отсюда:

$$a_2 = \mu_2 g. \quad (7)$$

Введем безразмерные величины

$$\alpha = \frac{m}{m + M}, \quad \beta = \frac{a_1}{a_2}. \quad \text{Эти величины ограничены сверху для } \alpha \text{ очевидным образом, а для } \beta \text{ с учетом (4) и (7):}$$

$$\alpha \leq 1, \quad \beta \leq \frac{\mu_1 kg}{\mu_2 g} = \frac{k\mu_1}{\mu_2}. \quad (8)$$

Легко получить, что

$$L = \frac{u^2}{2a_2} = \alpha^2 \beta l, \quad t_2 = \frac{u}{a_2} = \alpha \beta t_1. \quad (9)$$

Найдем условие того, чтобы в фазе 1 коробка не скользила по столу. Так как $F_{\text{тр}1}$ – сила трения покоя, а $F_{\text{тр}2}$ – сила трения скольжения, должно выполняться $F_{\text{тр}1} \leq F_{\text{тр}2}$ или с учетом (3) и (6) $ma_1 \leq (m + M)a_2$, откуда

$$\alpha \beta \leq 1. \quad (10)$$

Фаза 3. Автомобиль движется равноускоренно с ускорением a_1 , проходя путь $0,5l$ за время t_3 .

Фаза 4. Автомобиль движется равнозамедленно с ускорением a_1 , проходя путь $0,5l$ за время t_4 .

Простой расчет дает, с учетом (1):

$$t_3 = t_4 = \sqrt{\frac{l}{a_1}} = \frac{t_1}{\sqrt{2}}. \quad (11)$$

С учетом (9) и (11) за весь цикл коробка проходит путь

$$L = \alpha^2 \beta l \quad (12)$$

за время

$$t = t_1 + t_2 + t_3 + t_4 = t_1 (1 + \alpha \beta + \sqrt{2}).$$

Средняя скорость движения коробки по столу:

$$v_{\text{ср}} = \frac{L}{t} = \frac{\alpha^2 \beta l}{t_1 (1 + \alpha \beta + \sqrt{2})}. \quad (13)$$

Отметим, что формула (13) справедлива лишь при выполнении условий (4) и (10).

В проведенных опытах численные параметры были примерно следующими: длина автомобиля 20 см, длина коробки 40 см, масса автомобиля 200 г, масса дополнительного груза 500 г, масса коробки 200 г. Вес автомобиля примерно поровну распределен между передними (ведомыми) и задними (ведущими) колесами, то есть $k = 0,5$. Будем приблизительно считать, что $\mu_1 = \mu_2$. Отсюда получаем параметры

для расчета: $l = 0,2$ м, $\alpha = 0,8$, $\beta = 0,5$, $t_1 = 0,4$ с. Расчет по (12) и (13) дает: путь за цикл $L = 6,4$ см, средняя скорость $v_{\text{ср}} = 5,7$ см/с. Эти значения по порядку величины близки к полученным в опыте.

Согласно (13), для увеличения $v_{\text{ср}}$ нужно увеличить α , β , l и уменьшить t_1 . В соответствии с (1), (4), (7), (8), для этого требуется увеличить отношение массы автомобиля вместе с грузом к массе коробки m/M , увеличить долю веса, приходящегося на ведущие колеса k , увеличить коэффициент трения μ_1 , уменьшить коэффициент трения μ_2 , увеличить разность длин коробки и автомобиля l . На практике изменить эти параметры, если и возможно, то незначительно. Отметим, что повышение параметров α и β ограничено условием (10). При нарушении этого условия сила трения будет не способна удерживать в покое коробку на столе в фазах 1, 3, 4. Это приведет к тому, что коробка во всех фазах цикла будет двигаться по столу в сторону, противоположную движению автомобиля, т.е. совершать возвратно-поступательное движение. Очевидно, что средняя скорость движения коробки снизится. Чтобы определить, будет ли она при этом отличаться от нуля, необходимы дальнейшие расчеты.

По имеющимся данным, с уменьшением внешнего трения средняя скорость инерцоида должна увеличиваться [8]. С другой стороны, при полном отсутствии трения его средняя скорость должна обратиться в нуль. Этого требует закон сохранения импульса, согласно которому внутренние силы не могут

сообщить ускорение центру масс (ЦМ) системы тел. Чтобы ЦМ системы тел пришел в движение, необходимы внешние силы, иначе говоря, взаимодействие с окружающей средой. Следовательно, средняя скорость движения инерцоида должна иметь максимум при некоторой величине силы внешнего трения.

В нашей модели внешнее трение описывается параметром β . Согласно (8), уменьшение коэффициента трения μ_2 приводит к увеличению β и, как следствие, увеличению средней скорости (12). С другой стороны, рост β ограничен условием (10), и при нарушении этого условия, т.е. при малом трении, средняя скорость должна снизиться. Следовательно, средняя скорость движения коробки будет максимальна при

$$\text{условии } \beta = \frac{1}{\alpha} = \frac{m + M}{m}.$$

Выводы

1. Создан простой инерцоид, проанализирован его принцип действия, получена формула для средней скорости движения.

2. Расчет дает, что средняя скорость при уменьшении силы трения со стороны опоры должна увеличиться, при дальнейшем уменьшении трения – уменьшиться.

3. Тем самым показано, что, несмотря на отсутствие привычных движителей, поступательное движение инерцоида обеспечивается взаимодействием (трением) с окружающей средой, при отсутствии внешней среды он поступательно двигаться не может. ■

Литература

1. Толчин В. Н. Инерцоид. Силы инерции как источник поступательного движения. – Пермь : Пермское книжное издательство, 1977. 99 с.
2. Смольяков Э. Р. Нелинейные законы движения и обоснование движения инерцоидов // Доклады Академии наук. 2003. № 6. Т. 393. С. 770–775. ISSN 0869-5652.
3. Черноусько Ф. Л. Движение тела по плоскости под влиянием подвижных внутренних масс // Доклады Академии наук. 2016. № 4. Т. 470. С. 406–410. ISSN 0869-5652.
4. Болотник Н. Н., Фигурина Т. Ю., Черноусько Ф. Л. Оптимальное управление прямолинейным движением системы двух тел в сопротивляющейся среде // Прикладная математика и механика, 2012. № 1. Т. 76. С. 3–22. ISSN 0032-8235.

5. Черноусько Ф. Л., Болотник Н. Н. Мобильные роботы, управляемые движением внутренних тел // Труды Института математики и механики УРО РАН. № 5. Т. 16. 2010. С. 213–222. ISSN 0134-4889.
6. Черноусько Ф. Л. Оптимальные периодические движения двухмассовой системы в сопротивляющейся среде // Прикладная математика и механика, 2008. Т. 72. С. 202–215. ISSN 0032-8235.
7. Тарунин Е. Л. Снова об инерцоиде // Проблемы механики и управления: нелинейные динамические системы, 2008. № 40. С. 179–192. ISBN 978-5-7944-1201-7.
8. Тарунин Е. Л. Влияние трения на движение инерцоида // Проблемы механики и управления: нелинейные динамические системы., 1996. С. 195–223. ISBN 5-230-11771-0.
9. Закатов М. М. К теории инерцоида // Научные и образовательные проблемы гражданской защиты. 2011. № 3. С. 94–101. ISSN 2079-7001.

Literature

1. Tolchin V. N. Inertoid. Inertia forces as a source of translational motion. – Perm : Perm book publishing house [Sily inertsi kak istochnik postupatel'nogo dvizheniya. – Perm' : Permskoe knizhnoe izdatel'stvo]. 1977. 99 p.
2. Smolyakov E. R. Nonlinear laws of motion and justification of inertial motion // Reports of the Academy of Sciences. [Nelinejnye zakony dvizheniya i obosnovanie dvizheniya inertsoidov // Doklady Akademii nauk.]. 2003. № 6. V. 393. P. 770–775. ISSN 0869-5652.
3. Chernousko F. L. Movement of a body along a plane under the influence of mobile internal masses // Reports of the Academy of Sciences. [Dvizhenie tela po ploskosti pod vliyaniem podviznykh vnutrennih mass // Doklady Akademii nauk]. 2016. № 4. V. 470. Pp. 406–410. ISSN 0869-5652.
4. Bolotnik N. N., Figurina T. Yu., Chernousko F. L. Optimal control of rectilinear motion of a system of two bodies in a resisting medium // Applied mathematics and mechanics, [Optimal'noe upravlenie pryamolinejnym dvizheniem sistemy dvuh tel v soprotivlyayushheysya srede // Prikladnaya matematika i mekhanika]. 2012. № 1. Vol. 76. Pp. 3–22. ISSN 0032-8235.
5. Chernousko F. L., Bolotnik N. N. Mobile robots controlled by the movement of internal bodies // Proceedings of the Institute of mathematics and mechanics of the URAL branch of the Russian Academy of Sciences, [Mobil'nye roboty, upravlyaemye dvizheniem vnutrennih tel // Trudy Instituta matematiki i mekhaniki URO RAN]. № 5, Vol. 16, 2010. – Pp. 213–222. ISSN 0134-4889.
6. Chernousko F. L. Optimal periodic motions of a two-mass system in a resisting medium // Applied mathematics and mechanics [Optimal'nye periodicheskie dvizheniya dvuhmassovoj sistemy v soprotivlyayushheysya srede // Prikladnaya matematika i mekhanika], 2008, Vol. 72. Pp. 202–215. ISSN 0032-8235.
7. Tarunin E. L. Again about the inertoids // Problems of mechanics and control: nonlinear dynamic systems [Snova ob inertsoidoide // Problemy mekhaniki i upravleniya: nelinejnye dinamicheskie sistemy]. 2008. № 40. Pp. 179–192. ISBN 978-5-7944-1201-7.
8. Tarunin E. L. influence of friction on the inertial motion // Problems of mechanics and control: nonlinear dynamic systems. [Vliyanie treniya na dvizhenie inertsoida // Problemy mekhaniki i upravleniya: nelinejnye dinamicheskie sistemy]. 1996. Pp. 195–223. ISBN 5-230-11771-0.
9. Zakatov M. M. On the theory of inertoid // Scientific and educational problems of civil protection. [K teorii inertsoida // Nauchnye i obrazovatel'nye problemy grazhdanskoj zashchity]. 2011. № 3. P. 94–101. ISSN 2079-7001.

ОТЗЫВ

на работу А. А. Сабирзянова

«Анализ концепции инерционного движителя»

Как мне кажется, в данной работе некорректно построен пример с машинкой. Причина, на мой взгляд, заключается в том, что скорость машинки при движении вперёд и назад неодинакова просто в силу конструктивных особенностей передаточных механизмов. Кроме того, при ручном управлении в стандартных машинках (надо смотреть более конкретную реализацию автора) её ускорение зависит от того, как быстро перемещается джойстик. Поэтому обеспечить в эксперименте абсолютное равенство силовых факторов при движении вперёд и назад вряд ли возможно. Движение всей системы в одном направлении, скорее всего, будет объясняться различными режимами движения машинки.

Ну и математическая модель системы в данном случае достаточно простая и не учитывает нелинейность сил трения. Здесь, как мне кажется, более уместной была бы модель, учитывающая трибологию процесса движения.

Общее заключение (моё мнение, на абсолютную истину не претендую): требуется доработка модели. Либо дополнительное обсуждение её.

В. С. Тарасян, канд. техн. наук

ОТВЕТ

В отзыве предполагается, что причина движения системы заключается в различной скорости машинки при движении вперед и назад. Однако в статье показано, что причина движения заключается не в этом, а в способе управления. Оператор управляет машинкой так, чтобы при движении в одну сторону она сталкивалась со стенкой, а в другую – нет. Каким концом машинка ударяется об стенку (передним или задним) – не играет роли, устройство будет двигаться в том направлении, в котором происходят удары. Если машинка не будет ударяться ни о переднюю, ни о заднюю стенки, движения системы не будет ни в каком направлении.

Кроме того, нет причин, по которым скорость движения машинки вперед и назад должна различаться. В простых машинках для изменения направления движения изменяется полярность питания, подаваемого на двигатель, вследствие чего направление вращения двигателя изменяется на обратное. Передаточным механизмом между осями двигателя и колес служит понижающий редуктор, работа которого не зависит от направления вращения. На опыте также легко убедиться, что скорость переднего и заднего хода машинки примерно одинакова. Но, подчеркнем еще раз, для движения системы данный факт совершенно не важен. Даже если бы скорость была идеально одинакова в обе стороны, это не помешало бы системе двигаться.

О регулировке ускорения: как указано в статье, в данной модели машинки регулировка отсутствует, можно только включать передний и задний ход кнопками «Вперед» и «Назад». Джойстика, упомянутого в отзыве, здесь нет.

По поводу теоретической модели, используемой в статье: безусловно, она проста и, по сути, не выходит за рамки школьной физики. Однако движение системы эта модель объясняет. Более проработанная модель была бы уместна, если бы требовалось, например, улучшить сходимость теории с экспериментом.

Но для этого и эксперимент необходимо было бы провести с более высокой точностью. В физике принято при наличии различных моделей для одного и того же явления использовать более простую теорию в том случае, если она справляется со своей задачей.

А. А. Сабирзянов, канд. физ.-мат. наук

Редакция журнала предлагает открытую научную дискуссию по поднятой в статье проблеме.

И. П. Попов

Годографы двойного вращения в механизмах

I. P. Popov

Dual rotation hodographs in mechanisms

Аннотация

В настоящей работе установлено, что, подобно тому, как результатом сложения двух равномерных прямолинейных движений является равномерное прямолинейное движение, результатом сложения двух равномерных однонаправленных круговых движений является также равномерное круговое движение. По существу, представлено обобщение принципа относительности Галилея на неускоренное вращательное движение. В этой связи доказано семь теорем, имеющих пять следствий. Годографом при сложении двух равномерных противоположно направленных круговых движений является эллипс. В частном случае эллипс может вырождаться в отрезок прямой линии. Определены характеристики эллиптического годографа, в т.ч. большая и малая полуоси, корни характеристического уравнения, эксцентриситет, фокусы, угол наклона осей. Решена обратная задача: определение скоростей вращения по виду годографа, в том числе эллиптического и кругового. При сложении двух несинхронных (кратных) вращений возможны годографы в виде улитки, имеющей сходство с улиткой Паскаля. Определено условие возникновения петли улиточного годографа. Практический аспект темы определяется тем, что во многих механизмах (мультиинертный осциллятор, планетарные передачи, приводы фрез в машинах для очистки труб больших диаметров и т.п.) реализуется суммирование вращательных движений, и форма годографа является полезной информацией при проектировании подобных устройств.

Ключевые слова: координаты, вращение, вектор, годограф, эллипс, окружность, улитка.

DOI: 10.20291/2079-0392-2020-3-20-26

Abstract

In this paper it is found that just as the result of composition of two uniform rectilinear motions is uniform rectilinear motion, the result of composition of two uniform one-way rotational motions is also uniform rotational motion. Basically generalization of Galileo relativity principle is presented on non-accelerated rotational motion. In this connection seven theorems having five corollaries have been proven. A hodograph in case of composition of two uniform oppositely directed rotational motions proves to be an ellipse. In particular case the ellipse can degenerate into a straight line segment. Characteristics of elliptical hodograph are determined, including large and small semi-axes, roots of characteristic equation, eccentricity, foci, the angle of the axes. The reverse problem is solved – determination of rotation speed by type of hodograph, including elliptical and circular. In composition of two asynchronous (multiple) rotations hodographs can be by type of a limaçon, resembling Pascal's limaçon. The condition of occurrence of a limaçon hodograph loop is found out. The practical aspect of the theme is determined by the fact that in milling cutter drives in machines for cleaning of large diameter pipes and many mechanisms (multi inert oscillator, planetary gear) summation of rotational motions is realized, and a hodograph shape is useful information while development of similar devices.

Key words: coordinates, rotation, vector, hodograph, ellipse, circle, limaçon.

DOI: 10.20291/2079-0392-2020-3-20-26

Статья рекомендована к публикации В. С. Тарасяном, канд. техн. наук, доцентом Уральского государственного университета путей сообщения. E-mail: vladimir@usurt.ru.

Игорь Павлович Попов, старший преподаватель; кафедра «Технология машиностроения, металлорежущие станки и инструменты» Курганского государственного университета; г. Курган, Россия. E-mail: ip.popov@yandex.ru. ORCID 0000-0001-8683-0387.

The article is recommended for publishing by V. S. Tarasyan, Cand. of tech. sci., associate Professor, Ural state university of railway transport. E-mail: vladimir@usurt.ru.

Igor Pavlovich Popov, Senior Teacher; «Technology of mechanical engineering, metal cutting machines and tools» Chair, Kurgan state university; Kurgan City, Russia. E-mail: ip.popov@yandex.ru. ORCID 0000-0001-8683-0387.

Если система отсчета $x'O'y'$ движется со скоростью \mathbf{v}_1 в неподвижной системе отсчета xOy (рис. 1) и точка a движется прямолинейно и равномерно со скоростью \mathbf{v}_2 в системе отсчета $x'O'y'$, то, в соответствии с принципом относительности Галилея, точка a движется прямолинейно и равномерно со скоростью \mathbf{v}_3 в системе отсчета xOy , а годографом вектора \mathbf{A} , соединяющего точки O и a , является прямая линия.

Цель работы – установить, как в подобной ситуации обстоит дело при сложении вращательных синхронных движений [1, 2].

Практический аспект темы определяется тем, что во многих механизмах (мультиинертный осциллятор [3, 4], планетарные передачи [5], приводы фрез в машинах для очистки труб больших диаметров [6] и т.п.) реализуется суммирование вращательных движений, и форма годографа является полезной информацией при проектировании подобных устройств [7–10].

Пусть точка O' вращается вокруг точки O в системе отсчета xOy с постоянной угловой скоростью ω . Расстояние ρ_1 между точками не меняется. Координатные оси обеих систем отсчета всегда попарно параллельны. Точка a вращается вокруг точки O' в системе отсчета $x'O'y'$ с постоянной угловой скоростью: $-\omega$ или $+\omega$. Расстояние ρ_2 между точками не меняется.

Разнонаправленное вращение

Теорема 1. При разнонаправленном вращении точек a и O' годографом вектора \mathbf{A} является эллипс.

Доказательство.

Координаты точки O' в системе xOy :

$$\begin{aligned} x_1 &= \rho_1 \cos(\omega t + \varphi_1), \\ y_1 &= \rho_1 \sin(\omega t + \varphi_1). \end{aligned} \quad (1)$$

Координаты точки a в системе $x'O'y'$:

$$\begin{aligned} x_2 &= \rho_2 \cos(-\omega t + \varphi_2), \\ y_2 &= \rho_2 \sin(-\omega t + \varphi_2). \end{aligned}$$

Здесь φ_1, φ_2 – начальные углы.

Координаты вектора \mathbf{A} в системе xOy :

$$\begin{aligned} x &= x_1 + x_2 = \\ &= \rho_1 \cos(\omega t + \varphi_1) + \rho_2 \cos(-\omega t + \varphi_2), \end{aligned}$$

$$\begin{aligned} y &= y_1 + y_2 = \\ &= \rho_1 \sin(\omega t + \varphi_1) + \rho_2 \sin(-\omega t + \varphi_2). \end{aligned}$$

$$\begin{aligned} x &= \cos \omega t (\rho_1 \cos \varphi_1 + \rho_2 \cos \varphi_2) - \\ &- \sin \omega t (\rho_1 \sin \varphi_1 - \rho_2 \sin \varphi_2), \end{aligned}$$

$$\begin{aligned} y &= \sin \omega t (\rho_1 \cos \varphi_1 - \rho_2 \cos \varphi_2) + \\ &+ \cos \omega t (\rho_1 \sin \varphi_1 + \rho_2 \sin \varphi_2). \end{aligned}$$

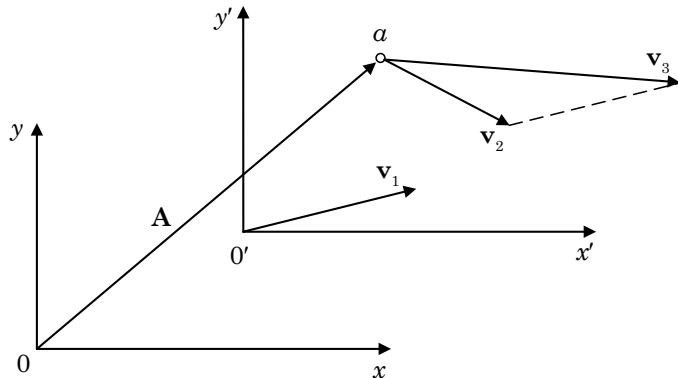


Рис. 1. Сложение движений

Отсюда следует

$$\begin{aligned}\sin \omega t &= \frac{y(\rho_1 \cos \varphi_1 + \rho_2 \cos \varphi_2)}{\rho_1^2 - \rho_2^2} - \\ &- \frac{x(\rho_1 \sin \varphi_1 + \rho_2 \sin \varphi_2)}{\rho_1^2 - \rho_2^2}, \\ \cos \omega t &= \frac{x(\rho_1 \cos \varphi_1 - \rho_2 \cos \varphi_2)}{\rho_1^2 - \rho_2^2} + \\ &+ \frac{y(\rho_1 \sin \varphi_1 - \rho_2 \sin \varphi_2)}{\rho_1^2 - \rho_2^2}. \\ \sin^2 \omega t + \cos^2 \omega t &= 1, \\ \frac{y^2(\rho_1 \cos \varphi_1 + \rho_2 \cos \varphi_2)^2 + x^2(\rho_1 \sin \varphi_1 + \rho_2 \sin \varphi_2)^2}{(\rho_1^2 - \rho_2^2)^2} - \\ &- \frac{2xy(\rho_1 \cos \varphi_1 + \rho_2 \cos \varphi_2)(\rho_1 \sin \varphi_1 + \rho_2 \sin \varphi_2)}{(\rho_1^2 - \rho_2^2)^2} + \\ &+ \frac{x^2(\rho_1 \cos \varphi_1 - \rho_2 \cos \varphi_2)^2 + y^2(\rho_1 \sin \varphi_1 - \rho_2 \sin \varphi_2)^2}{(\rho_1^2 - \rho_2^2)^2} + \\ &+ \frac{2xy(\rho_1 \cos \varphi_1 - \rho_2 \cos \varphi_2)(\rho_1 \sin \varphi_1 - \rho_2 \sin \varphi_2)}{(\rho_1^2 - \rho_2^2)^2} = 1, \\ \frac{x^2[\rho_1^2 + \rho_2^2 - 2\rho_1\rho_2 \cos(\varphi_1 + \varphi_2)]}{(\rho_1^2 - \rho_2^2)^2} + \\ &+ \frac{y^2[\rho_1^2 + \rho_2^2 + 2\rho_1\rho_2 \cos(\varphi_1 + \varphi_2)]}{(\rho_1^2 - \rho_2^2)^2} - \\ &- \frac{4xy\rho_1\rho_2 \sin(\varphi_1 + \varphi_2)}{(\rho_1^2 - \rho_2^2)^2} = 1.\end{aligned}\quad (2)$$

Это уравнение эллипса.

Теорема доказана.

Теорема 2. Большая и малая полуоси эллипса (2) соответственно равны $(\rho_1 + \rho_2)$ и $|\rho_1 - \rho_2|$.

Доказательство.

Обратным отсчетом времени можно добиться, чтобы $\varphi_1 = \varphi_2$, а поворотом координатных осей – чтобы $\varphi_1 = \varphi_2 = 0$. Тогда (2) примет вид

$$\begin{aligned}&\frac{x^2(\rho_1^2 + \rho_2^2 - 2\rho_1\rho_2)}{(\rho_1^2 - \rho_2^2)^2} + \\ &+ \frac{y^2(\rho_1^2 + \rho_2^2 + 2\rho_1\rho_2)}{(\rho_1^2 - \rho_2^2)^2} = 1, \\ &\frac{x^2}{(\rho_1 + \rho_2)^2} + \frac{y^2}{(\rho_1 - \rho_2)^2} = 1\end{aligned}\quad (3)$$

(канонический вид).

Теорема доказана.

Следствие 1. При $\rho_1 = \rho_2 = \rho$ эллипс (2) вырождается в отрезок прямой линии длиной 4ρ .

Следствие 2. Корни характеристического уравнения эллипса равны

$$\lambda_1 = (\rho_1 + \rho_2)^2, \quad \lambda_2 = (\rho_1 - \rho_2)^2.$$

Следствие 3. Эксцентриситет эллипса равен отношению среднегеометрического значения величин ρ_1 и ρ_2 к их среднеарифметическому значению

$$\varepsilon = \frac{\sqrt{\rho_1\rho_2}}{(\rho_1 + \rho_2)/2}.$$

Следствие 4. Фокусы эллипса (для канонической формулы (3)) равны

$$f_{1,2} = (\pm 2\sqrt{\rho_1\rho_2}, 0).$$

Теорема 3. Оси эллиптического гомографа повернуты на угол $(\varphi_1 + \varphi_2)/2$ в системе отсчета xOy .

Доказательство.

При повороте координатных осей на угол $(\varphi_1 + \varphi_2)/2$ выражение (3) принимает вид

$$\begin{aligned}&\frac{\left(x \cos \frac{\varphi_1 + \varphi_2}{2} + y \sin \frac{\varphi_1 + \varphi_2}{2}\right)^2}{(\rho_1 + \rho_2)^2} + \\ &+ \frac{\left(-x \sin \frac{\varphi_1 + \varphi_2}{2} + y \cos \frac{\varphi_1 + \varphi_2}{2}\right)^2}{(\rho_1 - \rho_2)^2} = 1,\end{aligned}$$

$$\frac{x^2[\rho_1^2 + \rho_2^2 - 2\rho_1\rho_2 \cos(\varphi_1 + \varphi_2)]}{(\rho_1^2 - \rho_2^2)^2} +$$

$$+ \frac{y^2[\rho_1^2 + \rho_2^2 + 2\rho_1\rho_2 \cos(\varphi_1 + \varphi_2)]}{(\rho_1^2 - \rho_2^2)^2} -$$

$$- \frac{4xy\rho_1\rho_2 \sin(\varphi_1 + \varphi_2)}{(\rho_1^2 - \rho_2^2)^2} = 1,$$

что совпадает с (2).

Теорема доказана.

На рис. 2 $\varphi_1 = 120^\circ$, $\varphi_2 = -30^\circ$, следовательно, оси эллипса повернуты на 45° .

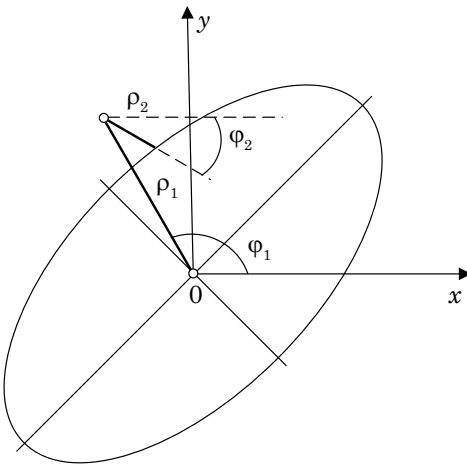


Рис. 2. Эллиптический годограф

Обратным ходом рассуждений доказывается

Теорема 4. Если годографом вектора **A** является эллипс с полуосями $(\rho_1 + \rho_2)$ и $|\rho_1 - \rho_2|$, то точка **a** вращается вокруг точки **O'** с постоянной угловой скоростью $-\omega$ в системе отсчета $x'O'y'$.

Однонаправленное вращение

Теорема 5. При однонаправленном вращении точек **a** и **O'** годографом вектора **A** является окружность с центром в точке **O**.

Доказательство.

Координаты точки **O'** в системе xOy определяются выражением (1).

Координаты точки **a** в системе $x'O'y'$:

$$x_2 = \rho_2 \cos(\omega t + \varphi_2),$$

$$y_2 = \rho_2 \sin(\omega t + \varphi_2).$$

Координаты вектора **A** в системе xOy :

$$x_A = x_1 + x_2 =$$

$$= \rho_1 \cos(\omega t + \varphi_1) + \rho_2 \cos(\omega t + \varphi_2),$$

$$y_A = y_1 + y_2 =$$

$$= \rho_1 \sin(\omega t + \varphi_1) + \rho_2 \sin(\omega t + \varphi_2).$$

Квадрат вектора **A** равен

$$A^2 = x_A^2 + y_A^2 =$$

$$= \rho_1^2 \cos^2(\omega t + \varphi_1) + \rho_2^2 \cos^2(\omega t + \varphi_2) +$$

$$+ 2\rho_1\rho_2 \cos(\omega t + \varphi_1) \cos(\omega t + \varphi_2) +$$

$$+ \rho_1^2 \sin^2(\omega t + \varphi_1) + \rho_2^2 \sin^2(\omega t + \varphi_2) +$$

$$+ 2\rho_1\rho_2 \sin(\omega t + \varphi_1) \sin(\omega t + \varphi_2) =$$

$$\dots$$

$$= \rho_1^2 + \rho_2^2 + 2\rho_1\rho_2 \cos(\varphi_1 - \varphi_2).$$

Длина вектора **A** неизменна, следовательно, его годографом является окружность.

Теорема доказана.

Следствие. Вектор **A** вращается с угловой скоростью ω в системе отсчета xOy .

Это вытекает из того, что форма треугольника $OO'a$ неизменна, а его сторона OO' вращается с угловой скоростью ω .

Обратным ходом рассуждений доказывается

Теорема 6. Если годографом вектора **A** является окружность, то точка **a** вращается вокруг точки **O'** с постоянной угловой скоростью $+\omega$ в системе отсчета $x'O'y'$.

Теорема 7. Если точка **a** неподвижна в системе отсчета $x'O'y'$, то годографом вектора **A** является окружность радиуса ρ_1 , координаты центра которой в системе отсчета xOy равны $x_{p1} = \rho_2 \cos \varphi_2$, $y_{p1} = \rho_2 \sin \varphi_2$.

Доказательство.

Координаты точки O' в системе xOy определяются выражением (1).

Координаты точки a в системе $x'O'y'$:

$$x_2 = \rho_2 \cos \varphi_2, y_2 = \rho_2 \sin \varphi_2.$$

Координаты вектора A в системе xOy :

$$x_A = x_1 + x_2 = \rho_1 \cos(\omega t + \varphi_1) + \rho_2 \cos \varphi_2,$$

$$y_A = y_1 + y_2 = \rho_1 \sin(\omega t + \varphi_1) + \rho_2 \sin \varphi_2,$$

$$x_A - \rho_2 \cos \varphi_2 = \rho_1 \cos(\omega t + \varphi_1),$$

$$y_A - \rho_2 \sin \varphi_2 = \rho_1 \sin(\omega t + \varphi_1),$$

$$(x_A - \rho_2 \cos \varphi_2)^2 + (y_A - \rho_2 \sin \varphi_2)^2 = \rho_1^2.$$

Теорема доказана.

Пример сложения кратных вращений

Пусть точка a вращается вокруг точки O' в системе отсчета $x'O'y'$ с постоянной угловой скоростью $+2\omega$ и $\varphi_1 = \varphi_2 = 0_2$.

Координаты точки O' в системе xOy :

$$x_1 = \rho_1 \cos \omega t, y_1 = \rho_1 \sin \omega t.$$

Координаты точки a в системе $x'O'y'$:

$$x_2 = \rho_2 \cos 2\omega t, y_2 = \rho_2 \sin 2\omega t.$$

Координаты вектора A в системе xOy :

$$x_A = \rho_1 \cos \omega t + \rho_2 \cos 2\omega t,$$

$$y_A = \rho_1 \sin \omega t + \rho_2 \sin 2\omega t.$$

Годограф вектора A (улитка) при $\rho_1 = \rho_2$ изображен на рис. 3.

Уравнение этой улитки в полярных координатах:

$$\rho = \rho_1 \sqrt{2 + 2 \cos \frac{2}{3} \varphi}.$$

Для сравнения формула улитки Паскаля, имеющей заметное внешнее сходство, —

$$\rho = b + a \cos \varphi.$$

Условием возникновения петли улиточного годографа является неравенство

$$\rho_1 \sin \omega t < \rho_2 \sin 2\omega t,$$

$$\rho_1 \sin \omega t < \rho_2 2 \sin \omega t \cos \omega t,$$

$$\rho_1 < 2\rho_2 \cos \omega t.$$

При $\rho_1 \geq 2\rho_2$ петля не возникает (рис. 4).

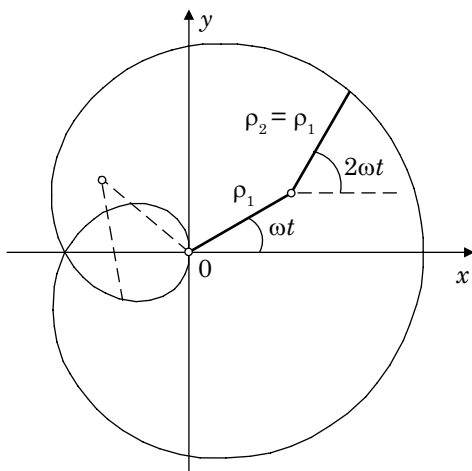


Рис. 3. Улиточный годограф

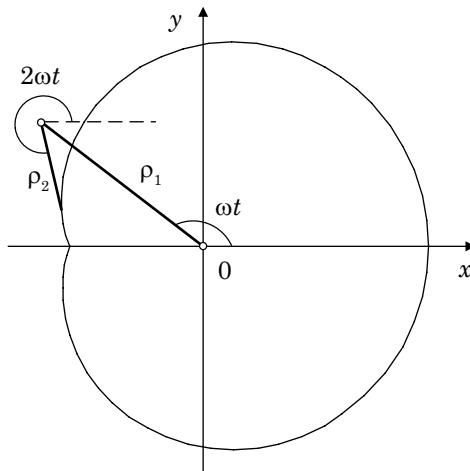


Рис. 4. Улиточный годограф без петли

Заключение

Подобно тому, как результатом сложения двух равномерных прямолинейных движений является равномерное прямолинейное движение, результатом сложения двух равномерных однонаправленных круговых движений является равномерное круговое движение.

Годографом при сложении двух равномерных противоположно направленных круговых движений является эллипс.

При сложении двух несинхронных вращений возможны годографы в виде улитки. ■

Литература

1. Бранец В. Н. Об изоморфизме математических описаний операции вращения // Изв. РАН. МТТ. 2018. № 2. С. 136–143. ISSN 0572-3299.
2. Бычков Ю. П. О катании тела с ротором по подвижной опорной сфере // ПММ. 2015. Т. 79. Вып. 1. С. 99–111. ISSN 0032-8235.
3. Попов И. П. Теория мультиинертного осциллятора // Проблемы машиностроения и автоматизации. 2020. № 1. С. 88–91. ISSN 0234-6206.
4. Попов И. П. Моделирование триинертного осциллятора // Прикладная математика и вопросы управления. 2018. № 4. С. 73–79. ISSN 2499-9873.
5. Приходько А. А., Смелягин А. И. Создание и исследование планетарных механизмов прерывистого движения с эллиптическими зубчатыми колесами // Вестник Московского государственного технического университета им. Н. Э. Баумана. Сер. : Машиностроение. – 2019. № 6 (129). С. 77–88. ISSN 0236-3941.
6. Матасова Е. Ю., Виноградов Д. В. Корректировка подачи при фрезеровании криволинейных поверхностей // Известия высших учебных заведений. Машиностроение. 2019. № 10 (715). С. 14–24. ISSN 0536-1044.
7. Волошинов Д. В., Казначеева Е. С., Хайбрахманова Е. С. Преобразование инверсии в задачах проектирования поверхностей // Прикладная математика и вопросы управления. 2017. № 1. С. 14–26. ISSN 2499-9873.
8. Таран В. Н., Долженко А. М., Бойко Е. Ю. Применение задачи о брахистохроне для построения математической модели скатывания отцепа на сортировочной горке // Вестник УрГУПС. 2018. № 1 (37). С. 4–10. ISSN 2079-0392.
9. Рогозинников Е. А. Группы движений кривых с постоянными и периодическими кривизнами // Вестник УрГУПС. 2011. № 2 (10). С. 65–72. ISSN 2079-0392.
10. Сизый С. В., Рогозинников Е. А. О группах движений кривых на многообразиях // Вестник УрГУПС. 2010. № 2 (6). С. 47–56. ISSN 2079-0392.

Literature

1. Branets V. N. Concerning isomorphism of mathematical descriptions of rotation // RAS Bul. MTT. [Ob izomorfizme matematicheskikh opisaniy operatsii vrashheniya // Izv. RAN. MTT]. 2018. № 2. P. 136–143. ISSN 0572-3299.
2. Bychkov Yu. P. About rolling a body with a rotor on a movable support sphere// PММ. [O katanii tela s rotorom po podvizhnoy opornoj sfere // PММ]. 2015. V. 79. Issue 1. P. 99–111. ISSN 0032-8235.
3. Popov I. P. Theory of multi inert oscillator // Problems of mechanical engineering and automation. [Teoriya mul'tiinertnogo ostsillyatora // Problemy mashinostroeniya i avtomatizatsii]. 2020. № 1. P. 88–91. ISSN 0234-6206.
4. Popov I. P. Modelling of three inert oscillator // Applied mathematics and management problems. [Modelirovanie triinertnogo ostsillyatora // Prikladnaya matematika i voprosy upravleniya]. 2018. № 4. С. 73–79. ISSN 2499-9873.
5. Prikhodko A. A., Smelyagin A. I. Making and investigation of planetary mechanisms of interrupted motion with elliptical gear wheels // Herald of Moscow state technical university named after N.E. Bauman. [Sozdanie i issledovanie planetarnykh mekhanizmov preryvistogo dvizheniya s ellipticheskimi zubchatymi kolesami // Vestnik Moskovskogo gosudarstvennogo tekhnicheskogo universiteta im. N. E. Baumana]. Ser. : Mechanical Engineering. 2019. № 6 (129). С. 77–88. ISSN 0236-3941.

6. Matasova E. Yu., Vinogradov D. V. Correction of feed adjustment when milling curved surfaces // Bul. of higher schools. Mechanical Engineering. [Korrektirovka podachi pri frezerovanii krivolinejnyh poverhnostej // Izvestiya vysshih uchebnyh zavedenij. Mashinostroenie]. 2019. № 10 (715). P. 14–24. ISSN 0536-1044.
7. Voloshinov D. V., Kaznachejeva E. S., Khaibrakhmanova E.S. Transformation of inversion in problems of designing surfaces // Applied mathematics and management issues. [Preobrazovanie inversii v zadachah proektirovaniya poverhnostej // Prikladnaya matematika i voprosy upravleniya]. 2017. № 1. P. 14–26. ISSN 2499-9873.
8. Taran V. N., Dolzhenko A. M., Boiko E. Yu. Application of the brachistochrone problem for constructing a mathematical model of rolling off detachments on a sorting hill // Herald of USURT. [Primenenie zadachi o brachistohrone dlya postroeniya matematicheskoy modeli skatyvaniya ottsepa na sortirovochnoj gorke // Vestnik UrGUPS]. 2018. № 1 (37). P. 4–10. ISSN 2079-0392.
9. Rogozinnikov E. A. Groups of movements of curves with constant and periodic curvatures // Herald of USURT. [Gruppy dvizhenij krivyh s postoyannymi i periodicheskimi kriviznami // Vestnik UrGUPS]. 2011. № 2 (10). P. 65–72. ISSN 2079-0392.
10. Sizy S. V., Rogozinnikov E. A. On groups of motions of curves on manifolds // Herald of USURT. [O gruppah dvizhenij krivyh na mnogoobraziyah // Vestnik UrGUPS]. 2010. № 2 (6). P. 47–56. ISSN 2079-0392.

Статья сдана в редакцию 18 августа 2020 года

Механика машин и роботов

УДК 629.423

П. Ю. Иванов, А. М. Худоногов, Е. Ю. Дульский,
А. А. Корсун, С. В. Трескин

Исследование температуры тормозных колодок с разной степенью износа в процессе фрикционного торможения

UDC 629.423

P. Yu. Ivanov, A. M. Khudonogov, E. Yu. Dulskiy, A. A. Korsun,
S. V. Treskin

Investigation of temperature of brake pads with different extent of wear in frictional braking

Аннотация

Рассматривается вопрос нагрева тормозных колодок железнодорожного подвижного состава в процессе фрикционного торможения в рамках тормозной системы одного грузового вагона

с односторонним нажатием, оборудованного чугунными тормозными колодками. Изучен зарубежный и отечественный опыт исследований тепловых процессов, вызванных трением, описан механизм тепловыделения в зоне

контакта колодки и колеса в процессе торможения с учетом коэффициента распределения тепловых потоков, обоснован выбор математического моделирования как способа уточнения замеров температуры в процессе

Статья рекомендована к публикации А.Э. Павлюковым, д-ром техн. наук, профессором Уральского государственного университета путей сообщения. E-mail: APavlukov@usurt.ru.

Павел Юрьевич Иванов, канд. техн. наук, доцент; кафедра «Электроподвижной состав» Иркутского государственного университета путей сообщения; г. Иркутск, Россия. E-mail: savlivanov@mail.ru ORCID 0000-0001-6836-5928.

Анатолий Михайлович Худоногов, д-р техн. наук, профессор кафедры «Электроподвижной состав» Иркутского государственного университета путей сообщения; г. Иркутск, Россия. E-mail: a.hudonogov@yandex.ru. ORCID 0000-0003-0890-8892.

Евгений Юрьевич Дульский, канд. техн. наук, доцент кафедры «Электроподвижной состав» Иркутского государственного университета путей сообщения; г. Иркутск, Россия. E-mail: e.dulskiy@mail.ru. ORCID 0000-0002-6637-3104.

Антон Александрович Корсун, аспирант Иркутского государственного университета путей сообщения, кафедра «Электроподвижной состав» Иркутского государственного университета путей сообщения; г. Иркутск, Россия. E-mail: korsunanton1998@gmail.com. ORCID 0000-0002-7117-0985.

Трескин Сергей Викторович, студент Иркутского государственного университета путей сообщения, кафедра «Вагоны и вагонное хозяйство», Иркутского государственного университета путей сообщения; г. Иркутск, Россия. E-mail: sergei.tresckin@yandex.ru. ORCID 0000-0003-3590-3843.

The article is recommended for publishing by A.E. Pavlukov, Doctor of tech. sci., Professor, Ural state university of railway transport. E-mail: APavlukov@usurt.ru.

Pavel Yurievich Ivanov, Cand. of tech. sci., Associate Professor; «Electric Rolling stock» Chair, Irkutsk state university of railway transport; Irkutsk City, Russia. E-mail: savlivanov@mail.ru ORCID 0000-0001-6836-5928.

Anatoly Mikhailovich Khudonogov, Doctor of tech. sci., Professor, «Electric Rolling Stock» Chair; Irkutsk state university of railway transport; Irkutsk City, Russia. E-mail: a.hudonogov@yandex.ru. ORCID 0000-0003-0890-8892.

Evgeny Yurievich Dulskiy, Cand. of tech. sci., Associate Professor, «Electric Rolling stock» Chair, Irkutsk state university of railway transport; Irkutsk City, Russia. E-mail: e.dulskiy@mail.ru. ORCID 0000-0002-6637-3104.

Anton Alexandrovich Korsun, Graduate Student, Irkutsk state university of railway transport, «Electric Rolling Stock» Chair, Irkutsk state university of railway transport; Irkutsk City, Russia. E-mail: korsunanton1998@gmail.com. ORCID 0000-0002-7117-0985.

Sergey Victorovich Treskin, Student, Irkutsk state university of railway transport, «Railway Cars and Rolling Stock» Chair, Irkutsk state university of railway transport; Irkutsk City, Russia. E-mail: sergei.tresckin@yandex.ru. ORCID 0000-0003-3590-3843.

экспериментальных исследований, представлены результаты расчетного определения теплового потока, действующего на колодку в ходе торможения груженого грузового вагона массой 93 тс с нажатием 5 тс на ось с 60 км/ч до полной остановки. Смоделирована динамика изменения тепловой энергии, выделяющейся в процессе фрикционного торможения, с учетом снижающейся скорости вращения колеса и повышения коэффициента трения. Описаны конечно-элементные модели колодок с равномерным износом, клиновидным износом и без износа с геометрией соответствующей конструкторской документации. Приведены результаты исследования нагрева тормозных колодок с различными видами износа в процессе торможения до полной остановки.

Ключевые слова: подвижной состав, тормоза вагонов,

тормоза поездов, фрикционное торможение, безопасность движения, моделирование теплового поля, конечно-элементные модели, коэффициент трения.

DOI: 10.20291/2079-0392-2020-3-27-34

Abstract

The issue of railway rolling stock brake pad heating is examined under frictional braking within a freight car with unilateral push, equipped with cast-iron brake pads. Foreign and domestic experience of studies of heat cycles caused by friction has been examined, mechanism of heat release in the contact zone between a pad and wheel during braking with consideration of a heat flow distribution coefficient is described, mathematical modeling choice as a way to refine temperature measurements in the process of experimental studies is grounded, the results of estimated

determination of the thermal flow affecting the pad in braking of a loaded freight car weighing 93 ts with 5 ts push upon the axle from 60 km/h to full stop are shown. Dynamics of thermal energy change emitting in frictional braking with consideration of wheel rotation decelerating speed and friction coefficient increase is emulated. Finite element models of pads with even wear, wedge-like wear and with no wear having geometry of relevant engineering drawings are described. The results of investigation of heating of brake pads with different wear types in the process of braking until full stop are given.

Key words: rolling stock, railway car brakes, train brakes, frictional braking, traffic safety, thermal field emulation, finite element models, friction coefficient.

DOI: 10.20291/2079-0392-2020-3-27-34

Динамика температурного поля при различных значениях теплоемкости и теплоотдачи тормозной колодки в процессе торможения исследована в рамках научно-исследовательской работы по теме: «Повышение скорости движения поездов путем увеличения эффективности, управляемости и контроля работоспособности автотормозов подвижного состава». Теплоемкость и теплоотдача зависят от изменения геометрии колодки при износе в эксплуатации. При расчетах учтен опыт работы с тепловыми полями в кинематических системах электропривода [1].

Для исследования выбрано математическое моделирование процесса торможения с применением метода конечных элементов (КЭ), который ранее зарекомендовал себя с положительной стороны при моделировании работы элементов тормозной системы [2].

КЭ-моделирование для решения нашей задачи оптимально, так как измерить температуру в области контакта колеса и колодки очень сложно, и при неверном выборе контрольных точек могут возникнуть существенные погрешности.

Экспериментальные исследования необходимы, однако для их оптимального планирования нужно начать с КЭ-моделирования, которое позволит определить распределение температуры в области контакта, расставить датчики в правильных точках и избежать ошибок.

Аналогичное исследование проводилось для железных дорог Сербии [3]; построена КЭ-модель колеса и колодки. Цель исследования – определение уровня высоких температур, ведущих к разрушению колеса; получены температуры в зоне трения при различных нажатиях на колодку 20,38 кН и 37,16 кН для разных скоростей торможения 20,

40, 60 км/ч. Коэффициент трения был принят 0,115. Однако в этих исследованиях рассматривалось торможение неизношенными колодками, геометрия и масса которых не изменялась.

Для исследования изменения температуры контакта в процессе износа колодок в САПР смоделированы три вида геометрии колодок (рис. 1).

Первая колодка (рис. 1, а) имеет геометрию новой колодки с шириной 80 мм, толщиной 85 мм и высотой 380 мм. Вторая колодка (рис. 1, б) – геометрию равномерно изношенной колодки толщиной 16 мм с теми же размерами высоты и ширины. Третья колодка – геометрию колодки с неравномерным износом, при этом толщина имеет переменное значение: с широкого края – 24 мм и с тонкого края – 13,5 мм, с теми же размерами высоты и ширины, как у предыдущих моделей (рис. 1, в).

На интенсивность тепловыделения при торможении влияют две основных составляющих – это скорость вращения колеса и тормозная сила. Тормозная сила зависит от нажатия колодки на колесо и коэффициента трения. Используя основные формулы кинематики, можно вычислить механическую мощность тормозной системы, преобразующуюся в тепло по формуле [4]:

$$P = \frac{M \cdot n}{9,55}, \quad (1)$$

где M – тормозной момент, кН·м; n – количество оборотов колеса, об/мин.

В описываемом исследовании был смоделирован процесс торможения грузового вагона с постоянной силой нажатия на ось 5 тс (24,55 кН на колодку) при скорости движения 60 км/ч до полной остановки [5].

Тормозной момент M является произведением тормозной силы B на радиус колеса $r_k = 0,475$ м и определяется как

$$M = B \cdot r_k. \quad (2)$$

Плотность теплового потока, прикладываемого к колодке, определяется как отношение тепловой мощности, выделяющейся в процессе фрикционного торможения, по выражению (1), выделяемой в области трения, к удвоенному значению площади взаимодействия колеса и колодки, так как тепловой поток делится между колесом и колодкой условно в соответствии с коэффициентами распределения тепловых потоков между колодкой и колесом. Согласно методике вычисления коэффициентов распределения тепловых потоков, представленной в [6], и свойствам

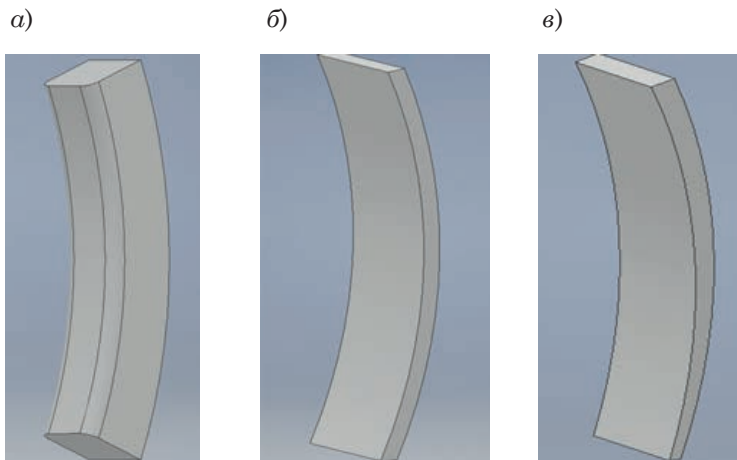


Рис. 1. 3D-модели тормозных колодок в трех состояниях
а – новая колодка; б – изношенная колодка с равномерным износом;
в – изношенная колодка с клиновидным износом

рассмотренных в модели материалов, вычислены коэффициенты для колеса и колодки. С учетом распределения тепловых потоков выделяемая в зоне трения тепловая энергия, направленная на нагрев колодки, может быть вычислена по формуле (3):

$$q = \frac{P \cdot \alpha_k}{S_k}, \quad (3)$$

где S_k – площадь поверхности колодки, $S_k = 0,0305 \text{ м}^2$; α_k – коэффициент теплового потока, приходящегося на колодку.

Площадь поверхности колодки S_k определена с помощью построения ее модели с реальными размерами в программной среде Autodesk Inventor.

Тепловые коэффициенты α_k для колодки α_R для колеса подчиняются следующей зависимости согласно формуле (4):

$$\alpha_k + \alpha_R = 1. \quad (4)$$

Согласно [6], коэффициент теплового потока колеса можно вычислить по формуле (5):

$$\alpha_R = \frac{1}{1 + \sqrt{\frac{\gamma_k \cdot \lambda_k \cdot c_k}{\gamma_R \cdot \lambda_R \cdot c_R}}}, \quad (5)$$

где γ_k, γ_R – удельные веса колодки и колеса соответственно $[\text{кг/м}^3]$; λ_k, λ_R – коэффициенты теплопроводности для колодки и колеса соответственно

$[\text{Вт/м} \cdot ^\circ\text{C}]$; c_k, c_R – удельные теплоемкости колодки и колеса соответственно $[\text{Дж/кг} \cdot ^\circ\text{C}]$.

Удельные величины теплоемкости и теплопроводности зависят от значения температуры тела, что говорит о переменности значения коэффициента теплового потока колодки α_k . Однако в диапазоне моделируемых температур в пределах $0\text{--}750^\circ\text{C}$ коэффициент теплового потока колеса изменяется от 0,601 до 0,61, т.е. учет переменности данного потока приводит к погрешности в 0,75 % при вычислении теплового потока. Поэтому в процессе вычисления коэффициент принят средним для всего диапазона температур $\alpha_k = 0,3945$.

Для вычисления динамики тепловой мощности использованы формулы и методики [7]. Результаты полученных расчетных энергетических характеристик процесса торможения представлены на рис. 2.

Как видно из данной зависимости, при высоких скоростях вращения колеса тепловой поток, который необходимо рассеивать, выше, чем при низких скоростях в зоне контакта колеса с колодкой, температура становится больше, поэтому тормозная эффективность снижается из-за понижения значения коэффициента трения, но при замедлении состава рассеиваемая тепловая мощность снижается, а тормозная сила растет.

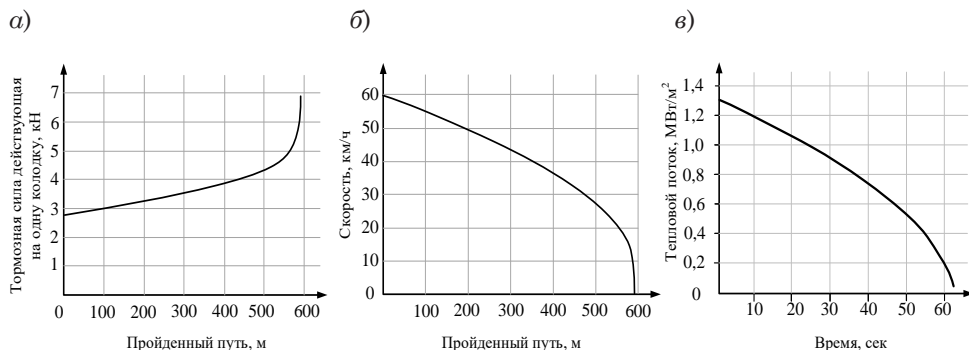


Рис. 2. Результаты расчета динамики тормозной силы, действующей на колесо (а), скорости (б), теплового потока (в) в процессе торможения



Рис. 3. Конечно-элементная модель неизношенной тормозной колодки в среде MSC Patran/Sinda

На этом этапе исследований в расчетной модели рассматривается только нагрев колодки. Конечно-элементная модель неизношенной колодки представлена на рис. 3. В модели применена сетка из тетраэдральных элементов, решение производилось в среде MSC Patran/Sinda.

Свойства материала приняты согласно справочным данным для колодочного чугуна. Плотность – 7200 кг/м^3 , удельная теплоемкость – от 487 до 676 $\text{Дж/кг} \cdot ^\circ\text{C}$, теплопроводность – от

50 до $32,56 \text{ Вт/м} \cdot ^\circ\text{C}$, конвекция – $150 \text{ Вт/м}^2 \cdot ^\circ\text{C}$. К поверхности колодки было приложено инфракрасное излучение с отдачей тепла в окружающую среду.

Расчет производился в нестационарной постановке.

В результате расчёта выяснилось, что геометрические размеры колодки существенно влияют на температуру в зоне контакта «колодка-колесо». Также выяснилось, что скорость нагрева изношенной колодки в несколько раз больше, чем у новой. При этом наблюдается существенная разница температуры между поверхностью трения и тыльной поверхностью колодки. Обобщенные результаты моделирования нагрева колодок в процессе торможения представлены в таблице.

Визуализация теплового поля тормозной колодки в процессе торможения представлена на рис. 4.

Значения температур тормозной колодки				
Нажатие на колодку, кН	Температура, $^\circ\text{C}$			
	Уровень температуры	Состояние износа колодки		
		новая	изношенная	клиновидный износ
24,55	max	339	831	926
	min	192	667	472

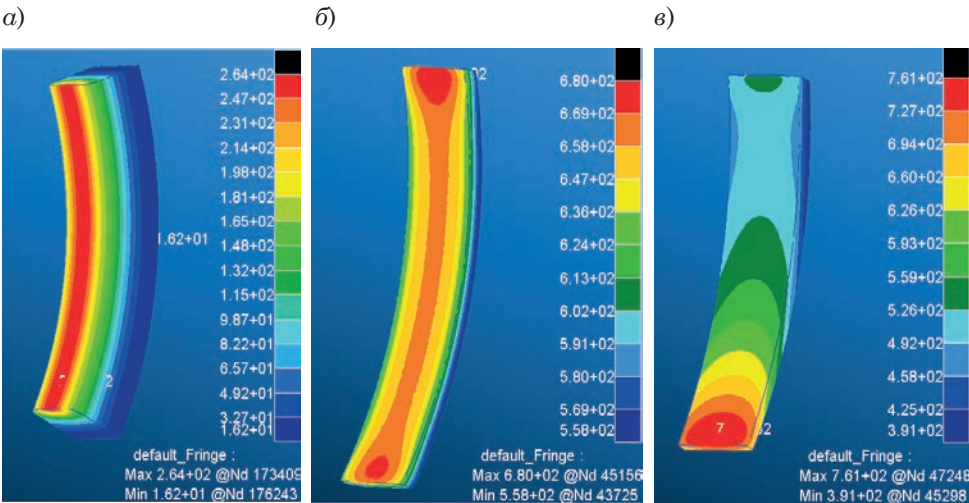


Рис. 4. Распределение температурных полей по поверхности колодки
а – без износа; б – с равномерным износом; в – с клиновидным износом

Как видно из рис. 4, у новой колодки распределение теплового поля происходит равномерно, максимальная температура колодки с существенным износом возникает по краям, а при клиновидном износе наблюдается перегрев тонкого края относительно края с большей толщиной на 25 %.

Полученные значения температуры согласуются с результатами, приведенными в [3]. Однако имеются некоторые различия в значении температуры и форме температурного поля колодки. Представленная модель тормозной колодки имеет более высокую точность за счет гораздо большего количества конечных элементов; в [3] тормозная колодка имеет всего два слоя конечных элементов. Малое количество элементов колодки обусловлено тем, что исследование было направлено на вычисление температуры круга катания. В результате уменьшения количества элементов тепловое поле колодки стало более однородным, чем в реальности, что привело к получению большего значения температуры на тыльной стороне колодки и меньшего значения температуры в зоне трения. Также некоторая разница вычисленных температур обусловлена отличающимися геометрическими параметрами тормозных колодок (типа тормозной системы), разницей

силы нажатия и динамикой смоделированного теплового потока.

Отказ от моделирования всего колеса позволил высвободить вычислительные мощности, увеличить количество конечных элементов колодки и получить более детальное представление о распределении температурного поля.

В процессе исследования сделаны некоторые наблюдения. У новой колодки из-за большого объема материала нагревание замедляется. Изношенные колодки из-за маленьких массы и объема нагреваются гораздо интенсивнее, чем новые, а неравномерность износа колодки ведет к возникновению экстремумов температуры на тонком конце. Для сравнительного анализа скорости нагрева колодок в зависимости от степени их износа результаты КЭ расчета представлены в виде графиков (рис. 5).

Изношенная форма колодки обуславливает низкую теплоотдачу, которая не справляется с поступающим тепловым потоком, поэтому температура растет интенсивнее. Разница температур между колодками с разной степенью износа достигает 2,5–3 раза.

Перспективами данного исследования являются разработка и создание экспериментальной установки, которая позволит уточнить динамику изменения

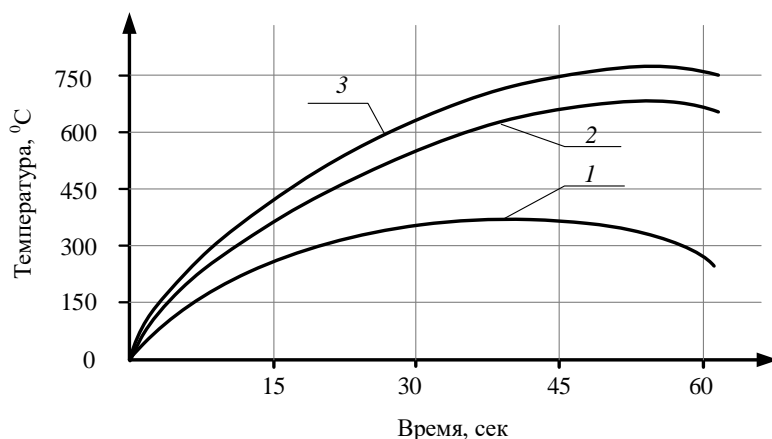


Рис. 5. Графики изменения температуры тормозных колодок при торможении
1 – для новой колодки; 2 – для колодки с равномерным износом;
3 – для колодки с клиновидным износом

коэффициента трения (в классическом понимании) [11, 12] в процессе торможения и уточнить зависимость тормозной силы от износа колодок и других параметров торможения.

На основании проведенных исследований можно сделать выводы:

- степень износа влияет на теплоёмкость и теплоотдачу колодок;
- температура колодок в процессе торможения существенно изменяется со степенью износа;
- поезд с одинаковыми параметрами и условиями торможения, имея колодки с разной степенью износа, могут

останавливаться за абсолютно разную дистанцию;

- изношенные колодки нагреваются в 2,5–3 раза быстрее новых.

Сделанные выводы могут быть полезны для специалистов, определяющих режимы управления тормозами поездов, и проектировщиков тормозных систем вагонов и локомотивов.

Полученные результаты могут быть использованы при моделировании движения поезда и уточнения уравнения движения поезда, позволяющего определить скорость движения и координаты поезда в любой момент [8–10]. ■

Литература

1. Иванов П. Ю. Теоретическое обоснование механизма локального перегрева изоляции в режиме пуска асинхронных вспомогательных машин / П. Ю. Иванов, Е. Ю. Дульский, А. М. Худоногов, В. Н. Иванов // Транспортная инфраструктура Сибирского региона. – 2016. – Т. 2. – С. 378–382.
2. Мануилов Н. И. Моделирование работы резиновых уплотнений тормозной сети подвижного состава в условиях низких температур / Н. И. Мануилов, П. Ю. Иванов, Е. Ю. Дульский // Современные технологии. Системный анализ. Моделирование. 2017. № 3 (55). С. 112–119. ISSN 1813-9108.
3. Milosevic M. S., Stamenkovic D. S., Milojevic A. P., Tomic M.M. Modeling thermal effects in braking systems of railway vehicles, Thermal Science, 2012. Vol. 16, Suppl. 2. Pp. 515–526.
4. Иванов П. Ю. Повышение эксплуатационной надежности асинхронных вспомогательных машин магистральных электропоездов переменного тока : дис.... на соиск. уч. ст. канд. техн. наук. – Омск : Омский гос. университет путей сообщения, 2015.
5. Правила технического обслуживания тормозного оборудования и управления тормозами железнодорожного подвижного состава, 2014. – 159 с.
6. Казаринов В. М. Теоретические основы проектирования и эксплуатации автотормозов / Казаринов В. М., Иноземцев В. Г., Ясенцев В. Ф. – М. : Транспорт, 1968. – 400 с.
7. Правила тяговых расчетов для поездной работы, 2016. – 510 с.
8. Иванов П. Ю. Повышение эффективности работы тормозной системы пассажирских поездов / П. Ю. Иванов, А. И. Романовский, А. А. Хамнаева, А. А. Корсун, А. С. Буртенко // Транспорт: наука, техника, управление. 2020. № 3. С. 39–43. ISSN 0236-1914.
9. Худоногов А. М. Управление оперативными процессами работы сортировочной станции на основе применения искусственных нейронных сетей / А. М. Худоногов, П. Ю. Иванов, Н. И. Мануилов, Е. Ю. Дульский // Известия Петербургского университета путей сообщения. 2018. Т. 15. № 1. С. 130–135. ISSN 1815-588X.
10. Иванов П. Ю. Снижение энергопотребления электропоезда при управлении пневматическими тормозами грузового поезда / П. Ю. Иванов, А. А. Хамнаева, А. М. Худоногов / Разработка и эксплуатация электротехнических комплексов и систем энергетики и наземного транспорта : М-лы 3-й Международн. научн.-практ. конф. – 2018. – С. 143–151.
11. Попов В. Л. Механика контактного взаимодействия и физика трения. От нанотрибологии до динамики землетрясения. – М. : Физматлит, 2013. – 352 с. ISBN 978-5-9221-1443-1.
12. Иноземцев В. Г. Тормоза железнодорожного подвижного состава: вопросы и ответы. – М. : Транспорт, 1987. – 3-е изд., стереотип. – 207 с.

Literature

1. Ivanov P. Yu. Theoretical foundation of local overheating of insulation in the startup mode of asynchronous supporting machines [Teoreticheskoe obosnovanie mekhanizma

- lokal'nogo peregreva izolyatsii v rezhime puska asinhronnyh vspomogatel'nyh mashin] / P. Yu. Ivanov, E. Yu. Dul'skiy, A. M. Khudonogov, V. N. Ivanov // Transport infrastructure of Siberian region [Transportnaya infrastruktura Sibirskogo regiona]. 2016. – V. 2. – P. 378–382.
2. Manuilov N. I. Modeling of work of rolling stock braking network rubber covers under low temperatures [Modelirovanie raboty rezinovykh uplotnenij tormoznoj seti podvizhnogo sostava v usloviyakh nizkih temperature] / N. I. Manuilov, P. Yu. Ivanov, E. Yu. Dul'skiy // Up-to-date technology. System analysis. Modeling [Sovremennye tekhnologii. Sistemnyy analiz. Modelirovanie]. 2017. № 3 (55). P. 112–119. ISSN 1813-9108.
3. Milosevic M. S., Stamenkovic D. S., Milojevic A. P., Tomic M. M. Modeling thermal effects in braking systems of railway vehicles, Thermal Science, 2012. Vol. 16, Suppl. 2. Pp. 515–526.
4. Ivanov P. Yu. Enhancement of operational reliability of asynchronous supporting machines of mainline AC electric locomotives: dis. ... for Cand. of tech. sci. degree. – Omsk: Omsk state university of railway transport [Povyshenie ekspluatatsionnoj nadezhnosti asinhronnyh vspomogatel'nyh mashin magistral'nyh elektrovozov peremennogo toka : dis.... na soisk. uch. st. kand. tekhn. nauk. – Omsk : Omskij gos. universitet putej soobshheniya], 2015.
5. Regulations of technical service of braking equipment and control over railway rolling stock brakes [Pravila tekhnicheskogo obsluzhivaniya tormoznogo oborudovaniya i upravleniya tormozami zheleznodorozhnogo podvizhnogo sostava]. 2014. – 159 p.
6. Kazarinov V. M. Theoretical fundamentals of engineering and operation of autobrakes [Teoreticheskie osnovy proektirovaniya i ekspluatatsii avtotormozov]. Kazarinov V. M., Inozemtsev V. G., Yasentsev V. F. – M. : Transport, 1968. – 400 p.
7. Rules of traction calculations for train operation [Pravila tyagovykh raschetov dlya poezdnoj raboty]. 2016. – 510 p.
8. Ivanov P. Yu. Enhancement of passenger train braking system operational efficiency [Povyshenie effektivnosti raboty tormoznoj sistemy passazhirskih poezdov] / P. Yu. Ivanov, A. I. Romanovskiy, A. A. Khamnayeva, A. A. Korsun, A. S. Borutenko // Transport: science, technology, control [Transport: nauka, tekhnika, upravlenie]. 2020. № 3. P. 39–43. ISSN 0236-1914.
9. Khudonogov A. M. Control over sorting station operative processes through artificial neural networks [Upravlenie operativnymi protsessami raboty sortirovochnoj stantsii na osnove primeneniya iskusstvennykh nejronnykh setej]. A. M. Khudonogov, P. Yu. Ivanov, N. I. Manuilov, E. Yu. Dul'skiy // Bulletin of Petersburg university of railway transport [Izvestiya Peterburgskogo universiteta putej soobshheniya]. 2018. V. 15. № 1. P. 130–135. ISSN 1815-588X.
10. Ivanov P. Yu. Cutting down of power consumption of an electric locomotive in freight train pneumatic brake operation [Snizhenie energopotrebleniya elektrovoza pri upravlenii pnevmaticheskimi tormozami gruzovogo poezda]. P. Yu. Ivanov, A. A. Khamnayeva, A. A. M. Khudonogov / Development and operation of electrical complexes and power engineering systems and ground transport: Proceedings of 3rd International scientific and practical conference [Razrabotka i ekspluatatsiya elektrotekhnicheskikh kompleksov i sistem energetiki i nazemnogo transporta : M-ly 3-j Mezhdunarodn. nauchn.-prakt. konf.]. – 2018. – P. 143–151.
11. Popov V. L. Mechanics of contact interaction and physics of friction. From nanotribology to earthquake dynamics. – M.: Physmatlit [Mekhanika kontaktnogo vzaimodejstviya i fizika treniya. Ot nanotribologii do dinamiki zemletryaseniya. – M. : Fizmatlit]. 2013. 352 p. ISBN 978-5-9221-1443-1.
12. Inozemtsev V. G. Railway rolling stock brakes: questions and answers. – M. : Transport, 1987. – 3rd ed., stereotype [Tormoza zheleznodorozhnogo podvizhnogo sostava: voprosy i otvety. – M. : Transport, 1987. – 3-e izd., stereotip]. – 207 p.

Статья сдана в редакцию 8 августа 2020 года

Управление в технических системах

УДК 621.43.056

А. В. Гриценко, К. В. Глемба

Исследование энергетической эффективности бензинового ДВС при озонировании компонентов ТВС

UDC 621.43.056

A. V. Gritsenko, K. V. Glemba

Investigation of energy efficiency of petrol ice under ozonization of FAM components

Аннотация

Проведено теоретическое исследование с обоснованием процесса сгорания бензинового топлива в окружающей среде и в среде озона. Разработана методика проведения эксперимента с применением метода нагружения двигателя за счет использования мощности механических потерь исключенных из работы цилиндров. Экспериментальные исследования предусматривали определение влияния на основные эффективные показатели работы ДВС примеси озона в топливно-воздушную смесь, для чего использовался один из параметров – цикловой расход топлива. После анализа методов и средств контроля параметров работы ДВС оценивалось его состояние, для этого использовался компрессометр с предварительной опрессовкой цилиндров. При проведении эксперимента с целью нагружения двигателя выключаются из работы его третий и четвертый цилиндры. Результаты показали, что наибольшая экономичность топлива проявляется на оборотах коленвала с величинами 1450 и 3350 мин⁻¹, при которых удельный цикловой расход топлива имеет значения 1,35 и 1,27 мг/такт соответственно, что составляет 7,4 и 7,0 % от идентичных показателей без озонирования воздушной массы на тех же оборотах. В целом эффект озонирования компонентов топливно-воздушной смеси позволяет при меньшем расходе топлива развивать заданные обороты бензинового двигателя, таким образом повышая его энергетическую эффективность.

Ключевые слова: озонирование, топливно-воздушная смесь, энергетическая эффективность, топливная экономичность, метод нагружения двигателя.

DOI: 10.20291/2079-0392-2020-3-35-44

Abstract

Theoretical investigation with reasoning of petrol fuel combustion in the ambient and ozone medium was made. Methods of carrying out the experiment using the engine loading method due to application of power of mechanical losses of deactivated cylinders were worked out. Experimental studies envisage determination of influence of ozone additive into fuel air mix on the basic effective ICE performance, for this purpose cyclic fuel consumption parameter was used. After the analysis of ICE performance methods and control techniques, its condition was evaluated, for this purpose a compressor meter was used with preliminary pressurization of cylinders. During the experiment in order to load the engine its third and fourth cylinders were switched off. The results showed that the utmost fuel efficiency is found at crankshaft rotation values of 1450 and 3350 min⁻¹, when cyclic fuel consumption rate has values of 1,35 and 1,27 mg/cycle respectively, which makes 7,4 and 7,0 % from identical indicators without ozonization of air mass at the same rotations. In general, the effect of fuel air mix ozonization makes it possible to develop target petrol-operated engine rotations at smaller fuel consumption rate, this way increasing its energy efficiency.

Key words: ozonization, fuel air mix, energy efficiency, fuel efficiency, engine loading method.

DOI: 10.20291/2079-0392-2020-3-35-44

Статья рекомендована к публикации Ф. Г. Возмиловым, д-ром техн. наук, профессором Южно-Уральского государственного университета; E-mail: voznilov1944@mail.ru.

Александр Владимирович Гриценко, д-р техн. наук, профессор; кафедра «Автомобильный транспорт» Южно-Уральского государственного университета (НИУ); г. Челябинск, Россия. E-mail: alexgrits13@mail.ru. ORCID 0000-0002-7652-7912.

Константин Вячеславович Глемба, канд. техн. наук, доцент; кафедра «Автомобильный транспорт» Южно-Уральского государственного университета (НИУ); г. Челябинск, Россия. E-mail: glemba77@mail.ru. ORCID ID 0000-0001-7212-5388.

The article is recommended for publishing by F.G.Vozmilov, Doctor of tech. science, Professor, South-Ural state university. E-mail: voznilov1944@mail.ru.

Alexander Vladimirovich Gritsenko, Doctor of tech. science, Professor, «Motor transport» Chair, South Ural state university; Chelyabinsk, Russia. E-mail: alexgrits13@mail.ru. ORCID 0000-0002-7652-7912.

Konstantin Vyacheslavovich Glemba, Cand. of tech. science, Associate Professor, «Motor transport» Chair, South Ural state university; Chelyabinsk, Russia. E-mail: glemba77@mail.ru. ORCID ID 0000-0001-7212-5388.

В результате развития отрасли автомобилестроения повышаются нагрузочные характеристики двигателя. Повысить мощность ДВС на количественном и качественном уровне можно по-разному, например, за счет увеличения рабочего объема двигателя или плотности используемого двигателем воздуха, снижением механических потерь в трибосопряжениях и т.п. [1, 2]. В таких случаях нужно конструктивное вмешательство в узлы двигателя, однако можно и по-другому. Одно из новых направлений при исследовании параметров энергетической эффективности двигателя и экологической безопасности автотранспорта – изменение состава топливно-воздушной смеси (ТВС) применением в её составе смеси озона [3–5].

На основании предварительных исследований выдвинута гипотеза: повысить энергетические качества бензинового двигателя автомобиля можно за счет изменения окислительных свойств ТВС обработкой воздушной массы в среде озона. Для этого нужно повысить основные показатели работы ДВС автомобиля, применив озонирование компонентов ТВС.

Экспериментальные исследования предусматривают определение влияния на основные эффективные показатели работы ДВС примеси озона в ТВС. Исследовался двигатель модели ЗМЗ-4062.10 (с электронной системой управления). Нагружение ДВС осуществлялось отключателем электромагнитных форсунок [6, 7]. Достоверность результатов эксперимента определена сравнением с аналогичными [8–12].

Для оценки качества ТВС существуют прямые и косвенные методы. Прямые методы – химическая и физическая оценка ТВС, взятая из выпускного коллектора или прямо камеры сгорания. Косвенные – оценка измерения токсичности отработавших газов и относительной мощности отдельных цилиндров двигателя при последующем отключении отдельных цилиндров, оценка абсолютной мощности, измерение расхода топлива по длительности

впрыска электромагнитной форсунки за пройденный путь (средний, мгновенный, максимальный, минимальный), оценка скорости разгона отдельных цилиндров или всех цилиндров одновременно и расхода топлива специально устанавливаемым в систему топливоподачи расходомером, оценка концентрации кислорода в отработавших газах, измерение количества воздуха и топлива (и их соотношение), индизирование двигателей датчиками давления, оценка детонации топлива в цилиндрах [13, 14].

Анализ методов и средств контроля качества ТВС показал их основные недостатки: высокая трудоемкость подключения приборных средств, настройки и анализа полученной информации, низкая точность и достоверность приборных средств, сложность анализа полученной информации, ее обработки и использования, высокая стоимость [14].

Требования к способу контроля качества ТВС, используемому в данной работе, – метод оценки качества ТВС по изменению коэффициента коррекции и степени отклика цилиндров ДВС на единичное изменение коэффициента коррекции. Установлено, что в пределах 80 % при создании нагрузочных режимов двигатель работает с коэффициентом избытка воздуха $\alpha_v = 1,1$ (обедненная смесь) [14]. Для выхода на этот режим, согласно методике диагностирования топливной аппаратуры, необходимо отключить один цилиндр и, управляя дроссельной заслонкой, выйти на наиболее чувствительный режим диагностирования, который определяется степенью выключения цилиндров двигателя (выключение из работы до трех из четырех цилиндров), частотой поддерживаемых оборотов двигателя в 2000 мин⁻¹, степенью открытия дроссельной заслонки (соответствующей частоте вращения 2000 мин⁻¹). Изменяя коэффициент коррекции подачи топлива и измеряя расход топлива, можно найти его значение, соответствующее минимальному расходу топлива и оптимальному значению α_v [14].

В проведенном эксперименте компьютер через управляющее устройство с электронным блоком управления ДВС получал и фиксировал информацию (с возможностью корректировки процесса). Основная функция управления – возможность отключения цилиндров двигателя. Для озонирования воздушной массы ТВС использовался генератор озона (озонатор) производительностью 10 г/ч, который синтезирует озон (O_3) – аллотропную модификацию кислорода. Синтез озона в основном происходит из молекулярного кислорода (O_2). Генератор озона устанавливается максимально близко к камере сгорания – во впускном патрубке двигателя между воздушным фильтром и дроссельной заслонкой, так как при озонировании происходит легкообратимая эндотермическая реакция [3].

Для оценки основных эффективных показателей работы ДВС использовался один из его параметров – цикловой расход топлива g_e (мг/такт). В эксперименте необходимо было получить в режиме нагружения ДВС зависимость изменения циклового расхода топлива g_e от величины его оборотов n (мин^{-1}) с работающим озонатором и без него. Алгоритм проведения эксперимента представлен на рис. 1.

После анализа методов и средств контроля параметров работы ДВС оценивалось его состояние, для этого использовался компрессометр с предварительной опрессовкой цилиндров. Для оценки влияния озона на энергетические показатели ДВС необходимо создать нагрузку на его цилиндры. Зачастую для этого используют нагрузочный стенд с регулированием нагрузки (моторный динамометрический стенд). Однако в рамках настоящих исследований достаточно использовать мощность механических потерь некоторых цилиндров ДВС, исключаемых из работы [15, 16].

При проведении эксперимента с целью нагружения двигателя выключаются из работы третий и четвертый цилиндры, при этом наблюдается

неустойчивая работа двигателя, поэтому для устойчивой работы ДВС дроссельную заслонку необходимо немного приоткрыть. Одновременно записываются показания циклового расхода топлива, обороты двигателя и др. Обороты повышаются плавно, открытием дроссельной заслонки, а снижаются – её закрытием [7, 14]. Первая запись данных выполняется в режиме с отключенным генератором озона, вторая – с включенным, а его питание производится от внешнего источника (мощность потребления до 70 Вт, зависит от температуры рабочих элементов).

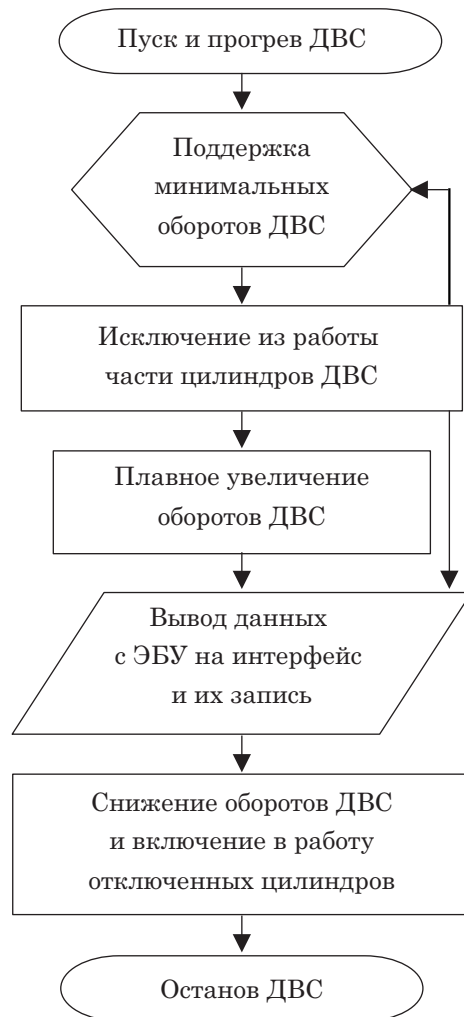


Рис. 1. Блок-схема алгоритма проведения эксперимента

Методика нагружения двигателя внутренними силами трения: при отключении некоторых цилиндров двигатель работает на установившемся режиме, если мощность механических потерь равняется индикаторной мощности оставшихся в работе цилиндров. Мощность механических потерь $N_{\text{МП}}$ (кВт), определенная заводом-изготовителем, зависит от величины оборотов коленчатого вала двигателя, что графически представлено рис. 2.

Механические потери в двигателе можно найти из выражения [14, 15]:

$$N_{\text{МП}} = \sum_{z=1}^n N_{i_z} = N_{i_1} + N_{i_2} + N_{i_3} + N_{i_4}, \quad (1)$$

где $N_{\text{МП}}$ – мощность механических потерь в двигателе, определенная заводом-изготовителем, кВт; z – номер цилиндра; j – количество всех цилиндров, ед.; N_{i_z} – индикаторная мощность z -го цилиндра, кВт; N_{i_1} , N_{i_2} , N_{i_3} , N_{i_4} – индикаторная мощность 1-го, 2-го, 3-го и 4-го цилиндров соответственно, кВт.

Рассмотрим вариант при условии $N_{i_1} = N_{i_2} = N_{i_3} = N_{i_4}$, тогда запишем:

$$N_{i_z} = \frac{N_{\text{МП}}}{j}. \quad (2)$$

В настоящем исследовании для создания нагрузки на двигатель предполагается исключить из работы два

из четырех имеющихся у него цилиндров с сохранением его скоростного режима работы за счёт большего открытия дроссельной заслонки. Индикаторная мощность оставшихся в работе двух цилиндров при отключении остальных будет равна мощности механических потерь и она должна увеличиться. С учетом этого выражение (2) примет вид

$$N_{i_z} = \frac{N_{\text{МП}}}{(j-k)}, \quad (3)$$

где k – количество исключенных из работы цилиндров, ед.

Также можно дополнительно отключить часть циклов впрыска топлива в работающих цилиндрах [15–18], но в настоящих исследованиях этот метод не использовался.

Определим максимально возможное количество топлива и воздушной массы, которое двигатель ЗМЗ-4062.10 способен использовать. При объеме цилиндров 2,28 л используется объем 1,14 л для всасывания ТВС за один оборот коленвала, когда совершаются два такта впуска [4]. Для качественного и полного процесса окисления ТВС необходимо соблюсти правильный стехиометрический состав ТВС (для 1 кг топлива (бензина) требуется 14,7 кг воздуха) [1–5]. Соотносим килограмм к литрам: 1 кг топлива (расчетная плотность 750 г/л при +10 °C) → 1,333 л, 1 кг воздуха (плотность 1247 г/м³

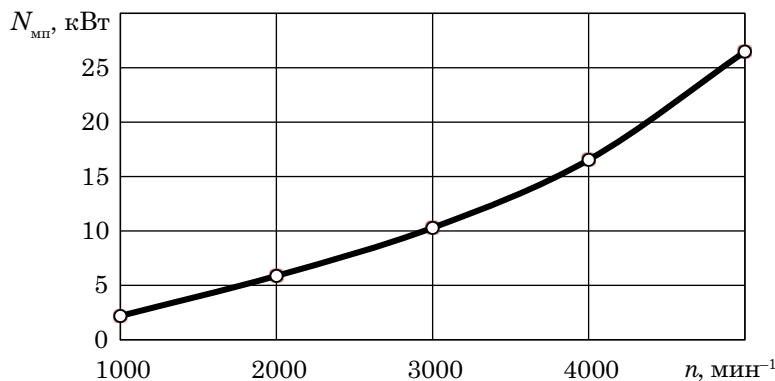
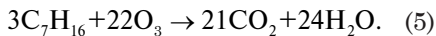
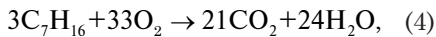


Рис. 2. Зависимость мощности механических потерь $N_{\text{МП}}$ (кВт) от частоты вращения коленвала n (мин⁻¹) для двигателя ЗМЗ-4062.10

при $+10\text{ }^{\circ}\text{C}$) $\rightarrow 802\text{ л}$. Соотношение ТВС: $\lambda = 1\text{ кг} \times 1,1333\text{ л/14,7 кг} \times 802\text{ л} = 1,333/11\,789$. Рассчитаем соотношение бензина и воздуха в ТВС из расчета на 1 л бензина: $\lambda = 1/8844$. Занимаемый объем ТВС будет равен 8845 л. Далее рассчитаем потребление компонентов ТВС. Максимальный расход топлива за один оборот коленвала: $1,14\text{ л} \times 1\text{ л/8845 л} = 0,129 \times 10^{-3}\text{ л}$. Соотносим это значение к граммам: $0,129 \times 10^{-3}\text{ л} \rightarrow 0,0967\text{ г}$. Максимальный расход воздушной массы за один оборот коленвала: $1,14\text{ л} \times 8844\text{ л/8845 л} = 1,1399\text{ л}$. Соотносим к граммам: $1,1399\text{ л} \rightarrow 1,421\text{ г}$ [4, 5].

При изучении процесса окисления бензинового топлива для дальнейших расчетов остановились на выборе гептана как углеводорода со средним октановым числом. Сравним уравнения окисления гептана кислородом (4) и озоном (5) в воздушной смеси [4, 19]:



Находим молярную массу гептана: $M(\text{C}_7\text{H}_{16}) = 7 \times 12,011 + 16 \times 1,008 = 100,205\text{ г/моль}$. Определяем количество и массу вещества [4, 19]: $\nu(3(\text{C}_7\text{H}_{16})) = 3\text{ моль}$; $m(3(\text{C}_7\text{H}_{16})) = 300,615\text{ г}$. Определим количество кислорода $V(\text{O}_2)$,

необходимого для полного сгорания: $33(\text{O}_2) \times 22,4\text{ л} = 739,2\text{ л}$ ($22,4\text{ л}$ – молярная масса газа при нормальных условиях), строим соотношение $300,615\text{ г/793,2 л} = 0,0636\text{ г/V}(\text{O}_2)$, отсюда $V(\text{O}_2) = 0,1564\text{ л}$. Рассчитаем количество воздуха $V_{\text{в}}$, необходимого для полного сгорания бензина: $V_{\text{в}} = 0,1564\text{ л} \times 100\%/20,948\% = 0,7466\text{ л}$. Рассчитаем количество озона $V(\text{O}_3)$, необходимого для полного сгорания бензина: $22(\text{O}_3) \times 22,4\text{ л} = 492,8\text{ л}$, строим соотношение $300,615\text{ г/492,8 л} = 0,0636\text{ г/V}(\text{O}_3)$, отсюда $V(\text{O}_3) = 0,1043\text{ л}$. Результаты расчетов вносим в таблицу сравнения относительного количества и объемов окисления топлива с кислородом или озоном в ТВС.

Сравнение относительного количества и объемов окисления топлива с кислородом или озоном в ТВС

Наименование, ед.	Вид вещества и его величина	
	кислород	озон
Масса топлива, г	0,064	
Объем вещества в воздушной массе, л	0,157	0,104
Объем воздушной массы, л	0,747	

Из таблицы видно, что для сгорания одного и того же количества бензина требуется почти в 1,5 раза меньший

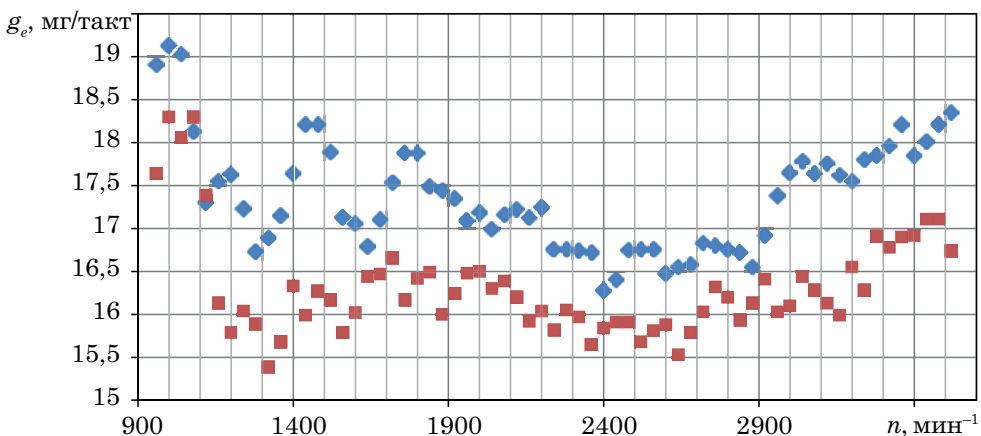


Рис. 3. Экспериментальные данные зависимости удельного расхода топлива от оборотов двигателя

объем озонированной воздушной среды, чем традиционной.

По алгоритму блок-схемы (рис. 1) проведен эксперимент. Результаты представлены на рис. 3, где по вертикальной оси расположен показатель цикловой подачи топлива g_e , по горизонтальной – обороты двигателя n . Синим маркером отмечены опытные данные, полученные с отключенным озоноатором, красным – со включенным озоноатором. Анализ расположения опытных данных показывает, что использование озона в ТВС позволяет затрачивать меньшее количество топлива для достижения заданных оборотов, что видно по ниже расположенным точкам (отмечены красным маркером); это говорит о снижении цикловой подачи топлива.

С помощью аппроксимации опытных данных (рис. 3) построены линии тренда (рис. 4) – зависимости изменения циклового расхода топлива от оборотов двигателя в режимах без примеси озона в ТВС (y_1) и с его применением (y_2).

Уравнения, описывающие зависимости циклового расхода от оборотов

двигателя, представляют собой полиномы 4-го порядка и имеют вид

$$y_1 = 4 \cdot 10^{-13} x^4 - 3 \cdot 10^{-9} x^3 + 9 \cdot 10^{-6} x^2 - 0,0144x + 25,98; \quad (6)$$

$$y_2 = 10^{-12} x^4 - 9 \cdot 10^{-9} x^3 + 3 \cdot 10^{-5} x^2 - 0,0435x + 39,25. \quad (7)$$

С использованием выражений (6) и (7) построена зависимость $\Delta g_e = f(n)$, показывающая топливную экономичность в виде разницы между удельными цикловыми расходами топлива в режимах работы двигателя с применением озона и без него (рис. 5).

Анализ зависимости (рис. 5) показал, что наибольшая экономия топлива за такт приходится на обороты двигателя 1450 и 3350 мин⁻¹, при которых удельный цикловой расход топлива имеет значения 1,35 и 1,27 мг/такт соответственно, что составляет 7,4 и 7,0 % от идентичных показателей без озонирования воздушной массы ТВС на тех же оборотах [4, 5, 19, 20].

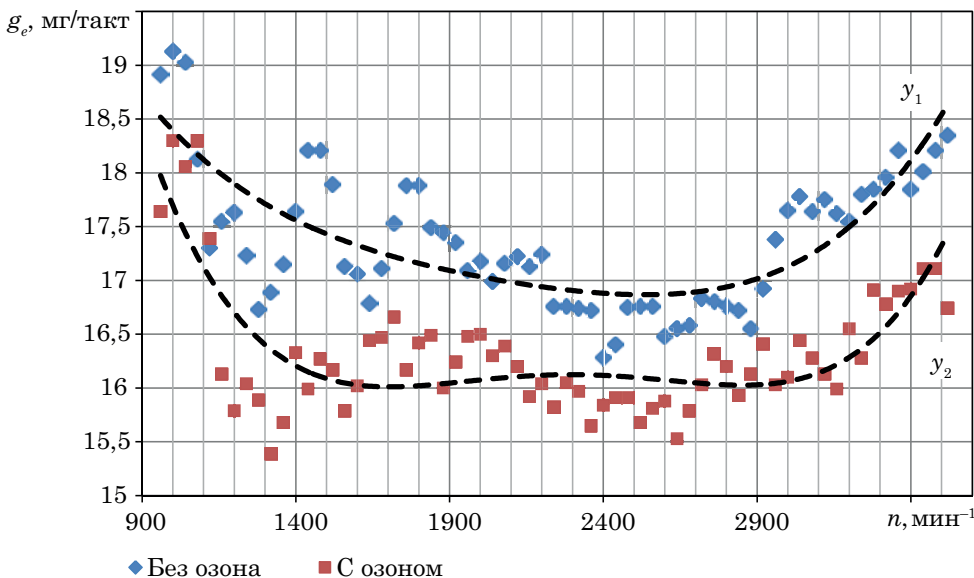


Рис. 4. Результат аппроксимации экспериментальных данных y_1 и y_2 – полиномы 4-го порядка, описывающие процесс без примеси озона в ТВС и с его применением соответственно

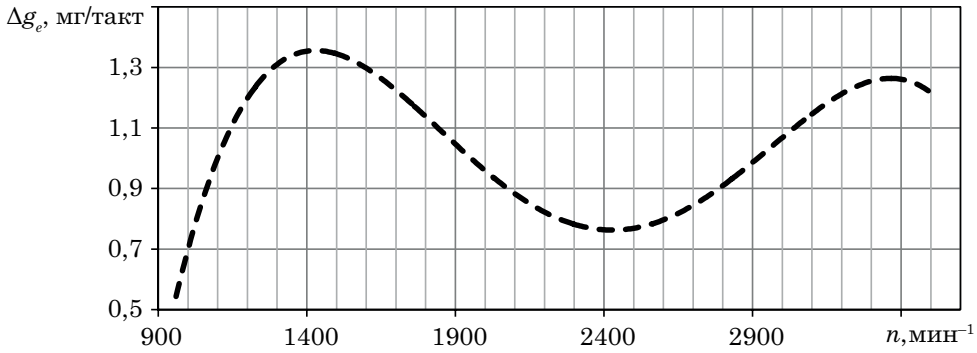


Рис. 5. Зависимость разницы между удельными цикловыми расходами топлива с применением озона и без него при разных оборотах двигателя

Выводы

Определено, что среди рассмотренных способов повышения энергетической эффективности ДВС наиболее прост метод изменения качественного состава компонентов ТВС, т.к. при этом не изменяется конструкция ДВС. Такой эффект может быть достигнут различными путями, но использование присадок и химических регуляторов горения требует разработки соответствующих химических веществ [19], а использование смеси озона предполагает только разработку и размещение рабочих элементов озонатора в двигателе. Помимо улучшения основных эффективных показателей работы ДВС, применение озона положительно влияет на его экологические качества [20, 21].

В ходе разработки методики эксперимента проведено теоретическое исследование процесса сгорания бензинового топлива в окружающей среде и в среде озона. Согласно расчетам, для сгорания одного и того же количества топлива требуется объем озона на треть меньше объема кислорода. Разработана методика проведения эксперимента с применением метода нагружения двигателя. Проведенные экспериментальные исследования показали, что наибольшая экономия топлива за такт приходится на обороты двигателя 1450 и 3350 мин^{-1} , при которых удельный цикловой расход топлива имеет

значения 1,35 и 1,27 мг/такт соответственно, что составляет 7,4 и 7,0 % от идентичных показателей без озонирования воздушной массы ТВС на тех же оборотах. Эффект озонирования компонентов ТВС позволяет при меньшем цикловом расходе топлива развить требуемые обороты ДВС, повышая таким образом его скоростную характеристику. Сравнение результатов настоящих исследований с аналогичными показывает положительную динамику, так как топливная экономичность в схожих направлениях составляет прирост в пределах 3–15% [3–5, 20].

Невозможно однозначно определить перевес влияния положительных или отрицательных качеств озона. Озон оказывает дезинфицирующий эффект и способен разрушать клетки бактерий, резистентных к мощнейшим антибиотикам. Однако превышение концентрации озона в воздухе увеличивает смертность от сердечно-сосудистых заболеваний. Косвенный эффект озонирования компонентов ТВС – снижение концентрации ядовитого для человека угарного газа СО. Для установки камеры озонирования в двигатель автомобиля необходимо обеспечить герметичность соединений с целью невозможности проникновения озона за его пределы, а также на программном уровне обеспечить отключение камеры озонирования сразу после остановки ДВС. ■

Литература

1. Зеер В. А., Мартынов А. А. Способ улучшения топливно-экономических и экологических показателей автотранспортных средств // Вестник Иркутского государственного технического университета, 2008. № 1 (33). С. 71–75. ISSN 1814-3520, ISSN 2500-1590.
2. Грабовский А. А., Семенов А. А., Швецов А. В. Анализ существующих и перспективных технических решений по двигателям внутреннего сгорания // Вестник Пензенского государственного университета, 2015. № 4 (12). С. 158–168. ISSN 2410-2083.
3. Pinazzi P. M. Potential of ozone to enable the low load operation of a Gasoline Compression Ignition engine // Reactive fluid environment. Université d'Orléans, 2018. P. 205.
4. Полуянович Н. К., Притула А. Н. Проектирование адаптивного устройства озонирования воздуха системы топливоподачи ДВС // Известия ЮФУ, 2012. № 2. С. 251–257. ISSN 1999-9429.
5. Пилипенко О. М., Васильченко В. Ю., Подгорный Н. В., Пилатов А. Ю. Синтез системы зажигания автомобиля, работающего на озонированном топливе // Наука и техника. Минск : БНТУ, 2015. № 1. С. 48–52. ISSN. 2227-1031.
6. Гриценко А. В., Куков С. С. Разработка эффективных средств и методов диагностирования двигателей внутреннего сгорания // Вестник ЧГАА, 2011. Т. 58. С. 111–117. ISSN. 2587-8824.
7. Гриценко А. В., Куков С. С. Обоснование и разработка средств и методов диагностирования двигателей внутреннего сгорания автомобилей : Междун. науч.-техн. конф. // Челябинск : ЧГАА, 2011. С. 7–11. ISBN 978-5-88156-595-4.
8. Зеер В. А. Влияние способа отключения части цилиндров на показатели поршневых двигателей // Вестник Красноярского государственного аграрного университета, 2007. № 2. С. 233–237. ISSN 1819-4036.
9. Марков В. А., Девянин С. Н., Савастенко Э. А., Савастенко А. А. Отключение цилиндров как способ улучшения топливной экономичности бензиновых двигателей // Автомобильная промышленность, 2014. № 1. С. 5–8. ISSN 0005-2337.
10. Bemman Y., Frei T., Jones C., and Keck M. Passive Exhaust System With Cylinder Deactivation // SAE Technical Paper 2005-01-2351, 2005. ISSN 0148-7191.
11. Leone T. and Pozar M. Fuel Economy Benefit of Cylinder Deactivation – Sensitivity to Vehicle Application and Operating Constraints // SAE Technical Paper 2001-01-3591, 2001. ISSN 0148-7191.
12. Douglas K., Milovanovic N., Turner J., and Blundell D. Fuel Economy Improvement Using Combined CAI and Cylinder Deactivation (CDA) – An Initial Study // SAE Technical Paper 2005-01-0110, 2005. ISSN 0148-7191.
13. Гриценко А. В., Глемба К. В., Ларин О. Н. Совершенствование методов, средств и процессов тестового диагностирования систем ДВС // Известия Волгоградского государственного технического университета, 2014. № 18 (145). С. 49–52. ISSN 1990-5297.
14. Гриценко А. В. Разработка методов тестового диагностирования работоспособности систем питания и смазки двигателей внутреннего сгорания : дис. ... на соиск. научн. ст. д-ра техн. наук. – Челябинск, 2014. 397 с.
15. Гриценко А. В. Диагностирование систем двигателя внутреннего сгорания бестормозным методом с перераспределением цилиндровых нагрузок // Вестник ЧГАА, 2011. Т. 58. С. 108–110. ISSN 2587-8824.
16. Журавлев С. С., Зубарев К. В. Апробация способа управления мощностью ДВС отключением цилиндров // Техника и технологии строительства, 2015. № 3 (3). С. 14–20. ISSN 2412-8406.
17. Gritsenko A., Kukov S., Glemba K. Theoretical Underpinning of Diagnosing the Cylinder Group During Motoring // Procedia Engineering, 2016. Pp. 1182–1187. ISSN 1877-7058.
18. Gritsenko A., Plaksin A., Glemba K. Experimental Studies of Cylinder Group State During Motoring // Procedia Engineering, 150, 2016. Pp. 1188–1191. ISSN 1877-7058.
19. Зорин А. В., Колдаев Н. В., Краснокутский С. А., Пермяков В. В., Усольцев А. А. Химические регуляторы горения (испытания в бензиновых ДВС) // Территория новых возможностей. Вестник Владивостокского государственного университета экономики и сервиса, 2011. № 3 (12). С. 122–127. ISSN 2073-3984.
20. Pinazzi P. and Foucher F. Potential of Ozone to Enable Low Load Operations of a Gasoline Compression Ignition (GCI) Engine // SAE Technical Paper 2017-01-0746, 2017. ISSN 0148-7191.

21. Глемба К. В. Повышение экологических показателей работы ДВС путем молекулярной обработки компонентов топливовоздушной смеси : Междун. научн.-технич. конф. // Челябинск : ЧГАА, 2011. С. 55–61. ISBN 978-5-88156-595-4.

Literature

1. Zeyer V. A., Martynov A. A. A way to improve fuel efficiency and ecology indicators of motor vehicles // Herald of Irkutsk state technical university [Sposob uluchsheniya toplivno-ekonomicheskikh i ekologicheskikh pokazateley avtotransportnykh sredstv // Vestnik Irkutskogo gosudarstvennogo tekhnicheskogo universiteta]. 2008, № 1 (33). P. 71–75. ISSN 1814-3520, ISSN 2500-1590.
2. Grabovsky A. A., Semyonov A. A., Shvetsov A. V. Analysis of existing and perspective technical decisions on internal combustion engines // Herald of Penza state university [Analiz sushhestvuyushchih i perspektivnykh tekhnicheskikh reshenij po dvigatelyam vnutrennego sgoraniya // Vestnik Penzenskogo gosudarstvennogo universiteta]. 2015. № 4 (12). P. 158–168. ISSN 2410-2083.
3. Pinazzi P. M. Potential of ozone to enable the low load operation of a Gasoline Compression Ignition engine // Reactive fluid environment. Université d'Orléans, 2018. P. 205.
4. Poluyanovich N. K., Pritula A. N. Project development of an adaptive device for ICE fuel input air ozonization // YuFU Bulletin [Proektirovanie adaptivnogo ustrojstva ozonirovaniya vozduha sistem toplivopodachi DVS // Izvestiya YuFU]. 2012. № 2. P. 251–257. ISSN 1999-9429.
5. Pilipenko O. M., Vasilchenko V. Yu., Podgorny N. V., Pilatov A. Yu. Synthesis of ignition system of an ozonized fuel-powered motor vehicle // Science and Engineering. Minsk : BNTU [Sintez sistemy zazhiganiya avtomobilya, rabotayushhego na ozonirovannom toplive // Nauka i tekhnika. Minsk : BNTU], 2015. № 1. P. 48–52. ISSN. 2227-1031.
6. Gritsenko A. V., Kukov S. S. Working out of effective techniques and methods of internal combustion engines diagnostics // ChSAA [Razrabotka effektivnykh sredstv i metodov diagnostirovaniya dvigatelej vnutrennego sgoraniya // Vestnik ChGAA]. 2011. V. 58. P. 111–117. ISSN. 2587-8824.
7. Gritsenko A. V., Kukov S. S. Reasoning and working out of techniques and methods of internal combustion engines diagnostics : Internat. sci.-tech. conf. // Chelyabinsk: ChSAA [Obosnovanie i razrabotka sredstv i metodov diagnostirovaniya dvigatelej vnutrennego sgoraniya avtomobilej : Mezhdun. nauch.-tekhn. konf. // Chelyabinsk : ChGAA]. 2011. P. 7–11. ISBN 978-5-88156-595-4.
8. Zeyer V. A. Effect of partial deactivation of cylinders on reciprocating motor indicators // Herald of Krasnoyarsk state agrarian university [Vliyanie sposoba otklyucheniya chasti tsilindrov na pokazateli porshnevnykh dvigatelej // Vestnik Krasnoyarskogo gosudarstvennogo agrarnogo universiteta]. 2007. № 2. P. 233–237. ISSN. 1819-4036.
9. Markov V. A., Devyanin S. N., Sevastenko E. A., Sevastenko A. A. Deactivation of cylinders as a way to improve fuel efficiency of petrol engines // Motor Industry [Otklyuchenie tsilindrov kak sposob uluchsheniya toplivnoj ekonomichnosti benzinovykh dvigatelej // Avtomobil'naya promyshlennost']. 2014. № 1. P. 5–8. ISSN. 0005-2337.
10. Bemman Y., Frei T., Jones C., and Keck M. Passive Exhaust System With Cylinder Deactivation // SAE Technical Paper 2005-01-2351, 2005. ISSN 0148-7191.
11. Leone T. and Pozar M. Fuel Economy Benefit of Cylinder Deactivation – Sensitivity to Vehicle Application and Operating Constraints // SAE Technical Paper 2001-01-3591, 2001. ISSN 0148-7191.
12. Douglas K., Milovanovic N., Turner J., and Blundell D. Fuel Economy Improvement Using Combined CAI and Cylinder Deactivation (CDA) – An Initial Study // SAE Technical Paper 2005-01-0110, 2005. ISSN 0148-7191.
13. Gritsenko A. V., Glemba K. V., Larin O. N. Improvement of methods, techniques and processes of ICE system test diagnostics // Bulletin of Volgograd state technical university [Sovershenstvovanie metodov, sredstv i protsessov testovogo diagnostirovaniya sistem DVS // Izvestiya Volgogradskogo gosudarstvennogo tekhnicheskogo universiteta], 2014. № 18 (145). P. 49–52. ISSN 1990-5297.
14. Gritsenko A. V. Development of internal combustion engine feeding and lubrication system operability test diagnostics methods: dis. ... for Dr of tech. sci. degree. – Chelyabinsk [Razrabotka metodov testovogo diagnostirovaniya rabotosposobnosti sistem pitaniya i

- smazki dvigatelej vnutrennego sgoraniya : dis. ... na soisk. nauchn. st. d-ra tekhn. nauk. – Chelyabinsk]. 2014. 397 p.
15. Gritsenko A. V. Diagnostics of internal combustion engine systems using the unbraked method with redistribution of cylinder loads // Herald of ChSAA [Diagnostirovanie sistem dvigatelya vnutrennego sgoraniya bestormoznym metodom s pereraspredeleniem tsilindrovyyh nagruzok // Vestnik ChGAA]. 2011. V. 58. P. 108–110. ISSN 2587-8824.
 16. Zhuravlev S. S., Zubarev K. V. Aprobation of ICE power control using deactivation of cylinders // Engineering and technology of construction [Aprobatsiya sposoba upravleniya moshhnosti DVS otklyucheniem tsilindrov // Tekhnika i tekhnologii stroitel'stva]. 2015. № 3 (3). P. 14–20. ISSN 2412-8406.
 17. Gritsenko A., Kukov S., Glemba K. Theoretical Underpinning of Diagnosing the Cylinder Group During Motoring // Procedia Engineering, 2016. Pp. 1182–1187. ISSN 1877-7058.
 18. Gritsenko A., Plaksin A., Glemba K. Experimental Studies of Cylinder Group State During Motoring // Procedia Engineering, 150, 2016. Pp. 1188–1191. ISSN 1877-7058.
 19. Zorin A. V., Koldayev N. V., Krasnokutsky S. A., Permyakov V. V., Usoltsev A. A. Chemical regulators of burning (tests in petrol ICE) // Territory of new possibilities. Herald of Vladivostok state university of economics and service [Himicheskie regulatory goreniya (ispytaniya v benzinovykh DVS) // Territoriya novykh vozmozhnostey. Vestnik Vladivostokskogo gosudarstvennogo universiteta ekonomiki i servisa]. 2011. № 3 (12). P. 122–127. ISSN 2073-3984.
 20. Pinazzi P. and Foucher F. Potential of Ozone to Enable Low Load Operations of a Gasoline Compression Ignition (GCI) Engine // SAE Technical Paper 2017-01-0746, 2017. ISSN 0148-7191.
 21. Glemba K. V. Improvement of ecological indicators of ICE performance using molecular treatment of fuel air mix components: Internat. sci.-tech. conf. // Chelyabinsk: ChSAA [Povyshenie ekologicheskikh pokazatelej raboty DVS putem molekulyarnoy obrabotki komponentov toplivovozdushnoy smesi : Mezhdun. nauchn.-tekhnich. konf. // Chelyabinsk : ChGAA]. 2011. P. 55–61. ISBN 978-5-88156-595-4.

Статья сдана в редакцию 17 августа 2020 года

С. И. Носков, И. П. Врублевский, В. О. Заянчукская

Применение интервального регрессионного анализа для моделирования объектов транспорта

S. I. Noskov, I. P. Vrublevskiy, V. O. Zayanchukovskaya

Application of interval regression analysis for modelling of transport objects

Аннотация

Рассмотрены вопросы применения методов регрессионного анализа для моделирования сложных объектов, обрабатываемая информация для которых задана с интервальной неопределенностью различного характера, вызванная рядом причин, в частности, сбоями в работе измерительного оборудования, ошибками в деятельности статистических служб, неоднозначностью действующих методов фиксации результатов функционирования анализируемых объектов. Решены задачи комплексного сравнения полученных результатов с традиционными регрессионными аналогами – методами наименьших квадратов и модулей, антиробастного оценивания параметров регрессионных моделей. Исследования проведены в рамках гипотезы о возможном наличии в исходных данных возможных двусторонних однопроцентных погрешностей. Наряду с общепризнанными методами регрессионного анализа в работе используется технология интервальной обработки данных. Приводятся регрессионные модели грузоперевозок для Красноярской железной дороги. Производится краткий анализ разработанных моделей, указывающий на возможность существенного изменения их параметров при смене метода оценивания. Окончательное решение относительно выбора конкретной модели для ее последующего практического применения исследователю должен принимать исходя из всего комплекса формальных и содержательных характеристик.

Ключевые слова: антиробастное оценивание параметров, интервальная неопределенность данных, квази-оценки, метод наименьших квадратов, метод наименьших модулей, регрессионная модель.

DOI: 10.20291/2079-0392-2020-3-45-52

Abstract

The article looks upon issues of application of regression analysis methods for modeling of complex objects, the process information for which is given with interval indefiniteness of different character caused by a number of reasons, in particular, malfunctioning of measuring equipment, mistakes of statistical service, ambiguity of existent methods of fixation of results of the objects under analysis.

The problems of integrated comparison of the obtained results with conventional regression analogues are solved – least square and module methods, anti – crash assessment of regression model parameters. The studies are conducted within the hypothesis about possible availability of bilateral one percent error rate in the source data. Along with generally accepted methods of regression analysis the technology of interval data processing is used in the paper. Regression models of freight traffic for Krasnoyarsk railway are given. A brief analysis of developed models indicating the possibility of considerable change of their parameters in case of change of the assessment method is made. The final decision concerning choice of a specific model for its subsequent practical application should be made by a researcher with consideration of the whole set of formal and content characteristics.

Key words: anti-crash assessment of parameters, interval indefiniteness of data, quasi-assessments, least-square method, method of least modules, regression model.

DOI: 10.20291/2079-0392-2020-3-45-52

Статья рекомендована к публикации А. В. Мартыненко, канд. техн. наук, доцентом Уральского государственного университета путей сообщения. E-mail: Amartynenko@usurt.ru.

Сергей Иванович Носков, д-р техн. наук, профессор; кафедра «Информационные системы и защита информации» Иркутского государственного университета путей сообщения; Иркутск, Россия. E-mail: sergey.noskov.57@mail.ru. ORCID 0000-0003-4097-2720.

Иван Петрович Врублевский, начальник технического отдела; Красноярская дирекция управления движением, структурное подразделение Центральной дирекции управления движением – филиала ОАО «РЖД»; Красноярск, Россия. E-mail: vrublevskiyip@mail.ru. ORCID 0000-0002-5376-1044.

Виктория Олеговна Заянчукская, зав. лабораторией «Специальные средства и методы защиты информации»; кафедра «Информационные системы и защита информации» Иркутского государственного университета путей сообщения; Иркутск, Россия. E-mail: viktoriya_zayanchukovskaya@mail.ru. ORCID 0000-0001-5623-6440.

The article is recommended for publishing by A. V. Martynenko, Cand. of tech. sci., Associate Professor, Ural state university of railway transport. E-mail: Amartynenko@usurt.ru.

Sergey Ivanovich Noskov, Doctor of tech. sci., Professor, «Information systems and information protection» Chair, Irkutsk state university of railway transport; Irkutsk, Russia. E-mail: sergey.noskov.57@mail.ru. ORCID 0000-0003-4097-2720.

Ivan Petrovich Vrublevskiy, Chief of technical department; Krasnoyarsk Traffic Management Directorate, structural subdivision of Central Traffic Management Directorate – branch of Russian Railways; Krasnoyarsk, Russia. E-mail: vrublevskiyip@mail.ru. ORCID 0000-0002-5376-1044.

Viktoriya Olegovna Zayanchukovskaya, Chief of laboratory «Special Tools and Methods of Information Protection»; «Information systems and information protection» Chair, Irkutsk state university of railway transport; Irkutsk, Russia. E-mail: viktoriya_zayanchukovskaya@mail.ru. ORCID 0000-0001-5623-6440.

Один из наиболее действенных способов моделирования различного рода систем, в частности, технических, основывается на методах анализа данных. Вначале строится адекватная модель анализируемого объекта с тщательной ее верификацией на основе сложившейся системы критериев адекватности. Эта модель затем применяется для решения аналитических и прогнозных проблем. Последние могут иметь как нормативный, так и дескриптивный характер, предполагающий формирование прогнозных стратегий относительно задания диапазонов значений входных факторов и последующий расчет соответствующих выходных модельных характеристик [1].

Моделирование сложных объектов не всегда связано с обработкой определенной количественной информации, тем более в период, характеризующийся разного рода сбоями в деятельности структур, ответственных за сбор, хранение и передачу информации. Эти соображения в полной мере относятся и к объектам железнодорожного транспорта. Цель работы состоит в построении и сравнительном анализе оценок параметров и значений критериев адекватности точечной и интервальной регрессионных моделей эксплуатационных показателей железнодорожного транспорта. Применение методов интервального моделирования может быть вызвано вероятной неопределенностью в обрабатываемой статистической информации, возникающей вследствие указанных причин.

Построение регрессионных моделей по интервальной информации

Рассмотрим линейное регрессионное уравнение:

$$y_k = \sum_{i=1}^m \alpha_i x_{ki} + \varepsilon_k, \quad k = \overline{1, n}, \quad (1)$$

где y – выходная, а x_i – i -я входная переменные; α_i – i -й подлежащий оцениванию параметр; ε_k – ошибки аппрок-

симации; k – номер наблюдения; n – их число (длина выборки).

Представим уравнение (1) в векторной форме:

$$y = X\alpha + \varepsilon, \quad (2)$$

где $y = (y_1, \dots, y_n)^T$; $\alpha = (\alpha_1, \dots, \alpha_m)^T$; $\varepsilon = (\varepsilon_1, \dots, \varepsilon_n)^T$; $X - n \times m$ – матрица с компонентами x_{ki} .

Классическая задача регрессионного анализа состоит в расчете неизвестного вектора параметров α по известной выборке (X, y) .

Представительный арсенал методов верификации параметров уравнения (2) предполагает поиск так называемых L_v – оценок, вычисляемых посредством минимизации функций [1–3]:

$$J_v(\alpha) = \sum_{k=1}^n |\varepsilon_k|^v. \quad (3)$$

Методом оценивания при $v = 2$ в (3) является метод наименьших квадратов (МНК), при $v = 1$ – метод наименьших модулей (МНМ), при $v \rightarrow \infty$ – метод антиробастного оценивания (МАО) [1–3]. Следует обратить внимание на интересные свойства этих оценок, а именно, использование МНМ при оценивании параметров уравнения (1) приводит к равенству нулю m ошибок аппроксимации [4], применение же МАО – к не меньшим, чем число $m + 1$, максимальным по модулю одинаковым ошибкам [5].

Пусть в силу разных причин, в том числе указанных выше, выборка данных имеет не обычный, точечный, а интервальный характер:

$$([X^-, X^+], [y^-, y^+]). \quad (4)$$

Это означает, что имеют место включения

$$x_{ki} \in [x_{ki}^-, x_{ki}^+], \quad y_k \in [y_k^-, y_k^+], \quad k = \overline{1, n}, \quad i = \overline{1, m},$$

причем любые соображения, в том числе вероятностные, уточняющие расположение чисел x_{ki} , y_k внутри или на границах указанных интервалов, отсутствуют.

Вопросы обработки информации интервального характера рассматриваются в рамках относительно молодой области математики – интервального анализа (см., например, [1, 6–19]). Так, в работах [1, 6–11] исследуются вопросы вычислительной сложности решения центральной проблемы интервальной математики – формального описания множеств решений интервальной системы линейных алгебраических уравнений (ИСЛАУ). Эти множества могут быть определены различными способами в зависимости от того, какими кванторами связаны коэффициенты матрицы и правой части ИСЛАУ. В [9, 10] изучаются интервальные задачи модального управления и распознавания разрешимости ИСЛАУ. Работы [12–15] посвящены описанию прикладных приложений интервальных результатов для решения широкого круга задач, связанных, в том числе с анализом данных. В [16] установлена связь между максимальными внутренними интервальными оценками множеств решений интервальных систем и решения уравнения дуализации в интервальной арифметике Каухера. В [17] ИСЛАУ представлена как модель неточных систем линейных алгебраических уравнений. В [18] предложен инновационный подход к интервальному анализу. В работе [19] описаны так называемые внутренние решения интервальных систем.

В работах [1, 20] при интервальном задании информации только для объясняющей переменной, то есть при $X^- = X^+ = X$ в (4) предлагается искать так называемую квазиоценку параметров уравнения (2) в виде $\alpha = \beta - \gamma$, где вектора β и γ размерности m являются частью решения задачи линейного программирования

$$X\beta - X\gamma + u \geq y^-, \quad (5)$$

$$X\beta - X\gamma + v \leq y^+, \quad (6)$$

$$\beta \geq 0, \gamma \geq 0, u \geq 0, v \geq 0, \quad (7)$$

$$\sum_{k=1}^n (u_k + v_k) \rightarrow \min. \quad (8)$$

В [1, 20] также показано, что при интервальности только X или y и X одновременно при расчете квазиоценок уравнения (2) следует соответствующим образом изменить ограничения (5) и (6) и, кроме того, ввести нелинейное ограничение $(\beta, \gamma) = 0$, что приведет к необходимости решения задач линейно-булевого программирования.

Если при решении задачи (5)–(8) окажется, что $u = v = 0$, то следует максимизировать так называемую разрешающую способность неравенств (5), (6), решив задачу линейного программирования

$$X\beta - X\gamma - u \geq y^-, \quad (9)$$

$$X\beta - X\gamma + v \leq y^+, \quad (10)$$

$$\beta \geq 0, \gamma \geq 0, u \geq 0, v \geq 0, \quad (11)$$

$$\sum_{k=1}^n (u_k + v_k) \rightarrow \max. \quad (12)$$

Точечные и интервальные регрессионные модели эксплуатационных показателей Красноярской железной дороги

Применим описанный математический аппарат для построения регрессионных уравнений на основе статистической информации Красноярской железной дороги за 2000–2018 гг. (таблица из [21]). В качестве переменных уравнения (1) будем использовать следующие: y – погрузка (тыс. т), x_1 – эксплуатируемый парк локомотивов (шт.), x_2 – выгрузка (ваг.), x_3 – рабочий парк вагонов дороги (ваг.), x_4 – провозная способность железнодорожной линии (млн т · км).

Будем использовать следующие обозначения: R^2 – критерий множественной детерминации, T – вектор значений критерия Стьюдента для каждого из параметров, E – средняя относительная ошибка аппроксимации уравнения (1), S – сумма модулей ошибок аппроксимации ε , H – максимальная по модулю ошибка.

Статистические показатели
Красноярской железной дороги

y	x_1	x_2	x_3	x_4
58744	337	1687	14012	0,79
60255	347	1723	14321	0,83
55235	342	1584	14587	0,84
61630	359	1660	14812	0,86
62419	357	1681	15003	0,88
65908	350	1807	15135	0,90
71565	358	1815	15322	0,93
74236	404	1803	16051	0,94
82262	405	1963	16767	0,95
68594	395	1611	16112	0,91
73392	428	1732	34803	0,90
72685	485	1725	35379	0,91
73892	521	1771	38943	0,91
68821	503	1593	45464	0,90
67047	502	1540	39624	0,91
72172	505	1581	38637	0,91
74556	504	1571	38292	0,91
78798	510	1558	40353	0,91
84417	513	1592	43718	0,90

Последовательное применение МНК, МНМ и МАО по отношению к приведенным в таблице данным привело к построению следующих уравнений:

а) МНК

$$y = -65397,1 + 57,4x_1 + 23,134x_2 + 0,0496x_3 + 78729,4x_4, \\ R^2 = 0,75; \quad (13) \\ T = (-2,58; 0,93; 1,82; 0,15; 1,92); \\ E = 3,92; S = 53694; H = 10530.$$

б) МНМ

$$y = -71568,8 + 45,9x_1 + 26,84x_2 + 0,077x_3 + 82586,2x_4, \quad (14) \\ E = 3,7; S = 51292,67; H = 12017.$$

в) МАО

$$y = 11803,9 + 79,46x_1 + 23,25x_2 + 0,051x_3 - 16491,9x_4, \quad (15) \\ E = 6,37; S = 87574; H = 7456.$$

Отметим, что здесь для уравнений (14), (15) не приведены значения традиционных для регрессионного анализа критериев множественной детерминации и Стьюдента, поскольку их корректное применение возможно лишь для метода наименьших квадратов.

Нетрудно видеть, что уравнения (13)–(15) существенно различаются как по параметрам, вплоть до знаков, так и по значениям критериев адекватности (вполне допустимым, кроме, может быть, критерия Стьюдента для параметра при факторе x_3). Это, впрочем, неудивительно, поскольку построены они на методах, базирующихся на разных способах задания расстояния между расчетными и фактическими значениями зависимой переменной. Поэтому выбор одного из них для практического использования должен сопровождаться привнесением неких дополнительных соображений содержательного характера, следующих, в том числе, из анализа свойств исследуемой выборки. В основу такого выбора можно положить, например, среднюю относительную ошибку аппроксимации E , которая часто используется при оценке качества построенного регрессионного уравнения независимо от применяемого метода оценивания параметров. В таком случае лучшим из представленных выше является уравнение (14), для которого $E = 3,7 \%$, что вполне приемлемо.

Предположим теперь, что данные, представленные в таблице, вследствие указанных причин приняли интервальный характер вида (4), где:

$$x_{ki}^- = 0,99x_{ki}, \quad x_{ki}^+ = 1,01x_{ki}, \quad y_k^- = 0,99y_k, \\ y_k^+ = 1,01y_k, \quad k = \overline{1,19}, \quad i = \overline{1,4}.$$

Вполне естественно при обработке этих данных применить интервальный регрессионный анализ, поскольку только в его арсенал входят методы, не предполагающие какой-либо дополнительной информации, в частности, вероятностной, конкретизирующей

расположение истинных значений переменных в сформированных таким образом интервалах.

Построим для регрессионных моделей (13)–(15) их интервальные аналоги, то есть определим квазиоценки параметров, воспользовавшись описанной в работе [22] программой.

а) В выборке (4) имеется интервальность только для зависимой переменной, это означает, что $X^- = X^+ = X$.

$$\begin{aligned} y &= -81442,3 + 82,65x_1 + \\ &+ 29,03x_2 + 0,13x_3 + 77544,75x_4, \quad (16) \\ R &= 2,77. \end{aligned}$$

Здесь R – аналог средней относительной ошибки аппроксимации уравнения E , вычисляемый после решения задачи (5)–(8) по формуле:

$$R = \sum_{k=1}^n (u_k / y_k^- + v_k / y_k^+) 100 / n.$$

б) Пусть теперь в (4) имеет место интервальность только для независимых переменных, то есть $y^- = y^+ = y$.

$$\begin{aligned} y &= -78185,4 + 108,1x_1 + 25,5x_2 - \\ &- 0,26x_3 + 73067x_4, \quad R = 1,82. \end{aligned} \quad (17)$$

в) Наконец, пусть интервальны данные для всех переменных, как это имеется в (4).

$$\begin{aligned} y &= -73943,4 + 79,5x_1 + 25,2x_2 - \\ &0,12x_3 + 78224,7x_4, \quad R = 0,97. \end{aligned} \quad (18)$$

Анализ значений параметров уравнений (16)–(18) и их сравнение с уравнениями (13)–(15) показывает, что допущение о даже совсем незначительном, однопроцентном, привнесении интервальной неопределенности в данные влечет значительные изменения как модели, так и ее аппроксимационных качеств. При этом некоторые параметры могут даже менять знак.

Для иллюстрации этого тезиса приведем диапазоны изменения параметров уравнения:

$$\begin{aligned} \alpha_0 &\in [-81442,3; 11803,9], \\ \alpha_1 &\in [45,9; 108,1], \\ \alpha_2 &\in [23,134; 29,03], \\ \alpha_3 &\in [-0,26; 0,13], \\ \alpha_4 &\in [-16491; 82586,2]. \end{aligned}$$

Нет смысла анализировать свободный член α_0 уравнений – он выполняет сглаживающую функцию и только. Наибольшим флуктуациям среди остальных параметров подвержен α_4 , следовательно, влияние провозной способности железнодорожной линии на погрузку имеет нестабильный характер. И, напротив, влияние на нее выгрузки довольно высоко и устойчиво, именно ее и следует наращивать в первую очередь для роста выходной переменной. Разумеется, это далеко не единственный вывод, который позволяет сделать анализ уравнений (13)–(18).

Заключение

В статье описаны результаты применения трех точечных методов оценивания неизвестных параметров линейной регрессионной модели (наименьших квадратов и модулей, антиробастного) и интервального оценивания в трех версиях, полученные на основе статистической информации Красноярской железной дороги за 2000–2018 гг. Произведен краткий анализ этих результатов, указывающий на возможность существенного изменения параметров при смене метода оценивания. Показано, что интервальный регрессионный анализ позволяет строить адекватные математические модели объектов транспорта при наличии неопределенности в обрабатываемой информации, когда классические методы анализа данных, в частности, традиционный регрессионный анализ, неприменимы. ■

Литература

1. Носков С. И. Технология моделирования объектов с нестабильным функционированием и неопределенностью в данных: монография / Иркутск : Облформпечать, 1996. 320 с. ISBN 5-00001-249-X.
2. Носков С. И., Базиловский М. П. Построение регрессионных моделей с использованием аппарата линейно-булевого программирования : монография / Иркутск : ИрГУПС, 2018. 176 с. ISBN 978-5-98710-354-8.
3. Носков С. И., Баенхаева А. В. Множественное оценивание параметров линейного регрессионного уравнения // Современные технологии. Системный анализ. Моделирование. 2016. № 3. С. 133–138. ISSN 2669-5177.
4. Лакеев А. В., Носков С. И. Метод наименьших модулей для линейной регрессии: число нулевых ошибок аппроксимации // Современные технологии. Системный анализ. Моделирование. 2012. № 2. С. 48–50. ISSN 1792-5184.
5. Носков С. И. Метод антиробастного оценивания параметров линейной регрессии: число максимальных по модулю ошибок аппроксимации // Южно-Сибирский научный вестник. 2020. № 1. С. 51–54. ISSN 4255-5021.
6. Lakeyev A. V., Noskov S. I. A description of the set of solutions of a linear equation with interval defined operator and right-hand side // Doklady Mathematics. 1993. T. 47. № 3. С. 518.
7. Kreinovich V., Lakeyev A. V., Noskov 1996S.I. Approximate linear algebra is intractable // Linear Algebra and its Applications. T. 232. № 1–3. С. 45–54.
8. Шарый С. П. О разрешимости линейной задачи о допусках // Интервальные вычисления. 1991. № 1. С. 92–98.
9. Хлебалин Н. А., Шокин Ю. И. Интервальный вариант метода модального управления // Докл. АН СССР. 1991. Т. 316. № 4. С. 846–850.
10. Шарый С. П., Шарая И. А. Распознавание разрешимости интервальных уравнений и его приложения к анализу данных // Вычислительные технологии. 2013. Т. 18. № 3. С. 80–109. ISSN 2013-3560.
11. Лакеев А. В., Носков С. И. О множестве решений линейного уравнения с интервально заданными оператором и правой частью // Сибирский математический журнал. 1994. Т. 35. № 5. С.1074.
12. Interval Analysis and its Applications. URL: <http://www.nsc.ru/interval> (дата обращения: 12.03.2020).
13. Kearfott R. B., Nakao M., Neumaier A., Rump S., Shary S. P., P. van Hentenryck // Standardized notation in interval analysis. Comput. Technol. 2010. 15 (1). Pp 7–13.
14. Mayer G. Interval Analysis and Automatic Result Verification. De Gruyter. Berlin, 2017. 518 p.
15. A Handbook of Results on Interval Linear Problems. URL: <http://www.nsc.ru/interval/Library/Surveys/ILinProblems.pdf> (дата обращения: 14.03.2020).
16. Sharaya I. A. On maximal inner estimation of the solution sets of linear systems with interval parameters // Reliab. Comput. 2001. 7 (5). Pp. 409–424.
17. Panyukov A. V., Golodov V. A. Computing best possible pseudo-solutions to interval linear systems of equations // Reliab. Comput. 2013. 19 (2). Pp. 215–228.
18. Sainz M. A., Armengol J., Calm R., Herrero P., Jorba L. J., Vehi J. Modal Interval Analysis : New Tools for Numerical Information // Springer International. 2014. Cham. Switzerland. 141 p.
19. Rohn J. Inner solutions of linear interval systems, in Interval Mathematics // Lecture Notes in Computer Science. Vol. 212. 1986. Pp. 157–158.
20. Носков С. И. Точечная характеристика множеств решений интервальных систем линейных алгебраических уравнений // Информационные технологии и математическое моделирование в управлении сложными системами. 2018. № 1. С. 8–13. ISSN 3699-7157.
21. Носков С. И., Врублевский И. П. Регрессионная модель динамики эксплуатационных показателей функционирования железнодорожного транспорта // Современные технологии. Системный анализ. Моделирование. 2016. № 2. С. 192–197. ISSN 2646-4456.
22. Заянчуковская В. О., Носков С. И. О программном комплексе решения интервальной системы линейных алгебраических уравнений // Транспортная инфраструктура Сибирского региона. 2019. Т. 1. С. 293–297. ISSN 3858-3174.

Literature

1. Noskov S. I. Technology of modeling of objects with unstable functioning and indefiniteness in data: monograph [Tekhnologiya modelirovaniya ob"ektov s nestabil'nym funktsionirovaniem i neopredelennost'yu v dannyh: monografiya]. Irkutsk: Oblinformpechat, 1996. 320 p. ISBN 5-00001-249-X.
2. Noskov S. I., Basilevskiy M. P. Regression model building with application of the apparatus of linear Boolean programming : Monograph / Irkutsk: IrSURT [Postroenie regressionnykh modelej s ispol'zovaniem apparata linejno-bulevogo programmirovaniya : monografiya / Irkutsk : IrGUPS]. 2018. 176 p. ISBN 978-5-98710-354-8.
3. Noskov S. I., Baenkhayeva A. V. Multiple assessment of parameters of linear regression equation // Up-to-date technology. System analysis. Modelling. [Mnozhestvennoe otsenivanie parametrov linejnogo regressionnogo uravneniya // Sovremennye tekhnologii. Sistemnyj analiz. Modelirovanie]. 2016. № 3. P. 133–138. ISSN 2669-5177.
4. Lakeyev A. V., Noskov S. I. Method of least modules for linear regression: number of zero error approximation // Up-to-date technology. System analysis. Modelling. [Metod naimen'shih modulej dlya linejnoy regressii: chislo nulevyh oshibok approksimatsii // Sovremennye tekhnologii. Sistemnyj analiz. Modelirovanie]. 2012. № 2. P. 48–50. ISSN 1792-5184.
5. Noskov S. I. Anti-crash assessment method of linear regression parameters: amount of maximum approximation errors by module // South Siberian scientific herald. [Metod antirobastnogo otsenivaniya parametrov linejnoy regressii: chislo maksimal'nykh po modulyu oshibok approksimatsii // Yuzhno-Sibirskij nauchnyj vestnik]. 2020. № 1. P. 51–54. ISSN 4255-5021.
6. Lakeyev A. V., Noskov S. I. A description of the set of solutions of a linear equation with interval defined operator and right-hand side // Doklady Mathematics. 1993. V. 47. № 3. P. 518.
7. Kreinovich V., Lakeyev A. V., Noskov 1996S.I. Approximate linear algebra is intractable // Linear Algebra and its Applications. V. 232. № 1–3. P. 45–54.
8. Shary S. P. Concerning solvability of the linear tolerance problem // Interval calculations. [O razreshimosti linejnoy zadachi o dopuskah // Interval'nye vychisleniya]. 1991. № 1. P. 92–98.
9. Khlebalin N. A., Shokin Yu. I. Interval variant of modal control // USSR AS Rep. 1991. [Interval'nyj variant metoda modal'nogo upravleniya // Dokl. AN SSSR]. V. 316. № 4. P. 846–850.
10. Shary S. P., Sharaya I. A. Recognition of solvability of interval equations and its application to data analysis // Computation technology. [Raspoznavanie razreshimosti interval'nykh uravnenij i ego prilozheniya k analizu dannyh // Vychislitel'nye tekhnologii]. 2013. V. 18. № 3. P. 80–109. ISSN 2013-3560.
11. Lakeyev A. V., Noskov S. I. Concerning a solution set of linear equation with an interval operator and a right-hand side // Siberian mathematical journal. [O mnozhestve reshenij linejnogo uravneniya s interval'no zadannymi operatorom i pravoj chast'yu // Sibirskij matematicheskij zhurnal]. 1994. V. 35. № 5. P. 1074.
12. Interval Analysis and its Applications. URL: <http://www.nsc.ru/interval> (reference data: 12.03.2020).
13. Kearfott R. B., Nakao M., Neumaier A., Rump S., Shary S. P., P. van Hentenryck // Standardized notation in interval analysis. Comput. Technol. 2010. 15 (1). Pp. 7–13.
14. Mayer G. Interval Analysis and Automatic Result Verification. De Gruyter. Berlin, 2017. 518 p.
15. A Handbook of Results on Interval Linear Problems. URL: <http://www.nsc.ru/interval/Library/Surveys/ILinProblems.pdf> (reference data: 14.03.2020).
16. Sharaya I. A. On maximal inner estimation of the solution sets of linear systems with interval parameters // Reliab. Comput. 2001. 7 (5). Pp. 409–424.
17. Panyukov A. V., Golodov V. A. Computing best possible pseudo-solutions to interval linear systems of equations // Reliab. Comput. 2013. 19 (2). Pp. 215–228.
18. Sainz M. A., Armengol J., Calm R., Herrero P., Jorba L. J., Vehi J. Modal Interval Analysis : New Tools for Numerical Information // Springer International. 2014. Cham. Switzerland. 141 p.
19. Rohn J. Inner solutions of linear interval systems, in Interval Mathematics // Lecture Notes in Computer Science. Vol. 212. 1986. Pp. 157–158.

20. Noskov S. I. Point characterization of solution sets of interval systems of linear algebra equations // Information technology and mathematical modeling in control over complex systems. [Tochechnaya harakterizatsiya mnozhestv reshenij interval'nyh sistem linejnyh algebraicheskikh uravnenij // Informatsionnye tekhnologii i matematicheskoe modelirovanie v upravlenii slozhnymi sistemami]. 2018. № 1. P. 8–13. ISSN 3699-7157.
21. Noskov S. I., Vrublevskiy I. P. Regression model of dynamics of performance indicators of railway transport functioning // Up-to-date technology. System analysis. Modelling. [Regressionnaya model' dinamiki ekspluatatsionnyh pokazatelej funktsionirovaniya zheleznodorozhnogo transporta // Sovremennye tekhnologii. Sistemnyj analiz. Modelirovanie]. 2016. № 2. P. 192–197. ISSN 2646-4456.
22. Zayanchukovskaya V. O., Noskov S. I. Concerning program complex for solving of interval system of linear algebra equations // Transport infrastructure of Siberian region. [O programnom komplekse resheniya interval'noj sistemy linejnyh algebraicheskikh uravnenij // Transportnaya infrastruktura Sibirskogo regiona]. 2019. V. 1. P. 293–297. ISSN 3858-3174.

Статья сдана в редакцию 18 июля 2020 года

Е. В. Климова

Пропускная и провозная способность перегонов при реализации технологии «виртуальная сцепка» грузовых поездов

E. V. Klimova

Carriage and traffic capacity of railway hauls in realization of «virtual coupling» technology of freight trains

Аннотация

В статье представлены результаты исследования эффективности применения бесветофорных систем регулирования движения поездов (в том числе в случае использования «виртуальной сцепки» грузовых поездов) по сравнению со светофорной для условного железнодорожного участка. Анализ научных работ показал, что использование интервальных систем регулирования позволяет сократить расчетное значение интервала между поездами, повысить пропускную и провозную способности линии, что актуально для участков с коэффициентом заполнения пропускной способности, близким к допустимым значением.

В качестве технологического эффекта в данном случае принят показатель «провозная способность участка». При уменьшении расстояния между поездами в системе интервального регулирования снижается расчетный интервал между поездами, увеличиваются наличная пропускная (выраженной в нитках грузовых поездов) и провозная способности участка, что приводит к снижению коэффициента заполнения пропускной способности.

Результаты расчетов представлены в виде графиков зависимостей ключевых показателей от расстояния между поездами в системе интервального регулирования. Представленные зависимости позволяют определять сферы эффективности применения системы бесветофорного регулирования по сравнению со светофорными системами, а также в условиях формирования и пропуска грузовых поездов по технологии «виртуальная сцепка».

Ключевые слова: соединенные поезда, виртуальная сцепка, технологическая эффективность, пропускная способность, провозная способность.

DOI: 10.20291/2079-0392-2020-3-53-64

Abstract

The article looks upon investigation results of efficiency of train movement regulating non-stop systems (including in case of usage of «virtual coupling» of freight trains) as compared to traffic signalization for a rated railway section. The analysis of scientific papers showed that the use of regulation interval systems makes it possible to reduce the estimated value of interval between trains, to increase the line carriage and traffic capacity, which is pertinent for sections with a throughput capacity close to admissible value.

A «section carriage capacity» indicator is accepted in this case as a technology effect. When the distance between trains in the interval regulation system is decreased, the existent carriage (expressed in freight train paths) and traffic capacity of the section increase, this resulting in reduction of carriage capacity coefficient.

The results of calculations are presented in the form of dependency diagrams of key indicators from the distance between trains in the interval regulation system. The shown dependencies enable determining of efficiency spheres of non-stop regulation system usage as compared to traffic signal systems as well as under conditions of freight train composition and handling according to «virtual coupling» technology.

Key words: linked multiple trains, virtual coupling, technological efficiency, carriage capacity, traffic capacity.

DOI: 10.20291/2079-0392-2020-3-53-64

Статья рекомендована к публикации В. М. Сай, д-ром техн. наук, профессором Уральского государственного университета путей сообщения E-mail: vsay@usurt.ru.

Екатерина Викторовна Климова, канд. экон. наук, доцент; кафедра «Управление эксплуатационной работой» Сибирского государственного университета путей сообщения; Новосибирск, Россия. E-mail: kate-kitton@yandex.ru. ORCID 0000-0003-2336-1549. The article is recommended for publishing by V. M. Say, Doctor of tech. sci., Professor, Ural state university of railway transport; E-mail: vsay@usurt.ru.

Yekaterina Victorovna Klimova, Cand. of econ. sci., Associate Professor; «Field operation management» Chair, Siberian state university of railway transport; Novosibirsk, Russia. E-mail: kate-kitton@yandex.ru. ORCID 0000-0003-2336-1549.

Одна из мер по сокращению узких мест грузонапряженных полигонов — организация пропуска соединенных поездов, в том числе и соединенных тяжеловесных поездов [1, 2]. Это позволяет сократить потребные размеры движения грузовых поездов за счет пропуска по одной нитке соединенного поезда, состоящего из нескольких поездов, состоящего из нескольких поездов графической массы и/или длины [3].

Например, на полигоне Западно-Сибирской железной дороги соединенные грузовые поезда формируются по принципу физической сцепки двух грузовых поездов графической массы или тяжеловесных поездов графической длины [4]. В данном случае пропуск соединенных поездов организуется с использованием систем светофорного регулирования. Формирование соединенных поездов производится, как правило, на технических станциях, ограничивающих участки обращения поездов указанной категории. Когда формируются соединенные поезда, при физической их сцепке значительное время занимает полное опробование автотормозов.

Система интервального регулирования движения поездов в бессветофорных системах в настоящее время проходит пилотное тестирование на полигоне Дальневосточной железной дороги. В системе интервального (бессветофорного) регулирования движения поездов можно применять технологию «виртуальная сцепка», когда несколько поездов при помощи радиоканала объединяются в соединенный поезд и одновременно управляются из головного локомотива. Физическая сцепка в данном случае не нужна. Кроме того, не нужно и объединять тормозную магистраль и опробовать тормоза соединенного поезда. Применение такой технологии позволяет на 30–50 % сократить затраты времени на формирование и расформирование соединенных поездов по сравнению с физической сцепкой [5–7].

Оценка эффективности применения технологии «виртуальная сцепка» выполнена для следующих сценариев формирования и пропуска поездов по

участку: а) грузовых поездов графической массы и/или длины без формирования соединенных и/или соединенных тяжеловесных поездов и б) грузовых поездов графической массы и/или длины в условиях формирования соединенных и/или соединенных тяжеловесных грузовых поездов, состоящих из нескольких поездов графической массы.

Расчеты технологической эффективности формирования и пропуска поездов производятся для светофорных и бессветофорных систем регулирования движением поездов.

Для оценки изменения параметров движения поездов при физической и виртуальной сцепке рассчитано среднее значение интервала между поездами в пакете (на перегоне), с помощью которого в дальнейшем определяется наличная пропускная способность перегонов полигона [8].

Условия для расчета интервалов между поездами в пакете (на перегоне)

1) Для поездов при физической сцепке по схеме движения поездов на зеленый под зеленый огонь светофора при разграничении расчетных поездов тремя свободными блок-участками (в системе светофорного регулирования движением поездов) [9]:

а) для пары «графический – графический» (рис. 1):

$$I_{г-г}^{\Phi} = 60 \cdot \frac{l_{п} + l_{6/y1} + l_{6/y2} + l_{6/y3}}{V_x},$$

где $l_{п}$ — длина поезда графической массы и длины, км; $l_{6/y1}$, $l_{6/y2}$, $l_{6/y3}$ — длины блок-участков первого, второго и третьего соответственно, км; V_x — средняя ходовая скорость хода поезда по данному перегону, км/ч;

б) для пары «соединенный – графический» (или «графический – соединенный») по адаптированной формуле (рис. 2):

$$I_{с-г}^{\Phi} = 60 \cdot \frac{1,5 \cdot l_{п} + l_{6/y1} + l_{6/y2} + l_{6/y3}}{V_x}.$$

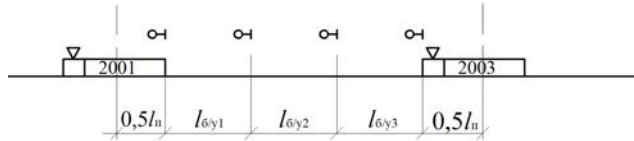


Рис. 1. Схема для расчета интервала между поездами в пакете при светофорном разграничении движения для пары «графиковый – графиковый»

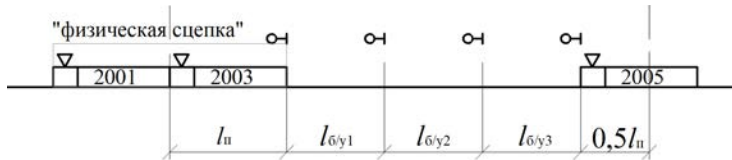


Рис. 2. Схема для расчета интервала между поездами в пакете при светофорном разграничении движения для пары «соединенный – графиковый»

2) Для поездов при виртуальной сцепке по условиям разграничения расчетных поездов минимально необходимым расстоянием в системе интервального (бессветофорного) регулирования:

а) для пары «графиковый – графиковый» (см. рис. 3):

$$I_{\text{г-г}}^{\text{в}} = 60 \cdot \frac{l_{\text{п}} + l_{\text{ирд}}}{V_x},$$

где $l_{\text{ирд}}$ – расстояние между попутно следующими поездами в системе интервального регулирования движением поездов, км.

б) для пары «соединенный – графиковый» (или «графиковый – соединенный») (рис. 4):

$$I_{\text{с-г}}^{\text{в}} = 60 \cdot \frac{1,5 \cdot l_{\text{п}} + 1,5 \cdot l_{\text{ирд}}}{V_x}.$$

Расчетный (средневзвешенный) интервал между поездами (мин) в условиях обращения обычных и соединенных поездов (или соединенных тяжелых поездов) в случае применения i -й технологии (физическая или виртуальная сцепка поездов) определен по формуле [10]:

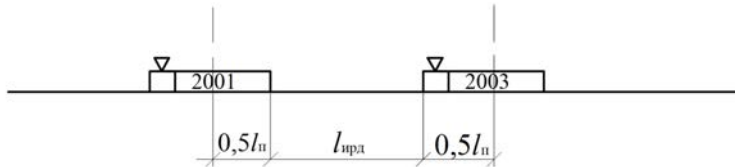


Рис. 3. Схема для расчета интервала между поездами в пакете при бессветофорном разграничении движения для пары «графиковый – графиковый»

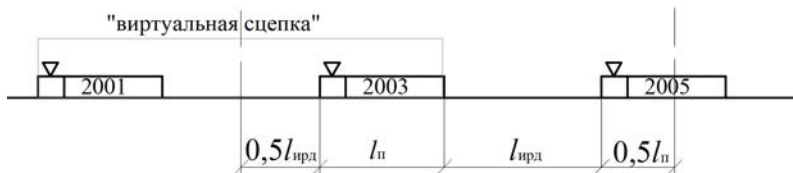


Рис. 4. Схема для расчета интервала между поездами в пакете при бессветофорном разграничении движения для пары «соединенный – графиковый»

$$I_p^i = \frac{I_{г-г}^i \cdot (N_{нал.0}^i - 2 \cdot N_{СП}) + 2 \cdot I_{с-г}^i \cdot N_{СП}}{N_{нал.0}^i},$$

где $N_{нал.0}^i$ – наличная пропускная способность двухпутных перегонов в нитках грузовых поездов, определяемая из условия, что применяется технология формирования только поездов графической массы и длины, т.е. число соединенных поездов равно нулю, поездов в сутки; $N_{СП}$ – число формируемых соединенных поездов (или соединенных тяжеловесных), поездов в сутки.

Наличная пропускная способность двухпутных перегонов в нитках грузовых поездов определяется по адаптированным формулам из [11, 12] в условиях применения следующих технологий.

Формирование только поездов графической массы и длины:

$$N_{нал.0}^i = \frac{1440 - t_{техн}}{I_{г-г}^i} \alpha_n \cdot \rho_{доп},$$

где $t_{техн}$ – время, выделяемое на технологическое окно, мин; α_n – коэффициент надежности инфраструктуры и подвижного состава; $\rho_{доп}$ – допустимый коэффициент заполнения пропускной способности участка, определяется в соответствии с [13].

Формирование соединенных поездов:

$$N_{нал.СП}^i = \frac{1440 - t_{техн}}{I_p^i} \alpha_n \cdot \rho_{доп}.$$

Наличная провозная способность участка, млн т брутто в год:

$$P_{нал}^i = \frac{365 \cdot Q_{бр.сп}^i \cdot N_{нал.и}^i}{10^6},$$

где $Q_{бр.сп}^i$ – средняя масса поезда брутто, приходящаяся на одну нитку графика движения поездов, т брутто; $N_{нал.и}^i$ – наличная пропускная способность участка (полигона), нитка грузовых поездов в сутки.

Средняя масса поезда, приходящаяся на одну нитку графика движения поездов, т брутто:

$$Q_{бр.сп}^i = \frac{N_{СП} \cdot m_{СП} + (N_{нал.0}^i - N_{СП}) \cdot m_{гр}}{N_{нал.0}^i},$$

где $m_{СП}$ – масса соединенного поезда (или соединенного тяжеловесного), т брутто; $m_{гр}$ – масса обычного грузового поезда, т брутто.

Технология формирования и пропуска соединенных тяжеловесных грузовых поездов будет эффективной, если провозная способность линии увеличивается по сравнению с технологией пропуска грузовых поездов только графической массы и длины [10].

В качестве объекта исследования принят двухпутный условный железнодорожный участок, максимально приближенный к реальным, со следующими основными исходными параметрами: оборудован автоблокировкой, по участку организуется пропуск только грузовых поездов, масса обычного поезда – 6 тыс. т при длине 1050 м, масса соединенного поезда – 12 тыс. т при длине 2100 м, длина одного блок-участка – 1500 м, скорость движения грузовых поездов по перегонам – 60 км/ч, расстояние между поездами (в пакете) в системе интервального регулирования изменяется от 1500 до 4500 м с шагом 100 м. В условиях применения технологии формирования и пропуска соединенных поездов их число составляет не более 15 поездов в сутки.

Прочие исходные данные: технологическое окно – 150 мин, коэффициент надежности инфраструктуры – 0,96, допустимый коэффициент заполнения пропускной способности – 0,91. При светофорных системах регулирования движения поездов длина одного блок-участка является величиной постоянной.

Результаты расчетов представлены в виде графиков зависимостей контрольных показателей от расстояния между поездами в системе интервального регулирования для следующих случаев: а) по сравнению со светофорными системами в паре поездов «графиковый – графиковый», рис. 5–7; в паре поездов «соединенный – графиковый»,

рис. 8–10 (число соединенных поездов – постоянная величина, равная 15 поездам в сутки), при этом соединенный поезд в бессветофорных системах регулирования будет формироваться по

технологии «виртуальная сцепка»; б) при изменении числа грузовых поездов, соединенных по технологии «виртуальная сцепка», от 0 до 15 с шагом три поезда, рис. 11–13.

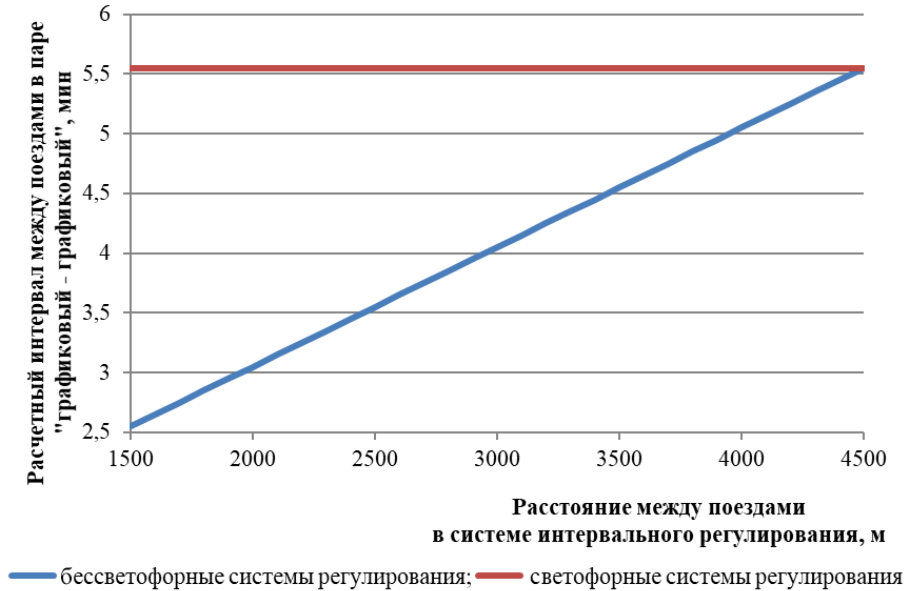


Рис. 5. Изменение расчетного интервала между поездами в паре «графиковый – графиковый» для светофорных и бессветофорных систем регулирования

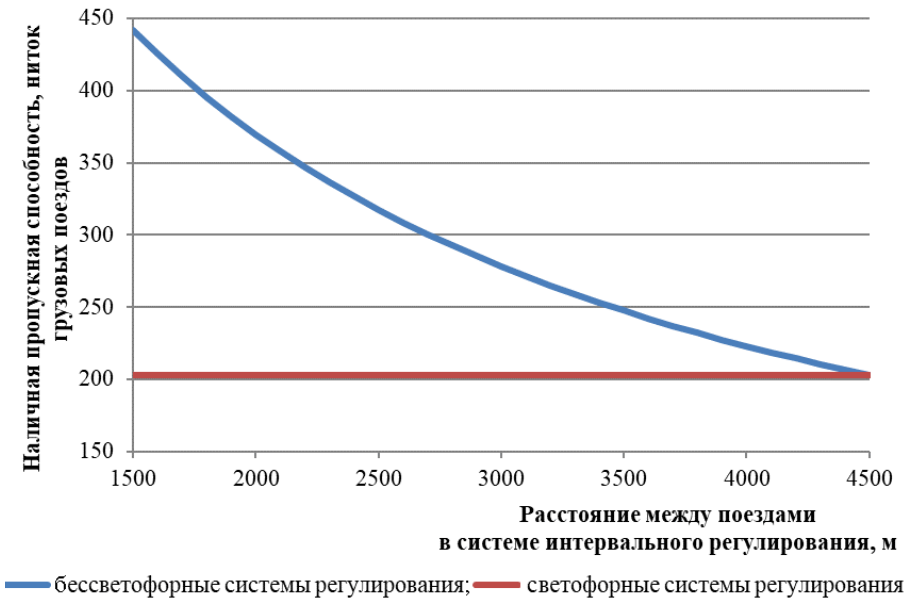


Рис. 6. Изменение наличной пропускной способности в паре поездов «графиковый – графиковый» для светофорных и бессветофорных систем регулирования

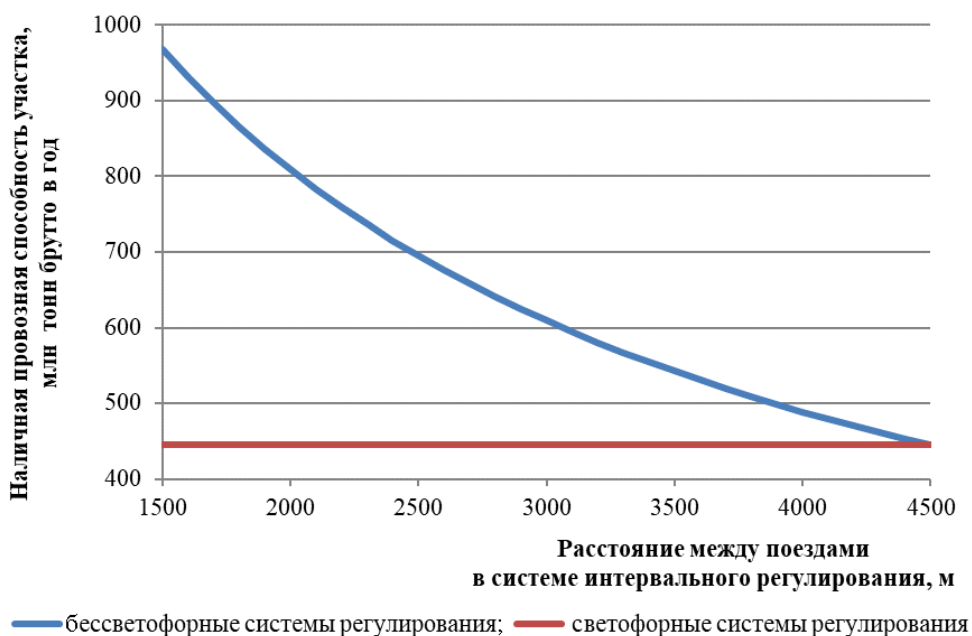


Рис. 7. Изменение наличной провозной способности в паре поездов «графиковый – графиковый» для светофорных и бесцветных систем регулирования

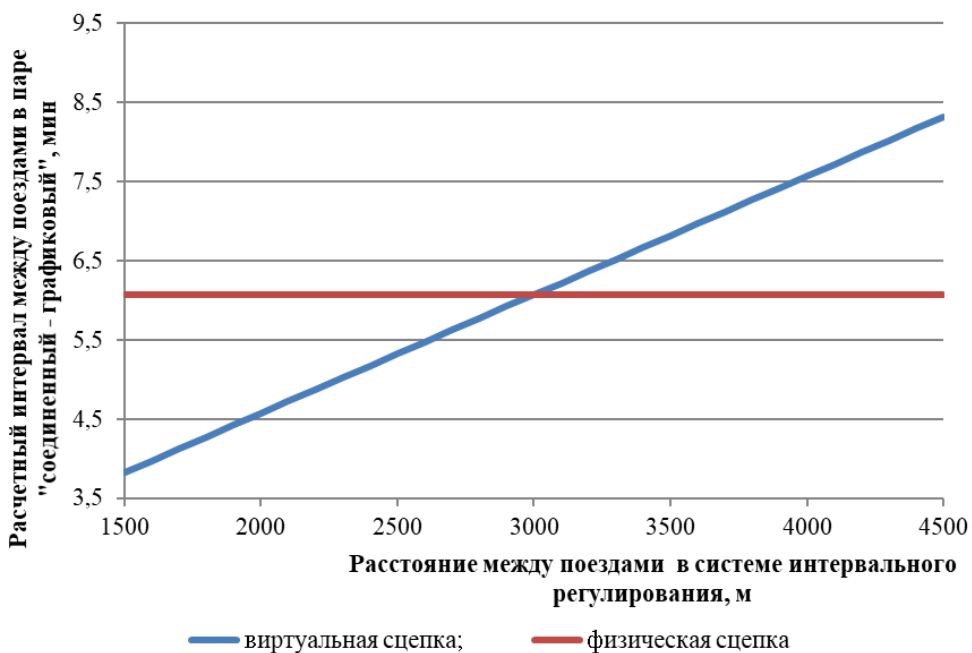


Рис. 8. Изменение расчетного интервала между поездами в паре «соединенный – графиковый» для светофорных и бесцветных систем регулирования

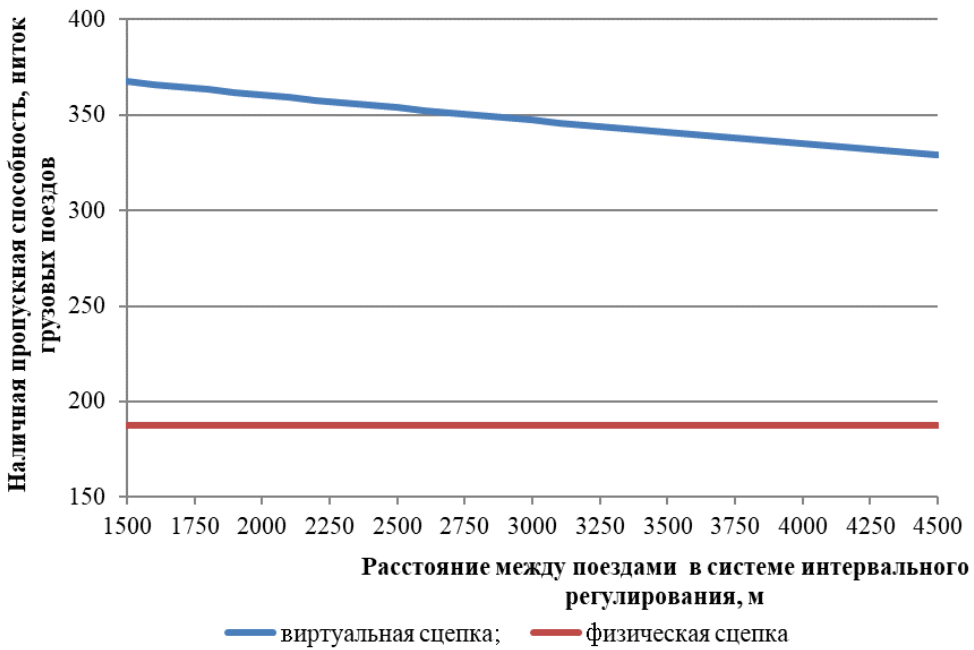


Рис. 9. Изменение наличной пропускной способности в паре поездов «соединенный – графиковый» для светофорных и бессветофорных систем регулирования

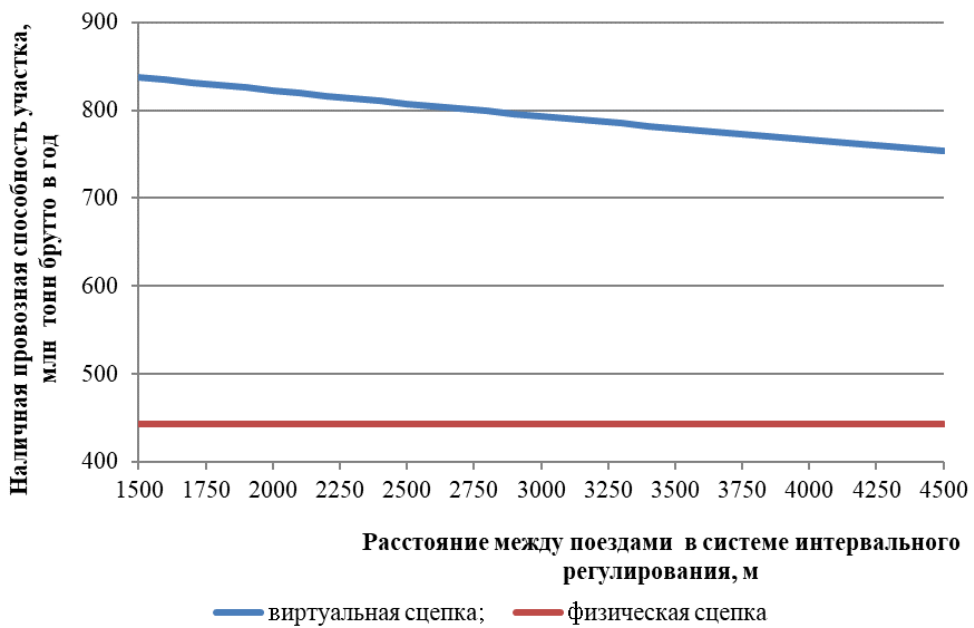


Рис. 10. Изменение наличной провозной способности в паре поездов «соединенный – графиковый» для светофорных и бессветофорных систем регулирования

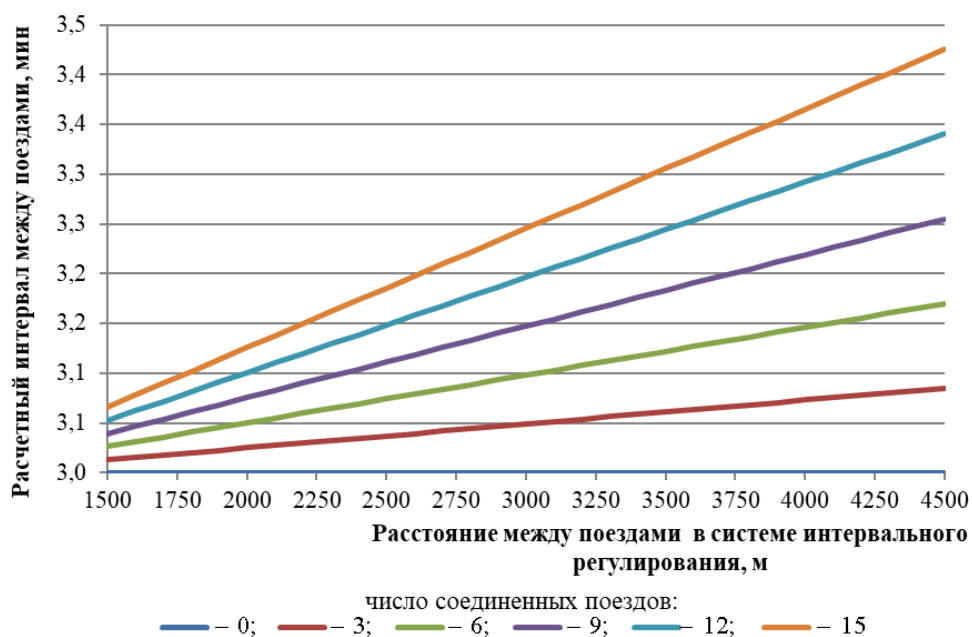


Рис. 11. Изменение расчетного интервала между поездами в бесветофорных системах регулирования при увеличении числа грузовых поездов, соединенных по технологии «виртуальная сцепка»

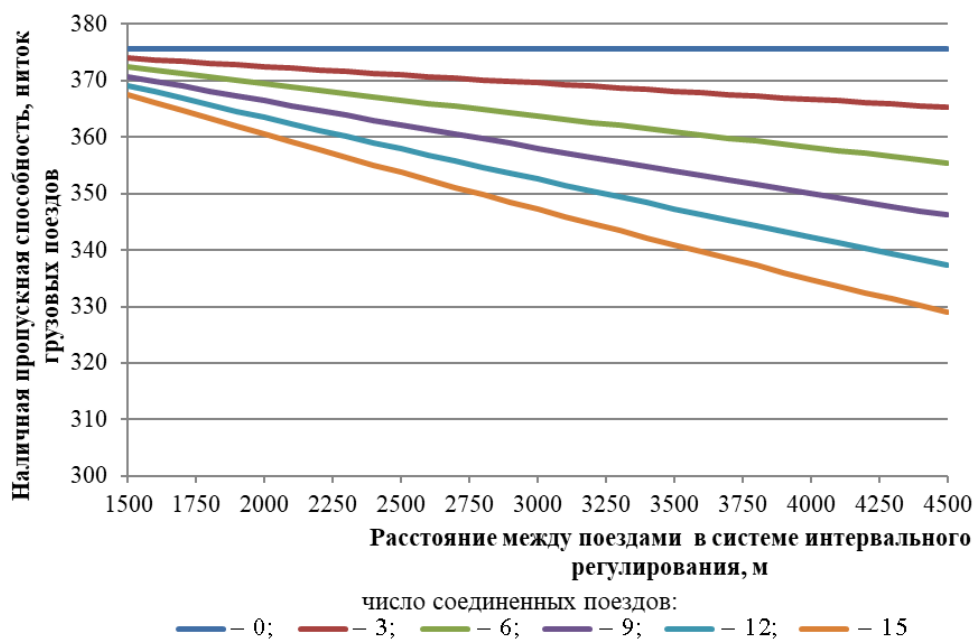


Рис. 12. Изменение наличной пропускной способности в бесветофорных системах регулирования при увеличении числа грузовых поездов, соединенных по технологии «виртуальная сцепка»

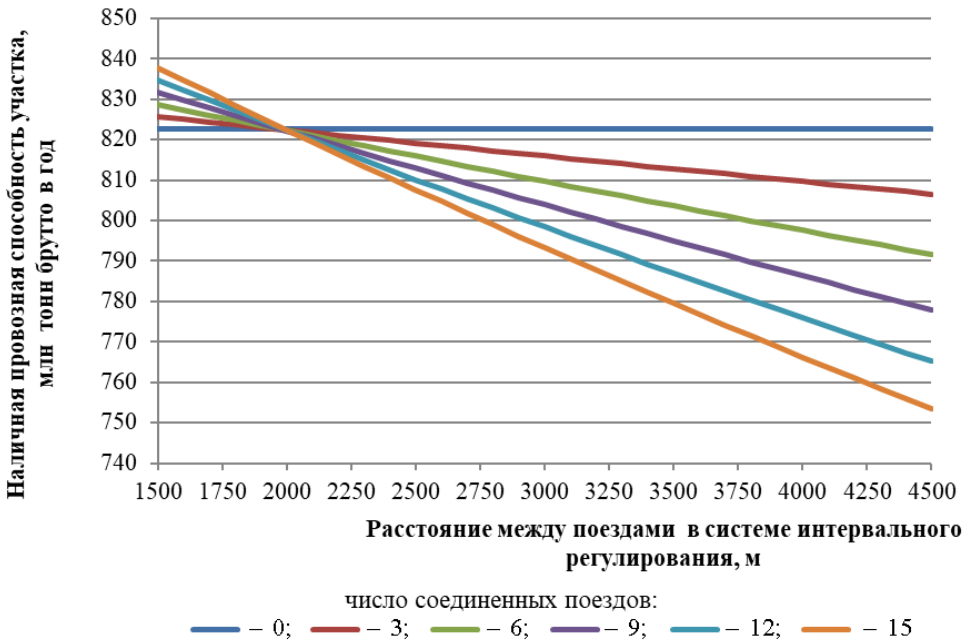


Рис. 13. Изменение наличной провозной способности в бессветофорных системах регулирования при увеличении числа грузовых поездов, соединенных по технологии «виртуальная сцепка»

Результаты расчетов показали, что в случае увеличения расстояния между расчетными поездами в паре «графиковый – графиковый» от 1500 м (длина одного блок-участка) интервал между поездами в бессветофорных системах регулирования движения возрастет и достигнет значения, равного интервалу в светофорных системах регулирования при расстоянии 4500 м (длина трех блок-участков). Зависимость – прямая пропорциональная. Наличная пропускная и провозная способности участка, наоборот, будут снижаться по непрямо́й обратной пропорциональной зависимости.

Переход к бессветофорным системам регулирования движения поездов технологически эффективен в случае, если расстояние между поездами будет менее суммарной длины трех блок-участков в светофорной системе регулирования.

В случае увеличения расстояния между расчетными поездами в паре «соединенный – графиковый» от 1500 м (длина одного блок-участка) интервал

между поездами в бессветофорных системах регулирования движения возрастет и достигнет значения, равного интервалу в светофорных системах регулирования при расстоянии 3000 м (длина двух блок-участков). Соединенный поезд в бессветофорных системах регулирования будет формироваться по технологии «виртуальная сцепка». Зависимость – прямая пропорциональная. Наличная пропускная и провозная способности участка, наоборот, снизятся по непрямо́й обратной пропорциональной зависимости. Переход к бессветофорным системам регулирования движения поездов с применением «виртуальной сцепки» технологически эффективен в случае, если расстояние между поездами будет менее, чем в суммарная длина двух блок-участков в светофорной системе регулирования с применением физической сцепки поездов.

При увеличении расстояния между расчетными поездами в паре «соединенный – графиковый» от 1500 м (длина одного блок-участка) и числа грузовых

поездов, соединенных по технологии «виртуальная сцепка», интервал между поездами в бесветофорных системах регулирования движения возрастает. Зависимость – прямая пропорциональная. Наличная пропускная и провозная способности участка, наоборот, снизятся по не прямой обратной пропорциональной зависимости. Повысить эффективность технологии «виртуальная сцепка», связанной с увеличением числа соединенных поездов, можно за счет снижения расстояния между поездами в системе интервального регулирования.

График, представляющий точку безразличия, в которой наличная провозная способность при любом числе поездов, соединенных по технологии «виртуальная сцепка», будет величиной постоянной, дан на рис. 13. По оси X левее точки безразличия располагается область эффективного применения технологии «виртуальная сцепка», т.к. здесь выполняется условие: при увеличении числа соединенных поездов наличная провозная способность участка возрастает, правее точки безразличия лежит область неэффективного применения технологии, поскольку увеличение числа соединенных поездов вызовет снижение наличной провозной способности участка.

Выводы

Переход систем регулирования от светофорных к бесветофорным в условиях сокращения расчетного расстояния между поездами снижает расчетный интервал между поездами, повышает наличную пропускную и провозную

способности участка. Технологический эффект достигается, если расстояние между поездами менее суммарных длин трех последовательно расположенных блок-участков в светофорной системе регулирования.

Применение технологии формирования соединенных или соединенных тяжеловесных поездов в бесветофорных системах регулирования движения поездов с использованием «виртуальной сцепки» технологически эффективен, если расстояние между поездами менее суммарных длин двух блок-участков в светофорной системе регулирования при условии физической сцепки поездов.

Повышение эффективности технологии «виртуальная сцепка» в условиях роста числа соединенных поездов достигается за счет снижения расстояния между поездами в бесветофорной системе регулирования. Разработанный график позволяет определить точку безразличия (1,33 длины блок-участка), в которой наличная провозная способность при любом числе поездов, соединенных по технологии «виртуальная сцепка», будет величиной постоянной. По оси ординат левее точки безразличия располагается область эффективного применения технологии «виртуальная сцепка», т.к. здесь выполняется условие: при увеличении числа соединенных поездов наличная провозная способность участка возрастает, правее точки безразличия лежит область неэффективного применения технологии, поскольку увеличение числа соединенных поездов снизит наличную провозную способность участка. ■

Литература

1. Стратегия инновационного развития ОАО «Российские железные дороги» на период до 2015 года (Белая книга ОАО «РЖД»). М., 2007. 54 с.
2. Распоряжение правительства РФ от 17.06.2008 № 877-р «О Стратегии развития железнодорожного транспорта в Российской Федерации до 2030 года». М., 2006. 104 с.
3. Пилипушка Л. Е., Рябов В. С. Анализ технологии формирования и расформирования соединенных тяжеловесных поездов массой 14200 т / М-лы Всероссийской студенческой науч. конф. с международным участием «Студент: наука, профессия, жизнь». 22–26 апреля 2019 г. – Омск, 2019. – С. 63–67. ISBN 978-5-949-41234-3.

4. Югина О. П., Танайно Ю. А., Волкова Н. В. Особенности организации работы с поездами повышенного веса на Западно-Сибирской железной дороге // Вестник СГУПС, 2017. №4. С. 60–65. ISSN 1815-9265.
5. Розенберг Е. Н. Принципы построения систем управления и интервального регулирования движением поездов четвертого поколения / Интеллектуальные системы управления на железнодорожном транспорте. Компьютерное и математическое моделирование (ИСУЖТ-2019) : Труды 8-й науч.-техн. конференции, 21 ноября 2019 г. – М., 2019. С. 27–32.
6. Розенберг Е. Н., Коровин А. С. Глобальные тренды развития интеллектуальных транспортных систем // Автоматика, связь, информатика, 2018. № 12. С. 14–19. ISSN 0005-2329.
7. Пилипушка Л. Е. Технология «виртуальная сцепка» поездов как инструмент повышения эффективности работы железных дорог / Наука и молодежь XXI века : М-лы XVIII науч.-техн. конференции студентов и аспирантов (Новосибирск, 13–14 ноября 2019 г.). – Ч. I. Технические науки. – Новосибирск, 2020. – С. 210–212. ISBN 978-5-00148-115-7 (ч. I).
8. Климова Е. В., Пилипушка Л. Е., Рябов В. С. Технология «виртуальная сцепка» поездов как инструмент повышения провозной и пропускной способности линии / Транспортная инфраструктура Сибирского региона : М-лы 10-й Международн. научн.-практ. конф., 21–24 мая 2019 г. Иркутск, 2019. – Т.1. – С. 60–64. ISBN 978-5-98710-365-4.
9. Инструкция по определению станционных и межпоездных интервалов : ЦД-361 : утв. МПС РФ 16.06.1995. – М., 1995. – 162 с.
10. Климова Е. В. Исследование сфер эффективности применения технологии пропуска соединенных и тяжеловесных поездов // Вестник СГУПС, 2017. № 4. С. 66–73. ISSN 1815-9265.
11. Инструкция по расчету наличной пропускной способности железных дорог : утв. ОАО «РЖД» 10.11.2010. – М., 2011. – 289 с.
12. Методика определения пропускной и провозной способности инфраструктуры железнодорожного транспорта общего пользования : утв. Минтранс России 18.06.2018 № 266. – М., 2018. – 40 с.
13. СП 119.13330.2017. СНиП 32-01-95. Свод правил. Железные дороги колеи 1520 мм : Утв. Мин. строит. и жил.-комму. хоз. РФ, 12.12.2017, №1648/пр. – М., 2017. – 46 с.

Literature

1. JSC «Russian railways» strategy of innovational development for the period up to 2015 (JSC «RZD» White book) [Strategiya innovatsionnogo razvitiya OAO «Rossijskie zheleznye dorogi» na period do 2015 goda (Belaya kniga OAO «RZhD»)]. М., 2007, 54 p.
2. RF government order as of 17.06.2008 877-p «Concerning railway transport development strategy in the Russian Federation up to 2030» [Rasporyazhenie pravitel'stva RF ot 17.06.2008 № 877-r «O Strategii razvitiya zheleznodorozhnogo transporta v Rossijskoj Federatsii do 2030 goda»]. М., 2006. 104 p.
3. Pilipushka L. E., Ryabov V. S. Analysis of composition and breaking up of linked heavy trains weighing 14200 t / All-Russia student scient. conf. with international participation proceedings «Student: science, profession, life» [Analiz tekhnologii formirovaniya i rasformirovaniya soedinennyh tyazhelovesnyh poezdov massoj 14200 t / M-ly Vserossijskoj studencheskoj nauch. konf. s mezhdunarodnym uchastiem «Student: nauka, professiya, zhizn»]. 22–26 April 2019. – Omsk, 2019. – P. 63–67. ISBN 978-5-949-41234-3.
4. Yugrina O. P., Tanaino Yu. A., Volkova N. V. Peculiarities of work with heavy weight trains on West Siberian railway / Herald of SSURT [Osobennosti organizatsii raboty s poezdami povyshennogo vesa na Zapadno-Sibirskoj zheleznoy doroге / Vestnik SGUPS], 2017. № 4. P. 60–65. ISSN 1815-9265.
5. Rosenberg E. N. Principles of operational systems and the fourth generation train interval regulation / Intellectual control systems on railway transport. Computer and mathematical modeling: 8th sci. and tech. conf., 21 November 2019 [Printsipy postroeniya sistem upravleniya i interval'nogo regulirovaniya dvizheniem poezdov chetvertogo pokoleniya / Intellektual'nye sistemy upravleniya na zheleznodorozhnom transporte. Komp'yuternoe i matematicheskoe modelirovanie (ISUZhT-2019) : Trudy 8-j nauch.-tekhn. Konferentsii]. – М., 2019. P. 27–32.

6. Rosenberg E. N., Korovin A. SA. Global development trends of intellectual transport systems // Automation, communication, informatics [Global'nye trendy razvitiya intellektual'nyh transportnyh sistem // Avtomatika, svyaz', informatika]. 2018. № 12. P. 14–19. ISSN 0005-2329.
7. Pilipushka L. E. Technology «virtual coupling» of trains as an instrument to raise railway operation efficiency / XXI century science and young people : Mat-s of XVIII sci. and tech. conference of students and postgraduates (Novosibirsk, 13–14 November 2019). – P. I. Technical sciences [Tekhnologiya «virtual'naya stsepka» poezdov kak instrument povysheniya effektivnosti raboty zheleznyh dorog / Nauka i molodezh' XXI veka : M-ly XVIII nauch.-tekhn. konferentsii studentov i aspirantov (Novosibirsk, 13–14 noyabrya 2019 g.). – Part. I. Tekhnicheskie nauki]. – Novosibirsk, 2020. P. 210–212. ISBN 978-5-00148-115-7 (p. I).
8. Klimova E. N., Pilipushka L. E., Ryabov V. S. Technology «virtual coupling» of trains as a tool to increase line traffic and carriage capacity / Siberian region transport infrastructure: 10th International sci. and tech. conf. mat-s, 21–24 May 2019. Irkutsk, 2019 [Tekhnologiya «virtual'naya stsepka» poezdov kak instrument povysheniya provoznoj i propusknnoj sposobnosti linii / Transportnaya infrastruktura Sibirskogo regiona : M-ly 10-j Mezhdunarodn. nauchn.-prakt. konf.]. – Vol. 1. – P. 60–64. ISBN 978-5-98710-365-4.
9. Instruction for determination of station and train-to-train intervals: ЦД-361 :appr. by RF RM 16.06.1995 [Instruktsiya po opredeleniyu stantsionnyh i mezhpoezdnyh intervalov : TsD-361 : utv. MPS RF]. – M., 1995. – 162 p.
10. Klimova E. V. Study of efficiency spheres of linked and heavy weight train handling technology // Herald of SSURT [Issledovanie sfer effektivnosti primeneniya tekhnologii propuska soedinennyh i tyazhelovesnyh poezdov // Vestnik SGUPS]. 2017. № 4. P. 66–73. ISSN 1815-9265.
11. Instruction for computation of existent carriage capacity of railways: appr. by JSC «RZD» 10.11.2010 [Instruktsiya po raschetu nalichnoj propusknnoj sposobnosti zheleznyh dorog : utv. OAO «RZhD»]. – M., 2011. – 289 p.
12. Methods of determination of carriage and traffic capacity of common use railway infrastructure: appr. by Russia's Mintrans 18.06.2018 № 266 [Metodika opredeleniya propusknnoj i provoznoj sposobnosti infrastruktury zheleznodorozhnogo transporta obshhego pol'zovaniya : utv. Mintrans Rossii 18.06.2018, № 266]. – M., 2018. – 40 p.
13. CS 119.13330.2017. Building Codes and Regulations 32-01-95. Code specification. Railway gauge 1520 mm: Appr. by the RF Min. of Constr., Housing and Utilities [SP 119.13330.2017. SNIP 32-01-95. Svod pravil. Zheleznye dorogi kolei 1520 mm : Utv. Min. stroit. i zhil.-kommun. hoz. RF, 12.12.2017, № 1648/order]. – M., 2017. – 46 p.

Статья сдана в редакцию 31 июля 2020 года

А. В. Гриценко, К. В. Глемба, А. С. Балясников

Исследование параметров работы газораспределительного механизма при виброакустическом контроле в режиме тестового диагностирования

A. V. Gritsenko, K. V. Glemba, A. S. Balyasnikov

Investigation of operational parameters of a gas distribution mechanism under vibroacoustic control in testing mode

Аннотация

Анализ статистики отказов систем ДВС показывает ощутимый рост отказов газораспределительного механизма: в среднем 7–12 %. Это объясняется усложнением элементов газораспределения и появлением множества новых элементов (гидротолкатели, гидронатяжители, механизм автоматической коррекции фаз газораспределения, многоклапанные системы). Однако совершенствование механизма газораспределения на практике заметно опережает развитие новых достоверных средств и методов контроля технического состояния. Разработка же новых средств и методов контроля технического состояния газораспределительного механизма позволяет решить

важную задачу повышения ресурса работы двигателя. Самый информативный и достоверный метод диагностирования – виброакустический, позволяющий на любой стадии оценить техническое состояние элементов механизма газораспределения. Для диагностирования газораспределительного механизма с учетом минимума помех и максимума информативности выбрана аппаратура, включающая в себя USB-Avtoscope III (осциллограф Постоловского), ноутбук с штатной программой анализа данных, датчик давления для контроля давления в цилиндре и акселерометр. Для исключения линейного расширения металлов диагностирование проводилось на двигателе, температура которого находится в диапазоне от

+80 до +90 °С (измерения, проводимые измерительным щупом в этом диапазоне температур одинаковы). Максимальная степень расширения металла фиксировалась при 1100 мин⁻¹ через 14 с, при 1300 мин⁻¹ – 12 с, при 1500 мин⁻¹ – 10,2 с. Изменение теплового зазора клапана с 0,35 мм до 0,7 мм уменьшает фазу открытия клапана на величину 2×15°30' (т.е. приводит к существенному запаздыванию открытия клапана на 15°30' и ускорению его закрытия на 15°30').

Ключевые слова: двигатель, механизм газораспределения, диагностирование, контроль, амплитуда, частота, фаза, экономичность.

DOI: 10.20291/2079-0392-2020-3-65-73

Статья рекомендована к публикации Ф. Г. Возмиловым, д-ром техн. наук, профессором Южно-Уральского государственного университета. E-mail: vozmilov1944@mail.ru.

Александр Владимирович Гриценко, д-р техн. наук, профессор; кафедра «Автомобильный транспорт» Южно-Уральского государственного университета (НИУ); г. Челябинск, Россия. E-mail: alexgrits13@mail.ru. ORCID 0000-0002-7652-7912.

Константин Вячеславович Глемба, канд. техн. наук, доцент; кафедра «Автомобильный транспорт» Южно-Уральского государственного университета (НИУ); г. Челябинск, Россия. E-mail: glemba77@mail.ru. ORCID ID 0000-0001-7212-5388.

Алексей Сергеевич Балясников, аспирант; кафедра «Эксплуатация машинно-тракторного парка, и технология и механизация животноводства» Южно-Уральского государственного аграрного университета; г. Троицк, Россия. E-mail: balyasnikov.as@mail.ru. ORCID ID 0000-0002-2512-8081.

The article is recommended for publishing by F. G. Vozmilov, Doctor of tech. science, Professor, South-Ural state university. E-mail: vozmilov1944@mail.ru.

Alexander Vladimirovich Gritsenko, Doctor of tech. science, Professor, «Motor transport» Chair, South Ural state university; Chelyabinsk, Russia. E-mail: alexgrits13@mail.ru. ORCID 0000-0002-7652-7912.

Konstantin Vyacheslavovich Glemba, Cand. of tech. science, Associate Professor, «Motor transport» Chair, South Ural state university; Chelyabinsk, Russia. E-mail: glemba77@mail.ru. ORCID ID 0000-0001-7212-5388.

Alexey Sergeyevich Balyasnikov, Postgraduate Student; Operation of machine and tractor fleet and technology and mechanization of stock-raising» Chair, South Ural state agrarian university; Troitsk City, Russia. E-mail: balyasnikov.as@mail.ru. ORCID ID 0000-0002-2512-8081.

Abstract

Statistical analysis of ICE system faults shows a considerable growth of gas distribution mechanism failures: on average 7–12 %. This is explained by complicity of gas distribution elements and occurrence of numerous new elements (hydraulic pushers, hydraulic tensioners, automatic correcting mechanism of gas distribution phases, multivalve systems). However, in practice improvement of the gas distribution mechanism conspicuously surpasses development of new veracious techniques and methods of technical condition control. Development of new techniques and methods of technical condition control over the gas distribution mechanism enables solving of

the important task to increase the engine operational resource. The most informative and veracious diagnostic method is vibroacoustic one, which makes it possible to evaluate technical condition of gas distribution mechanism at any stage. In order to diagnose the gas distribution mechanism with consideration of minimum interference and maximum information content, we chose the equipment which includes USB-Avtoscope III (Postolovsky oscillograph), a laptop with data analysis software, a pressure sensor for pressure control in the cylinder and an accelerometer. For prevention of linear expansion of metals, diagnostics was made on the engine with the temperature ranging from +80 to +90° C

(measurements which are taken by a measuring probe within this temperature range are identical). The maximum expansion of metal was fixed at 1100 min⁻¹ in 14 sec., at 1300 min⁻¹ – 13 sec., at 1500 min⁻¹ – 10,2 sec. Change of valve expansion clearance from 0,35 mm to 0,7 mm reduces the valve opening phase by 2×15°30' (i.e. results in considerable delay of valve opening by 15°30' and acceleration of its closure by 15°30').

Key words: engine, gas distribution mechanism, diagnostics, control, range, frequency rate, phase, economical efficiency.

DOI: 10.20291/2079-0392-2020-3-65-73

Стандарты Евро-5 и Евро-6 направлены на улучшение экологического фактора, но заметно усложнились механизмы систем двигателя, что ухудшило их контролепригодность. С одной стороны, датчики и исполнительные механизмы стали более точными, но, с другой, это повлекло за собой увеличение отказов, возникающих вследствие несоответствия сроков и необходимых перечней диагностических воздействий на них [1, 2]. Особое внимание заслуживают системы и узлы, комплексно влияющие на ресурсные параметры двигателя в целом, в связи с чем приоритетное значение в настоящее время приобретает диагностирование тех элементов, которые дают наибольшее число отказов и требующих значительных затрат на устранение их последствий, что в целом снижает коэффициент технической готовности [3]. Так, например, отказы газораспределительного механизма (ГРМ), представляющего собой комплекс элементов с различными характеристиками износа, заметно сокращают ресурс двигателя [4].

Распределение неисправностей ГРМ двигателя представлено на рис. 1 [5].

В настоящее время оценка технического состояния ГРМ чаще производится по структурным параметрам (величина тепловых зазоров в приводе клапанов, износ приводных шестерен и кулачков вала механизма газораспределения, упругость пружин, величина зазора между направляющей втулкой

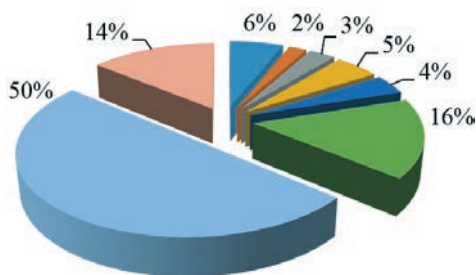


Рис. 1. Распределение неисправностей в газораспределительном механизме
50 % – изменение теплового зазора между клапанами и толкателями; 14 % – износ и обгорание впускных клапанов и посадочных седел; 6 % – износ кулачков распределительного вала; 2 % – износ подшипников распределительного вала; 3 % – износ толкателей и направляющих втулок клапанов; 5 % – зависание клапанов; 4 % – поломка пружин клапанов или штанг толкателей; 16 % – износ или обгорание выпускных клапанов и седел

и стержнем клапана, плотность прилегания клапанов к седлам) [4]. Для определения этих величин методами прямого контроля необходима частичная или полная разборка двигателя, при этом точность результатов высока, но не всегда полная, так как некоторые свойства деталей полно проявляются в процессе их взаимодействия. Непрерывно ведутся разработки, совершенствуются методы диагностирования технического состояния ГРМ по параметрам рабочих и сопутствующих процессов, которые позволяют оперативно, с высокой точностью безразборным методом определить дефект на ранней стадии [5, 6].

Контроль технического состояния ГРМ очень важен для обеспечения его бесперебойной работы и прогнозирования оставшегося срока эксплуатации; это возможно при внедрении новых методик контроля его параметров работы [6, 7]. При анализе и рассмотрении особенности процесса вибрационно-акустического контроля в ряде литературных источников приводятся данные о высокой надежности ГРМ, но при условии соблюдения всех технических нормативов эксплуатации; ГРМ – самый уязвимый механизм ДВС в случае нарушения условий эксплуатации, ухудшения качества топливно-смазочных материалов или несоблюдения сроков технического обслуживания. Поэтому в практике эксплуатации необходимы безразборные способы быстрого диагностирования ГРМ [8, 9].

При исследовании предлагается использовать два метода диагностирования: контроль пульсаций разряжения во впускном коллекторе ДВС [10–12] и вибрационно-акустический контроль [13, 14]. Определилась цель исследований: повышение эффективности процесса диагностирования ГРМ по параметрам пульсаций разряжения во впускном коллекторе ДВС и вибрационно-акустических измерений. Задача исследований – изучение амплитудных и частотных параметров вибраций клапанных механизмов при вариации их тепловых зазоров.

Из теории взаимодействия соударяющихся тел известно, что скорость в начале удара u_0 является функцией ряда составляющих [15]:

$$u_0 = f(s, F, m_1, m_2, t_{ж}, t_m, \omega), \quad (1)$$

где s – рабочий зазор в соединении узлов и деталей ГРМ, м; F – возмущающая сила, Н; m_1, m_2 – массы подвижной и неподвижной деталей механизма ГРМ, кг; $t_{ж}, t_m$ – температура охлаждающей жидкости и масла, °С; ω – частота вращения коленчатого вала ДВС, рад/с.

Частота, с которой возмущающая сила оказывает свое воздействие на объекты соударения, определяется выражением, Гц [15]:

$$f = \frac{i \cdot k \cdot g \cdot n}{60}, \quad (2)$$

где i – передаточное отношение привода ГРМ; k – кратность действия возмущающей силы; g – порядок гармонических составляющих; n – частота вращения коленчатого вала ДВС, мин⁻¹.

Известны также исследования по установлению временных моментов соударений элементов ГРМ и измерению амплитудных и фазовых параметров удара деталей [16, 17], а также определению амплитудных и фазовых параметров пульсаций разряжения во впускном коллекторе ДВС [18].

Методы и результаты экспериментальных исследований

Для проведения основной части экспериментальных исследований необходима тарировка датчиков разряжения и пьезометрических датчиков. На первом этапе исследований при помощи прибора К-69 контролировались утечки из цилиндров, зазоры в клапанном механизме контролировались при помощи мерного шупа. Контроль рабочих зазоров для выпускных и впускных клапанов на автомобилях ГАЗ 3110 проводился на холодном двигателе, и это

мало что дает на данном этапе исследований, так как в таких двигателях тепловые зазоры клапанов устанавливаются автоматически. Теперь важно проконтролировать тепловые зазоры клапанов именно при работе ДВС.

В начале эксперимента необходимо тарировать измерительные датчики. Тарировка датчика разряжения заключалась в статической установке заданных значений разряжений и их контроле USB-осциллографом Постолюнского. Тарировка же пьезометрического датчика – самый сложный процесс (необходимо снимать крышку ГРМ двигателя автомобиля для выставления тепловых зазоров клапанов в диапазоне 0,05–0,60 мм). Для искусственно сформированных зазоров измерялись вибрационно-акустические импульсы. По результатам тарировки построена графическая зависимость изменения выходного сигнала вибрационно-акустического импульса U (мВ) от величины зазора z (мм) в клапанном механизме ГРМ двигателя автомобиля ГАЗ 3110 (рис. 2) [19].

Тарировка пьезометрического датчика показывает, что зависимость уровня выходного сигнала вибрационно-акустического импульса U (мВ) от вели-

чины зазора z (мм) имеет нелинейный вид. Экспериментальные данные тарировки можно с достоверностью 0,976 аппроксимировать экспоненциальной линией (см. рис. 2), которую в нераскодированном виде можно описать выражением [19]:

$$y = 10,53 \cdot e^{0,670x}, \quad (3)$$

где y – амплитуда вибрационно-акустического импульса, мВ; x – величина зазора в клапанном механизме ГРМ двигателя автомобиля ГАЗ 3110, мм.

После тарировки вибрационно-акустического датчика начинается основная часть экспериментальных исследований на пяти автомобилях ГАЗ 3110 для контроля вибраций деталей ГРМ двигателя. Измерялись амплитудные и фазовые параметры вибрационно-акустических импульсов в трех повторностях. Результаты измерения представлены в таблице 1.

В подконтрольной выборке основная доля вибрационно-акустических импульсов исходила от соударения выпускных клапанов, на что показали их фазовые параметры. В процессе измерений вибрационно-акустических импульсов

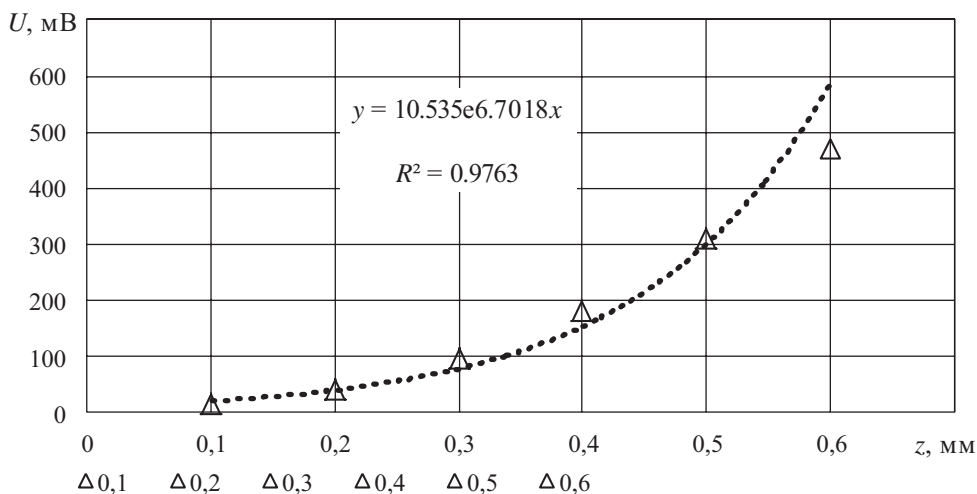


Рис. 2. Результаты процесса тарировки пьезометрического датчика
зависимость выходного сигнала вибрационно-акустического импульса U , мВ от величины зазора z , мм в клапанном механизме ГРМ двигателя автомобиля ГАЗ 3110

Таблица 1

Результаты контроля вибрационно-акустических импульсов от соударения элементов ГРМ

Показатели пробега автомобилей ГАЗ 3110, тыс. км	Уровень сигнала импульса, мВ			
	1-й цилиндр	2-й цилиндр	3-й цилиндр	4-й цилиндр
98,5	–58	–372	–75	–216
186,7	–440	–225	–215	–243
76,3	–338	–46	–38	–257
157,1	–423	–354	–96	–426
143,9	–325	–96	–103	–315

установлено, что при зазоре в выпускном клапане $0,35 \pm 0,05$ мм величина их сигнала составила 150–182 мВ. Любое значение амплитуды вибрационно-акустического импульса, превышающее 182 мВ, говорит о превышении зазора в ГРМ. Проведенные измерения показали, что 13 клапанов из представленной выборки имеют увеличенные зазоры. Сравнение полученных амплитудно-фазовых сигналов с искусственно сформированными зазорами в ГРМ показало на сходимость в пределах 92–98 %. Ошибка от измерения к измерению составила 1–3 %, что соответствует требованиям к оценке достоверности диагностических признаков.

После тарирования датчика разряжения статическим способом проведены измерения на пяти автомобилях ГАЗ 3110 с различными пробегами. Измерения представлены в таблице 2.

Для диагностирования ГРМ использовался восьмиканальный USB Autoscope III. Для измерения величины

разряжения во впускном коллекторе использовался датчик D_x , которым оснащен USB Autoscope III. Для измерения вибрационно-акустических импульсов соударения деталей ГРМ использовался пьезометрический датчик ПД-4 с крепежной трубиной и дополнительными приспособлениями для его крепления на любой вертикальной или горизонтальной поверхности ДВС, в частности, на крышке ГРМ или блоке ДВС автомобилей ГАЗ 3110 (рис. 3).

В результате диагностирования вибрационно-акустическим способом получены данные вибрационных соударений деталей и изменения величины разряжения, фиксируемые с помощью USB-осциллографа в виде осциллограмм амплитудных и фазовых параметров (рис. 4, а, б). Контроль параметров вибрации и пульсаций разряжения во впускном коллекторе производили на холостом ходу: 860 мин^{-1} .

В основной части эксперимента исследованы амплитудные и частотные

Таблица 2

Результаты измерения пульсаций разряжения во впускном коллекторе

Показатели пробега автомобилей ГАЗ 3110, тыс. км	Уровень сигнала импульса, мВ			
	1 цилиндр	2 цилиндр	3 цилиндр	4 цилиндр
160,9	586	225	234	229
125,7	620	540	240	260
97,5	260	570	650	275
108,1	660	680	240	247
220,3	256	272	670	699

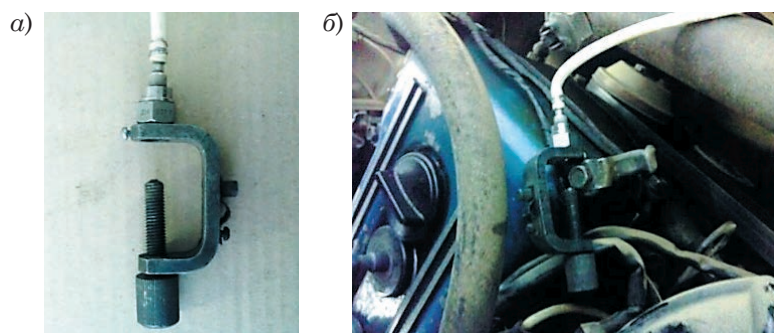


Рис. 3. Пьезометрический датчик (а) для диагностирования деталей ГРМ и других механизмов ДВС автомобилей ГАЗ 3110 и место его крепления (б)

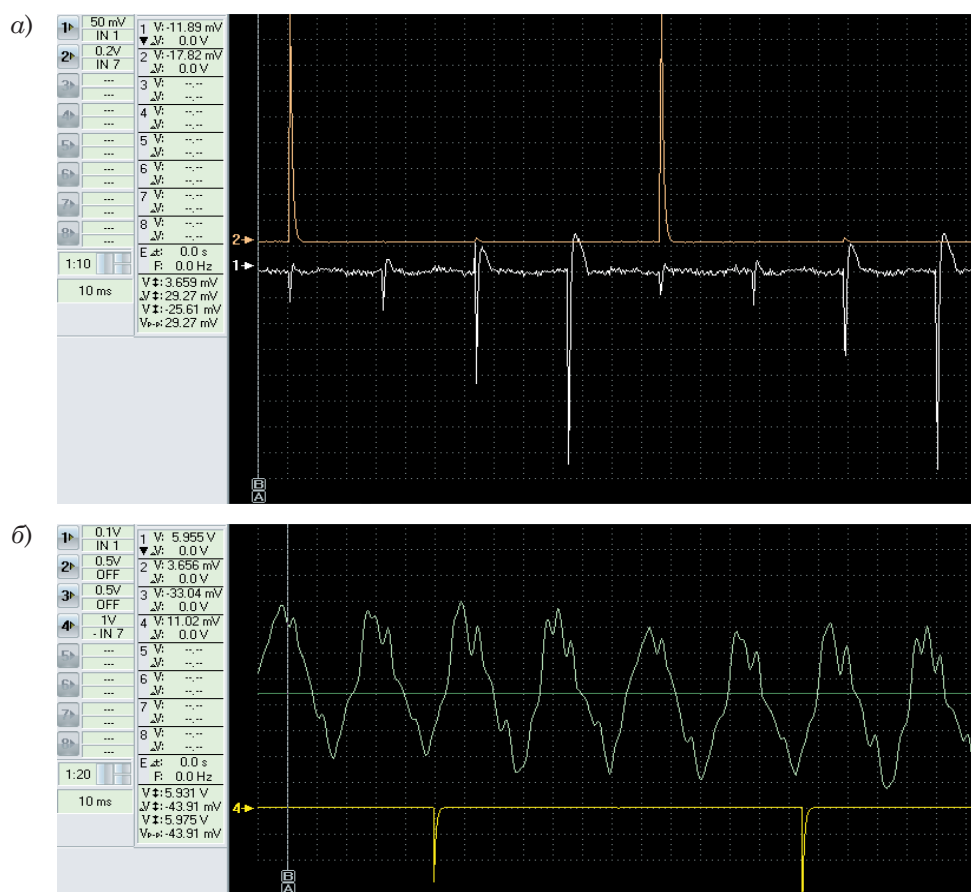


Рис. 4. Интерфейс программы USB-осциллографа
осциллограммы амплитудных и фазовых параметров вибрационно-акустических импульсов (а) при измерениях вибрационно-акустическим датчиком (пьезометрическим датчиком ПД-4) с регистрацией данных USB-осциллографом Постолювского (канал 1 – амплитудные значения вибрационно-акустических импульсов, мВ, канал 2 – синхронизирующие импульсы первого цилиндра системы зажигания, мВ); осциллограммы пульсаций давления во впускном коллекторе двигателя (б), измеренные датчиком разряжения Dx: канал 1 – сигнал пульсации давления, В; канал 4 – синхронизирующие импульсы первого цилиндра системы зажигания, мВ

параметры вибраций клапанных механизмов при вариации тепловых зазоров 0,9, 0,6, 0,3, 0,2, 0,15, 0,1 и 0,05 мм (с частотой вращения коленчатого вала 1000, 1300, 1500 мин⁻¹). Анализ данных показывает, что при зазоре в клапане 0,9 мм фаза вибрационного колебания составила 212 Гц. Начальная амплитуда вибросигнала для всех трех вариантов составила 127 мВ. Максимальная амплитуда вибросигнала составила при 1000 мин⁻¹ – 685 мВ, при 1300 мин⁻¹ – 1770 мВ, при 1500 мин⁻¹ – 2213 мВ. Анализ данных показывает, что при зазоре в клапане 0,2 мм фаза вибрационного колебания составила 589 Гц. Начальная амплитуда вибросигнала для всех трех вариантов составила 79,4–79,6 мВ. Максимальная амплитуда вибросигнала составила при 1000 мин⁻¹ – 87 мВ, при 1300 мин⁻¹ – 121 мВ, при 1500 мин⁻¹ – 184 мВ. Анализ данных показывает, что при зазоре в клапане 0,1 мм фаза вибрационного колебания составила 969 Гц. Начальная амплитуда вибросигнала для всех трех вариантов – 79,1–89,9 мВ. Максимальная амплитуда вибросигнала составила при

1000 мин⁻¹ – 89,9 мВ, при 1300 мин⁻¹ – 89,9 мВ, при 1500 мин⁻¹ – 79,1 мВ.

Выводы

Искусственная установка переходника с жиклером показала, что сигнал пульсации давления 680–700 мВ соответствует полному прогару клапана ГРМ. Однако способ контроля по параметрам пульсации разряжения во впускном коллекторе показал меньшую чувствительность к изменению зазора в ГРМ. Из двух представленных способов следует порекомендовать контроль фазовых и амплитудных значений вибрационно-акустических импульсов. Данный способ позволяет различить увеличение зазора в клапанах ГРМ на 0,01–0,02 мм. Контроль дает хорошие результаты в начальной стадии увеличения зазора в отличие от способа по пульсациям разряжения.

Использование разработанного способа вибрационно-акустической диагностики для контроля зазоров в ГРМ рекомендуется станциям сервиса, автообслуживающим и ремонтным организациям. ■

Литература

1. Urbahs A., Andreyev S. The Problem of Vibro-Acoustic Diagnostics of Gas Turbine Engine Bearing Units / Proceedings 20th International Scientific Conference «Mechanika 2015», 2015. P. 268–271.
2. Komorska I. Diagnostic-Oriented Vibroacoustic Model of the Reciprocating // Engine Solid State Phenomena, 2012. Vol 180. P. 214–221.
3. Ветрогон А. А. Соустова Л. И., Романов А. С. Повышение динамических характеристик двигателя внутреннего сгорания // Актуальные направления научных исследований XXI века: теория и практика, 2016. Т. 4. № 5-4 (25-4). С. 216–221. ISSN 2308-8877.
4. Макушин А. А. Аналитические исследования влияния конструкции ГРМ на показатели ДВС // Автомобильная промышленность, 2012. № 3. С. 12–16. ISSN 0005-2337.
5. Bánlaki P., Magosi Z. Part Failure Diagnosis for Internal Combustion Engine Using Noise and Vibration Analysis // Periodica Polytechnica Transportation Engineering, 2010. Vol. 38 (1). P. 53–60.
6. Boguś P., Merksiz J., Grzeszczyk R., Mazurek S. Nonlinear Analysis of Combustion Engine Vibroacoustic Signals for Misfire Detection. SAE Technical Papers 2003-01-0354.
7. Злотин Г. Н., Лютин К. И. Анализ вибрационных свойств двигателя применительно к системам вибродиагностики механизма газораспределения // Известия Волгоградского государственного технического университета, 2008. Т. 1. № 6 (44). С. 8–11. ISSN 1990-5297.
8. Лютин К. И., Федянов В. Е. Вибродиагностика систем ДВС с использованием нейронных сетей // Энерго- и ресурсосбережение: промышленность и транспорт, 2007. Т. 2. № 8 (34). С. 88–90. ISSN 2500-0586.

9. Gritsenko A., Kukov S., Glemba K. Theoretical underpinning of diagnosing the cylinder group during motoring // *Procedia Engineering*, 2016. Vol. 150. P. 1182–1187.
10. Гриценко А. В. Метод диагностирования газораспределительного механизма по параметрам расхода воздуха и фаз газораспределения ДВС // *АПК России*, 2012. Т. 62. С. 32–34. ISSN 2587-8824.
11. Кузнецов В. Н., Беляев В. И., Мельников Ф. П. Влияние фаз газораспределения на изменение давления во впускном коллекторе многоцилиндрового двигателя // *Вестник Алтайского государственного аграрного университета*, 2014. № 12(122). С. 137–141. ISSN 1996-4277.
12. Plaksin A., Gritsenko A., Glemba K. Experimental studies of cylinder group state during motoring. *Procedia Engineering*, 2016. Vol. 150. P. 1188–1191.
13. Лавриненко О. Определение информативных параметров для системы диагностики газораспределительного механизма ДВС // *Вестник НТУ ХПИ. – Сер. : «Информатика и моделирование»*, 2014. № 62 (1104). С. 87–94. ISSN 2079-0031.
14. Браильчук А. П., Трифонов А. А., Санов Р. С. Виброакустический метод экспресс-диагностики форсунок впрыска легких топлив // *Вестник ХНАДУ*, 2006. Вып. 34–35. С. 208–211. ISSN 2219-5548.
15. Драганов Б. Х., Круглов М. Г. Конструирование впускных и выпускных каналов двигателей внутреннего сгорания. Киев : Вища шк., 1987. 175 с.
16. Борисенко В. А., Барышников С. А. Влияние износа профиля кулачка распределительного вала ДВС на изменение фаз газораспределения / М-лы LIV Междун. науч.-технич. конф. – Челябинск : ЧГАА, 2015. С. 19–23.
17. Борисенко В. А., Барышников С. А. К обоснованию коррекции фаз газораспределения при ремонте ДВС / М-лы LIII Междун. науч.-технич. конф. Челябинск : ЧГАА, 2014. С. 27–30.
18. Усков Д. А., Машрабов Н. М., Борисенко В. А. Диагностирование газораспределительного механизма двигателя внутреннего сгорания на холостом ходу / М-лы LIII Междун. науч.-технич. конф. Челябинск : ЧГАА, 2014. С. 107–111.
19. Балясников А. С., Гриценко А. В., Глемба К. В., Лукомский К. И. Повышение эффективности диагностирования тепловых зазоров клапанов ГРМ с помощью вибродатчика (акселерометра) // *АПК России*, 2018. Т. 25. № 3. С. 377–387. ISSN 2587-8824.

Literature

1. Urbahs A., Andreyev S. The Problem of Vibro-Acoustic Diagnostics of Gas Turbine Engine Bearing Units / *Proceedings 20th International Scientific Conference «Mechanika 2015»*, 2015. P. 268–271.
2. Komorska I. Diagnostic-Oriented Vibroacoustic Model of the Reciprocating // *Engine Solid State Phenomena*, 2012. Vol. 180. P. 214–221.
3. Vetrogon A. A., Soustova L. I., Romanov A. S. Enhancement of internal combustion engine dynamic characteristics // *Up-to-date sectors of XXI century research: theory and practice [Povyshenie dinamicheskikh harakteristik dvigatelya vnutrennego sgoraniya // Aktual'nye napravleniya nauchnykh issledovaniy XXI veka: teoriya i praktika]*. 2016. V. 4. № 5-4 (25-4). P. 216–221. ISSN 2308-8877.
4. Makushin A. A. Analytical studies of GDM structure effect on ICE features // *Motor industry [Analiticheskie issledovaniya vliyaniya konstruktсии GRM na pokazateli DVS // Avtomobil'naya promyshlennost']*. 2012. № 3. P. 12–16. ISSN 0005-2337.
5. Bánlaki P., Magosi Z. Part Failure Diagnosis for Internal Combustion Engine Using Noise and Vibration Analysis // *Periodica Polytechnica Transportation Engineering*, 2010. Vol. 38 (1). P. 53–60.
6. Boguś P., Merksiz J., Grzeszczyk R., Mazurek S. Nonlinear Analysis of Combustion Engine Vibroacoustic Signals for Misfire Detection. *SAE Technical Papers* 2003-01-0354.
7. Zlotin G. N., Lutin K. I. Analysis of engine vibration features with reference to vibrodiagnostics of gas distribution mechanism // *Bulletin of Volgograd state technical university [Analiz vibratsionnykh svoystv dvigatelya primenitel'no k sistemam vibrodiagnostiki mekhanizma gazoraspredeleniya // Izvestiya Volgogradskogo gosudarstvennogo tekhnicheskogo universiteta]*. 2008. V. 1. № 6 (44). P. 8–11. ISSN 1990-5297.
8. Lutin K. I., Fedyanov V. E. Vibrodiagnostics of ICE systems using neuron nets // *Energy and resource efficiency: industry and transport [Vibrodiagnostika sistem DVS s ispol'zovaniem*

- neironnyh setej // Energo- i resursosberezhenie: promyshlennost' i transport]. 2007. V. 2. № 8 (34). P. 88–90. ISSN 2500-0586.
9. Gritsenko A., Kukov S., Glemba K. Theoretical underpinning of diagnosing the cylinder group during motoring // *Procedia Engineering*, 2016. Vol. 150. P. 1182–1187.
 10. Gritsenko A. V. Method of diagnostics of gas distribution mechanism by parameters of air consumption and ICE gas distribution phases // Russia's AIC [Metod diagnostirovaniya gazoraspredelitel'nogo mekhanizma po parametram raskhoda vozduha i faz gazoraspredeleniya DVS // *APK Rossii*]. 2012. V. 62. P. 32–34. ISSN 2587-8824.
 11. Kuznetsov V. N., Belyaev V. I., Melnikov F. P. Effect of gas distribution phases on pressure change in the input collector of a multiple cylinder engine // Herald of Altay state agrarian university [Vliyaniye faz gazoraspredeleniya na izmeneniye davleniya vo vpusknom kollektore mnogotsilindrovogo dvigatelya // *Vestnik Altajskogo gosudarstvennogo agrarnogo universiteta*]. 2014. № 12 (122). P. 137–141. ISSN 1996-4277.
 12. Plaksin A., Gritsenko A., Glemba K. Experimental studies of cylinder group state during motoring. *Procedia Engineering*, 2016. Vol. 150. P. 1188–1191
 13. Lavrinenko O. Determination of informative parameters for ICE gas distribution mechanism diagnostics // «Informatics and modeling» [Opredeleniye informativnykh parametrov dlya sistemy diagnostiki gazoraspredelitel'nogo mekhanizma DVS // *Vestnik NTU HPI*. – Ser. : «Informatika i modelirovaniye». 2014. № 62(1104). P. 87–94. ISSN 2079-0031.
 14. Brailchuck A. P., Trifonov A. A., Sanov R. S. Vibroacoustic method for express diagnostics of light fuel injection nozzles // Herald of XHAJY [Vibroakusticheskij metod ekspress-diagnostiki forsunok vpryska legkikh topliv // *Vestnik HNADU*]. 2006. Issue 34–35. P. 208–211. ISSN 2219-5548.
 15. Draganov B. Kh., Kruglov M. G. Construction of input and output channels of internal combustion engines. Kiev: Higher school. [Konstruirovaniye vpusknykh i vypusknykh kanalov dvigatelej vnutrennego sgoraniya. Kiev : Vissh. shk.]. 1987. 175 p.
 16. Borisenko V. A., Baryshnikov S. A. Impact of cam contour wear of ICE shaft on gas distribution phase change / Proceedings of LIV Internat. sci.-tech. conf. – Chelyabinsk: ChSAA [Vliyaniye iznosa profilya kulachka raspredelitel'nogo vala DVS na izmeneniye faz gazoraspredeleniya / M-ly LIV Mezhdun. nauch.-tekhnich. konf. – Chelyabinsk : ChGAA]. 2015, P. 19–23.
 17. Borisenko V. A., Baryshnikov S. A. Reasoning of gas distribution phase correction in ICE repairs / Proceedings of LIII Internat. sci. tech. conf. Chelyabinsk: ChSAA [K obosnovaniyu korrektsii faz gazoraspredeleniya pri remonte DVS / M-ly LIII Mezhdun. nauch.-tekhnich. konf. Chelyabinsk : ChGAA]. 2014. P. 27–30.
 18. Uskov D. A., Mashrabov N. M., Borisenko V. A. Diagnostics of internal combustion engine gas distribution mechanism at idle / Proceedings of LIII Internat. sci. tech. conf. Chelabinsk: ChSAA [Diagnostirovaniye gazoraspredelitel'nogo mekhanizma dvigatelya vnutrennego sgoraniya na holostom hodu / M-ly LIII Mezhdun. nauch.-tekhnich. konf. Chelyabinsk : ChGAA]. 2014. P. 107–111.
 19. Balyasnikov A. S., Gritsenko A. V., Glemba K. V., Lukomsky K.I. Enhancement of diagnostics efficiency of GDM valve expansion clearances using a vibration sensor (accelerometer) // Russia's AIC [Povysheniye effektivnosti diagnostirovaniya teplovykh zazorov klapanov GRM s pomoshh'yu vibrodatchika (akselerometra) // *APK Rossii*]. 2018. V. 25. № 3. P. 377–387. ISSN 2587-8824.

Статья сдана в редакцию 15 июня 2020 года

Организация и логистика

УДК 658.7.011.1

И. Д. Громов, П. М. Тихонов

Формализация разделенных интересов заказчика и участника закупочной процедуры

UDC 658.7.011.1

I. D. Gromov, P. M. Tikhonov

Formalization of separated interests of a customer and procurement procedure participant

Аннотация

Обозначена актуальность проблемы разделенных интересов хозяйствующих субъектов в закупочной деятельности. Поставлена задача повышения эффективности закупочной деятельности хозяйствующего субъекта за счет обоснованного выбора исполнителя.

Для решения поставленной задачи предложен количественный подход к оценке разделенных интересов заказчика и участника закупочной процедуры.

В рамках подхода введены и формализованы коэффициенты удовлетворения интересов заказчика и участника закупочной процедуры. Основу формализации составляет логичное развитие

действующей на практике методики балльной оценки конкурсных заявок в аспекте разделенных интересов, а также представления о взаимодействии хозяйствующих субъектов в сетевых организационных структурах.

Ожидаемый результат взаимодействия заказчика и участника закупочной процедуры формализован в виде относительного показателя, также характеризующего прочность взаимодействия. Определен запас прочности взаимодействия заказчика и участника.

Адекватность предложенного количественного подхода подтверждена результатами верификации.

На основе количественного подхода сформирован

метод повышения эффективности закупочной деятельности хозяйствующего субъекта.

Повышение эффективности достигается за счет принятия рациональных управленческих решений, обоснованных формализованными интересами заказчика и участника закупочной процедуры.

Возможность практического применения метода, а также удобство интеграции формализованных интересов в распространенные на практике элементы автоматизации процесса оценки конкурсных заявок, подтверждены результатами апробации.

Ключевые слова: закупочная деятельность, хо-

Статья рекомендована к публикации Д. И. Кочневой, канд. техн. наук, доцентом Уральского государственного университета путей сообщения. E-mail: DKochneva@usurt.ru.

Игорь Дмитриевич Громов, канд. техн. наук, доцент; кафедра «Путь и железнодорожное строительство» Уральского государственного университета путей сообщения; ведущий инженер Свердловского ТЦФТО – ЦФТО – филиала ОАО «РЖД»; Екатеринбург, Россия. E-mail: idgromov@gmail.com. ORCID 0000-0003-2765-9967.

Павел Михайлович Тихонов, инженер; начальник отдела комплектования локомотивов расходными материалами ООО «СТМ-Сервис»; Екатеринбург, Россия. E-mail: tikhonov.p.m@gmail.com. ORCID 0000-0002-3543-7312.

The article is recommended for publishing by D.I. Kochneva, Cand. of tech.sci., Associate Professor, Ural state university of railway transport. E-mail: DKochneva@usurt.ru.

Igor Dmitrievich Gromov, Cand. of tech. sci.; «Railway track and construction» Chair; Yekaterinburg, Russia. E-mail: idgromov@gmail.com. ORCID 0000-0003-2765-9967.

Pavel Mikhaylovich Tikhonov, Engineer; Head of the locomotive supplies Chair, STM-Service LLC; Yekaterinburg, Russia. E-mail: tikhonov.p.m@gmail.com. ORCID 0000-0002-3543-7312.

зяйствующие субъекты, разделенные интересы, формализация интересов, коэффициенты удовлетворения интересов, прочность взаимодействия.

DOI: 10.20291/2079-0392-2020-3-74-80

Abstract

The relevance of the problem of separated interests of economic subjects in procurement is outlined. The task of enhancement of economic subject procurement efficiency by virtue of reasonable choice of an executor is set.

To solve the targeted task, a quantitative approach to assessment of separated interests of a customer and procurement procedure participant was proposed.

Within the approach, coefficients of satisfying interests

of a customer and procurement procedure participant were introduced and formalized.

The foundation of formalization lies in logical development of existing score assessment methods of tender applications as regards separated interests as well as the notion of interaction of economic subjects in network organization structures.

The expected result of interaction of a customer and procurement procedure participant is formalized in terms of a relative indicator, also characterizing interaction tenacity. The underlying strength of interaction of a customer and participant is determined.

Appropriateness of the proposed quantitative approach is proved by verification results.

The method of efficiency enhancement of economic subject procurement is formed on the basis of quantitative approach.

Enhancement of efficiency is achieved through making rational managerial decisions, well-grounded by formalized interests of a customer and procurement procedure participant.

Feasibility of this method as well as integration convenience of formalized interests into practically frequent automation elements of assessment of tender applications are confirmed by approbation results.

Key words: procurement, economic subjects, separated interest, formalization of interests, coefficients of satisfying interests, interaction tenacity.

DOI: 10.20291/2079-0392-2020-3-74-80

Тактика и стратегия поведения хозяйствующих субъектов базируются на их финансово-хозяйственных интересах. Разделённые интересы мешают принятию рациональных решений на всех управленческих уровнях, в различных сферах экономики, на всех стадиях производства. Не исключение и закупочная деятельность.

Как специфичная форма экономического взаимодействия хозяйствующих субъектов в условиях свободного рынка закупочная деятельность с ее сложившейся практикой и действующим нормативным регулированием характеризуется преобладанием интересов заказчика над исполнителем.

Задача настоящего исследования – разработка метода повышения эффективности закупочной деятельности хозяйствующего субъекта за счет более обоснованного выбора исполнителя в пределах основных принципов и положений, установленных нормативными документами [1–3].

Решение поставленной задачи возможно без разработки количествен-

ного подхода к оценке разделенных интересов заказчика и участника закупочной процедуры. В качестве основы подхода использована формализация взаимодействия хозяйствующих субъектов в сетевых организационных структурах, предложенная в работах [4–6].

Формализацию разделенных интересов заказчика и участника закупочной процедуры рассмотрим на примере конкурентных закупок.

Методологическая основа для моделирования конкурентной закупочной процедуры со стороны заказчика сформирована в работе [7]. Выбор исполнителя соответствует предпоследнему этапу работу модели закупочного процесса агента-заказчика, аспект разделенных интересов не учитывается.

В общем виде интересы заказчика реализуются при выборе вида закупочной процедуры, расчете начальной максимальной цены контракта (НМЦК), разработке методики балльной оценки заявок и контроле исполнения.

Интересы участника, в свою очередь, реализуются за счет использования

производственных мощностей: формирование прибыли и опыт участника для последующих закупочных процедур.

Цель взаимодействия заказчика и участника закупочной процедуры – объект закупки. Их стремление к взаимодействию, то есть достижению обозначенной цели взаимодействия, можно представить в виде схемы (рис. 1).

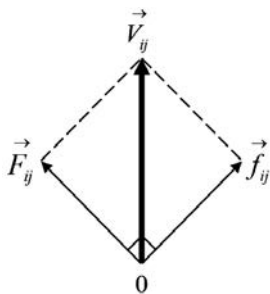


Рис. 1. Схема взаимодействия заказчика и участника

\vec{F}_{ij} – сила, характеризующая стремление i -го заказчика; \vec{f}_{ij} – сила, характеризующая стремление j -го участника; \vec{V}_{ij} – результирующая сила взаимодействия

Векторы \vec{F}_{ij} и \vec{f}_{ij} являются компланарными, но не коллинеарными. Это объясняется тем, что единая цель взаимодействия достигается за счет различных способов реализации интересов заказчика и участника.

В качестве длины векторов логично использовать коэффициенты удовлетворения интересов, предложенные в работах [8–10]:

$$\begin{cases} |\vec{F}_{ij}| = K_{ij} \\ |\vec{f}_{ij}| = k_{ij} \end{cases} \quad (1)$$

Тогда длина вектора \vec{V}_{ij} равна:

$$|\vec{V}_{ij}| = \sqrt{K_{ij}^2 + k_{ij}^2}. \quad (2)$$

Так как \vec{V}_{ij} характеризует степень достижения цели взаимодействия, ее скалярную величину можно представить в виде отношения:

$$\left| \vec{V}_{ij} \right| = \frac{q_{ij}}{Q}, \quad (3)$$

где q_{ij} – ожидаемый результат взаимодействия i -го заказчика и j -го участника закупочной процедуры; Q – запланированный результат взаимодействия (объект закупки в натуральном выражении).

Объединив вышеизложенное, определим ожидаемый результат взаимодействия q_{ij} :

$$\begin{aligned} \frac{q_{ij}}{Q} &= \sqrt{K_{ij}^2 + k_{ij}^2}, \\ q_{ij} &= Q \sqrt{K_{ij}^2 + k_{ij}^2}. \end{aligned} \quad (4)$$

Полученная зависимость может быть интерпретирована через основной закон динамики. Массе материальной точки условно соответствует объект закупки Q , приобретаемому ускорению – совокупное стремление заказчика и участника, определенное выражением $\sqrt{K_{ij}^2 + k_{ij}^2}$. Не противоречит логике и то, что сила, вызывающая ускорение, оценивается ожидаемым результатом взаимодействия заказчика и участника q_{ij} .

Из изложенного следует, что под q_{ij} необходимо понимать некоторую условную относительную величину.

Предполагая, что $K_{ij} \in [0;1]$, $k_{ij} \in [0;1]$, получаем $q_{ij} \in [0;Q\sqrt{2}]$.

Под интервалом значений $[Q;Q\sqrt{2}]$ логично понимать запас прочности взаимодействия заказчика и участника. Это объясняется тем, что высокая степень удовлетворения интересов безусловно способствует решению возникающих бюрократических, производственных и прочих вопросов, повышая вероятность достижения запланированного результата.

Верификация сформированной зависимости на ожидаемом интервале значений коэффициентов K_{ij} , k_{ij} представлена на рис. 2.

Достижение запланированного результата при K_{ij} , $k_{ij} \geq 0,7$ представляется адекватным и свидетельствует о возможности применения зависимости

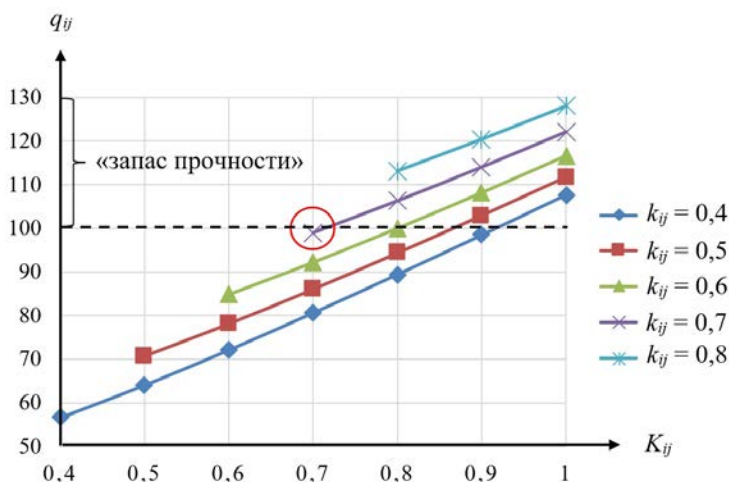


Рис. 2. Результаты верификации показателя q_{ij} при $Q = 100$ у. е. продукции

в практических расчетах без добавления вспомогательных коэффициентов.

На основании предложенного подхода к формализации интересов сформируем метод повышения эффективности закупочной деятельности хозяйствующего субъекта.

Процесс выбора победителя закупочной процедуры можно формализовать в виде решения оптимизационной задачи со следующей системой условий:

$$C = \begin{cases} q_{ij} \rightarrow \max \\ K_{ij} \geq k_{ij} \end{cases} \quad (5)$$

Решение задачи не требует применения дополнительного математического аппарата. Каждой допущенной заявке присваивается показатель q_{ij} . Победителем признается участник, выполнивший дополнительное условие, заявке которого присвоено наибольшее значение показателя.

Практическое применение метода требует разработки объективной и понятной методики определения коэффициентов удовлетворения интересов K_{ij} , k_{ij} .

На начальном этапе исследования для определения коэффициентов предлагается использовать общепринятую балльную методику оценки заявок.

Выбор критериев и их значимости осуществляется заказчиком исключительно на основании собственных интересов. Тогда соответствие рассчитанных критериев максимально возможным значениям и есть степень удовлетворения интересов заказчика:

$$K_{ij} = \frac{P_{ij}}{P_{\max}}, \quad (6)$$

где P_{ij} – интегральная балльная оценка заявки j -го участника; P_{\max} – максимально возможная оценка, предусмотренная методикой.

На выбор критериев в первую очередь влияет специфика объекта закупки. Помимо основного критерия – «цена договора», могут применяться и неценовые критерии, например, «опыт участника», «квалификация персонала», «финансовое состояние участника», «наличие фактов неисполнения обязательств».

Участник процедуры рассматривает на соответствие собственным интересам цену договора и установленные в техническом задании технические характеристики объекта, сроки поставки или выполнения работ и условия оплаты.

Для исключения случаев завышения k_{ij} при самостоятельном расчете участником предлагается:

– заказчику при рассмотрении и оценке заявок одновременно определять K_{ij} , k_{ij} с сохранением принципов анонимности участников и объективности оценки;

– при определении k_{ij} учитывать, что факт направления заявки свидетельствует об экономической целесообразности взаимодействия для участника даже с учетом предложенного снижения НМЦК. При этом степень удовлетворения интересов участника уменьшается пропорционально предложенному снижению НМЦК;

– предусмотреть наличие единого поправочного коэффициента, учитывающего удовлетворение участников прочими параметрами, указанными в техническом задании.

Таким образом, коэффициент k_{ij} может быть определен по формуле:

$$k_{ij} = \frac{c_{ij}}{\text{НМЦК}} \pm \alpha, \quad (7)$$

где c_{ij} – предложение j -го участника по критерию «цена договора»; α – поправочный коэффициент.

Методы определения и обоснования НМЦК регламентированы нормативными документами [2, 11].

Использование поправочного коэффициента, единого для всех участников закупки, призвано частично нивелировать недостатки метода экспертных оценок. Методика определения коэффициента требует отдельного исследования.

Предложенный метод повышения эффективности закупочной деятельности проверим на примере закупки, состоявшейся для нужд ремонтно-строительного подразделения холдинга «РЖД» в виде открытого конкурса. Объект закупки – выполнение проектных работ, инженерных изысканий, работ по сбору исходных данных и получению разрешительной документации по двухпутной вставке на перегоне А–Б участка Свердловской железной дороги.

К рассмотрению и оценке было допущено четыре заявки ($j \in [1:4]$) (рис. 3).

По наивысшей оценке заявки (90,44) конкурсная комиссия ОАО «РЖД» признала победителем участника № 1.

По открытым данным закупочной документации рассчитаны показатели K_{ij} , k_{ij} , q_{ij} . Учитывая, что объектом закупки является услуга, принято $Q = 1$ услуги. Назначен поправочный коэффициент $\alpha = -0,1$.

Результаты расчета представлены на рис. 4.

Полученные результаты подтверждают целесообразность выбора участника № 1 в качестве победителя, при этом: а) достижение запланированного результата обеспечено интересами каждого участника закупочной процедуры. Наибольший запас прочности ожидается от взаимодействия заказчика с участником № 1; б) дополнительное условие системы (5) не соблюдается для предложения участника № 2. Фактически

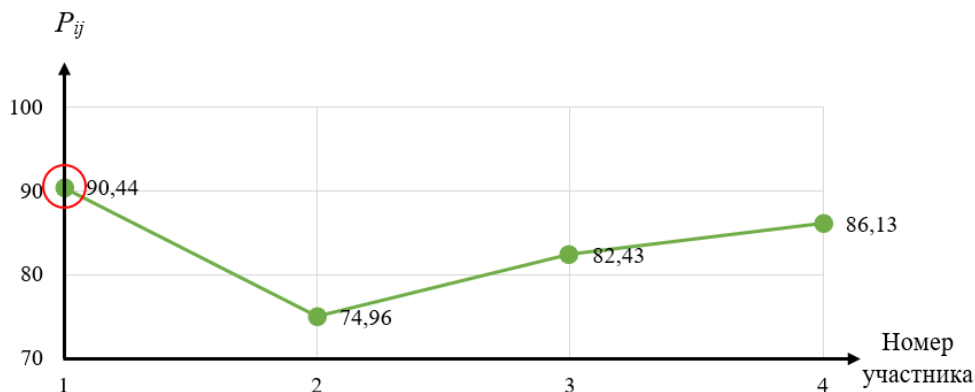


Рис. 3. График сравнения балльных оценок P_{ij}

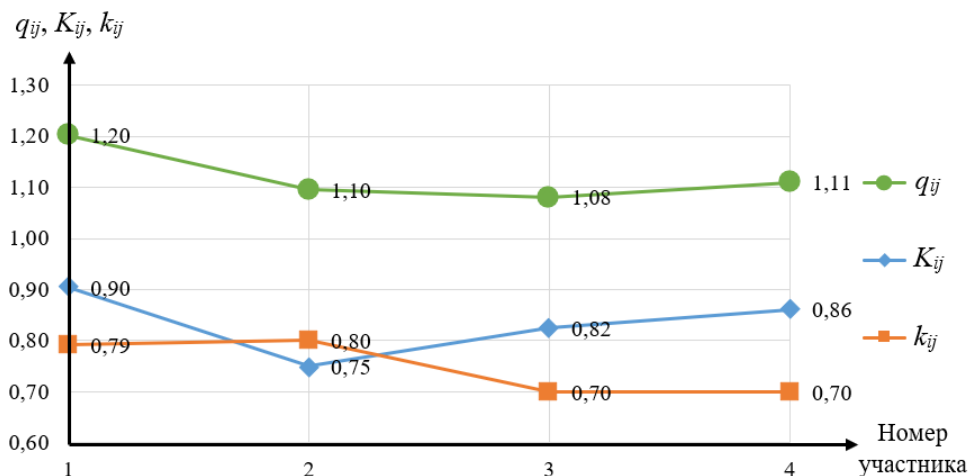


Рис. 4. График сравнения показателей K_{ij} , k_{ij} , q_{ij}

заявке была присвоена наименьшая балльная оценка P_{ij} .

Результат настоящего исследования – разработка метода повышения эффективности закупочной деятельности хозяйствующего субъекта, не противоречащего основным принципам и положениям закупочной деятельности.

Повышение эффективности достигается за счет принятия рациональных управленческих решений, обоснованных формализованными интересами заказчика и участника закупочной процедуры.

Предложенная формализация интересов логично развивает действующую на практике методику балльной оценки конкурсных заявок в аспекте разделенных интересов.

Формализованные интересы удобно интегрируются в распространенные на практике элементы автоматизации процесса оценки конкурсных заявок.

Настройка метода проводится с учетом как положительного, так и отрицательного опыта закупочной деятельности хозяйствующего субъекта. ■

Литература

1. О закупках товаров, работ, услуг отдельными видами юридических лиц : федеральный закон. URL: http://www.consultant.ru/document/cons_doc_LAW_116964/ (дата обращения: 13.07.2020).
2. О контрактной системе в сфере закупок товаров, работ, услуг для обеспечения государственных и муниципальных нужд : федеральный закон. URL: http://www.consultant.ru/document/cons_doc_LAW_144624/ (дата обращения: 13.07.2020).
3. О защите конкуренции : федеральный закон. URL: http://www.consultant.ru/document/cons_doc_LAW_61763/ (дата обращения: 13.07.2020).
4. Сай В. М., Сизый С. В. Образование, функционирование и распад организационных сетей : монография. – Екатеринбург : УрГУПС, 2011. 270 с. ISBN 978-5-94614-199-4.
5. Громов И. Д., Москвина Ю. А. Графоаналитическая модель организационной сети с разделенными интересами // Вестник УрГУПС. № 1 (21). 2014. С. 36–45. ISSN 2079-0392.
6. Сай В. М., Громов И. Д. Количественная оценка организационной сети компании ОАО «РЖД» // Транспорт Урала. № 3 (45). 2015. С. 43–58. ISSN 1815-9400.
7. Сай В. М., Тихонов П. М. Моделирование действий агента-заказчика при закупочной процедуре // Вестник УрГУПС. № 2 (46). 2020. Р. 51–68. ISSN 2079-0392.
8. Сизый С. В., Фомина В. К. Оценки экономической привлекательности предприятий с использованием линейных форм // Вестник УрГУПС. 2009. № 3–4. С. 16–20. ISSN 2079-0392.

9. Громов И. Д. Формализация и настройка организационных сетей с разделенными интересами // Вестник РГУПС. № 2 (58). 2015. С. 80–89. ISSN 0201-727X.
10. Антропов В. А., Громов И. Д. Организационные показатели взаимодействия хозяйствующих субъектов промышленности в сети с разделенными интересами // Вестник УрГУПС. № 1 (25). 2015. С. 29–37. ISSN 2079-0392.
11. Об утверждении методических рекомендаций по применению методов определения начальной (максимальной) цены контракта, цены контракта, заключаемого с единственным поставщиком (подрядчиком, исполнителем) : приказ Министерства экономического развития Российской Федерации. URL: <https://base.garant.ru/70473958/> (дата обращения: 20.07.2020).

Literature

1. Concerning procurement of goods, work, services by legal entities: federal law [O zakupkah tovarov, rabot, uslug ot del'nymi vidami yuridicheskikh lits : federal'nyy zakon]. URL: http://www.consultant.ru/document/cons_doc_LAW_116964/ (reference date: 13.07.2020).
2. Concerning contract system in the field of procurement of goods, work, services to provide state and municipal needs: federal law [O kontraktnej sisteme v sfere zakupok tovarov, rabot, uslug dlya obespecheniya gosudarstvennyh i munitsipal'nyh nuzhd : federal'nyy zakon]. URL: http://www.consultant.ru/document/cons_doc_LAW_144624/ (reference date: 13.07.2020).
3. Concerning protection of competitiveness: federal law [O zashhite konkurentсии: federal'nyy zakon]. URL: http://www.consultant.ru/document/cons_doc_LAW_61763/ (reference date: 13.07.2020).
4. Say V. M., Sizy S. V. Formation, functioning and disintegration of organization networks: monograph. – Yekaterinburg: USURT [Obrazovanie, funktsionirovanie i raspad organizatsionnyh setej : monografiya. – Ekaterinburg : UrGUPS]. 2011. 270 p. ISBN 978-5-94614-199-4.
5. Gromov I. D., Moskvina Yu. A. Graphical-analytic model of organization network with separated interests // Herald of USURT [Grafoanaliticheskaya model' organizatsionnoj seti s razdelennymi interesami // Vestnik UrGUPS]. № 1 (21). 2014. P. 36–45. ISSN 2079-0392.
6. Say V. M., Gromov I. D. Quantitative assessment of JSC RZD organization network // Transport of the Urals [Kolichestvennaya otsenka organizatsionnoj seti kompanii OAO «RZhD» // Transport Urala]. № 3(45). 2015. P. 43–58. ISSN 1815-9400.
7. Say V. M., Tikhonov P. M. Modelling of behavior of agent-customer in procurement procedure // Herald of USURT [Modelirovanie dejstvij agenta-zakazchika pri zakupochnoj protsedure // Vestnik UrGUPS]. № 2 (46). 2020. P. 51–68. ISSN 2079-0392.
8. Sizy S. V., Fomin V. K. Assessments of economic attractiveness of enterprises with the use of linear forms // Herald of USURT [Otsenki ekonomicheskoy privlekatel'nosti predpriyatij s ispol'zovaniem linejnyh form // Vestnik UrGUPS]. 2009. № 3–4. P. 16–20. ISSN 2079-0392.
9. Gromov I. D. Formalization and settlement of organization networks with separated interests // Herald of RSURT [Formalizatsiya i nastrojka organizatsionnyh setej s razdelennymi interesami // Vestnik RGUPS]. № 2 (58). 2015. P. 80–89. ISSN 0201-727X.
10. Antropov V. A., Gromov I. D. Organization indicators of interaction of economic subjects in the network with separated interests // Herald of USURT [Organizatsionnye pokazateli vzaimodejstviya hozyajstvuyushhih sub'ektov promyshlennosti v seti s razdelennymi interesami // Vestnik UrGUPS]. № 1 (25). 2015. P. 29–37. ISSN 2079-0392.
11. Concerning methodical recommendations for usage of methods to determine initial (maximum) contract cost, cost of the contract concluded with an only supplier (subcontractor, executor): Russian Federation Ministry of economic development order [Ob utverzhdenii metodicheskikh rekomendatsij po primeneniyu metodov opredeleniya nachal'noj (maksimal'noj) tseny kontrakta, tseny kontrakta, zaklyuchaemogo s edinstvennym postavshhikom (podryadchikom, ispolnitelem) : prikaz Ministerstva ekonomicheskogo razvitiya Rossijskoj Federatsii]. URL: <https://base.garant.ru/70473958/> (reference date: 20.07.2020).

Статья сдана в редакцию 31 июля 2020 года

УДК 656.025.6, 656.022.41

Д. Ю. Роменский, К. А. Калинин

Обоснование величины потребного интервала между транспортными средствами в пригородно-городских пассажирских перевозках на примере работы железнодорожных диаметров

UDC 656.025.6, 656.022.41

D. Yu. Romenskiy, K. A. Kalinin

Justification of the value of required interval between vehicles in suburban and urban passenger transportation on the example of railway diameters

Аннотация

При проектировании пассажирских транспортных систем и моделировании их работы перед исследователями встаёт проблема выбора потребительских свойств транспортной системы. В современных условиях для конкуренции с другими видами транспорта каждая транспортная система должна предложить пассажиру непрерывный режим работы, при котором пассажиру не нужно подстраиваться под расписание, нужно лишь прибыть на остановочный пункт и дожидаться ближайшего транспортного средства (поезда, автобуса и т.д.). Одной из важнейших характеристик, необходимых для проектирования и моделирования, является время, которое пассажир готов затратить на ожидание транспортного средства на станции без снижения комфорта перевозки. В работе выявлены закономерности между такими важнейшими параметрами расписаний, как максимально допустимая (оптимальная для организатора перевозок) и комфортная (для пассажира) величина интервалов между транспортными средствами на примере пригородно-городских железнодорожных пассажирских перевозок. Введена качественная оценка параметра тактовости графика движения транспортных средств. Определены величины комфортных и максимально допустимых интервалов между поездами в зависимости от дальности (продолжительности) поездки.

Ключевые слова: расписание, тактовый интервал, пассажирские перевозки, корреляция, комфорт пассажира, пригородно-городские перевозки, качество обслуживания.

DOI: 10.20291/2079-0392-2020-3-81-88

Abstract

When designing passenger transport systems and modeling their operation, researchers face the problem of choosing the consumer properties of the transport system. In modern conditions, in order to compete with other modes of transport, each transport system must offer the passenger a continuous mode of operation, in which the passenger does not need to adjust to the schedule, but only needs to arrive at the stop point and wait for the nearest vehicle (train, bus, etc.). One of the most important characteristics required for design and simulation is the time that a passenger is willing to spend waiting for a vehicle at a station without compromising the comfort of transportation. The paper reveals regularities between such important parameters of schedules as the maximum allowable (optimal for the organizer of transportation) and comfortable (for the passenger) value of intervals between vehicles on the example of suburban-urban railway passenger transportation. A qualitative estimation of the speed parameter of the vehicle traffic schedule is introduced. The values of comfortable and maximum permissible intervals between trains are determined depending on the distance (duration) of the trip.

Keywords: schedule, clock interval, passenger transportation, correlation, passenger comfort, suburban and urban transportation, quality of service.

DOI: 10.20291/2079-0392-2020-3-81-88

Статья рекомендована к публикации Г. Л. Аккерманом, д-ром техн. наук, профессором Уральского государственного университета путей сообщения. E-mail: GAKkerman@usurt.ru.

Дмитрий Юрьевич Роменский, старший преподаватель; кафедра «Управление транспортным бизнесом и интеллектуальные системы» Российского университета транспорта (МИИТ); Москва, Россия. E-mail: romensky@miit.ru. ORCID 0000-0002-3693-5508.

Кирилл Антонович Калинин, аспирант; кафедра «Управление транспортным бизнесом и интеллектуальные системы» Российского университета транспорта (МИИТ); Москва, Россия. E-mail: achklinkl@mail.ru. ORCID 0000-0001-6155-0012.

The article is recommended for publishing by G. L. Ackerman, Doctor of technical Sciences, Professor, Ural state university of railway transport. E-mail: GAKkerman@usurt.ru.

Dmitry Yuryevich Romensky, Senior Lecturer, Department of transport business management and intelligent systems, Russian university of transport (MIIT), Moscow, Russia. E-mail: romensky@miit.ru. ORCID 0000-0002-3693-5508.

Kirill Antonovich Kalinin, Postgraduate student, Department of transport business management and intelligent systems, Russian university of transport (MIIT), Moscow, Russia. E-mail: achklinkl@mail.ru. ORCID 0000-0001-6155-0012.

Развитие пассажирских транспортных систем неизбежно сталкивается с дилеммой, в которой, с одной стороны, есть желание обеспечить максимально комфортные параметры перевозок, с другой, желание организатора перевозок минимизировать издержки. Поэтому в транспортном планировании важно найти компромиссные (оптимальные) размеры движения транспортных средств.

Как правило, исследователи принимают ожидания пассажиров к качеству расписаний транспорта в виде допущений (исходных данных) на основе эмпирического опыта работы конкретных транспортных систем. Нельзя точно сказать, чего хочет пассажир, даже несмотря на то, что именно от адекватности принятых допущений и целевых параметров качества работы транспортной системы во многом зависит результат такого ресурсоёмкого расчёта, как моделирование.

Необходимо найти закономерность между такими важнейшими параметрами расписаний, как максимально допустимая (оптимальная для организатора перевозок) и комфортная (для пассажира) величина интервалов между транспортными средствами. То есть закономерность между длиной планируемой поездки и временем ожидания, которое пассажир готов потратить на остановочном пункте или вокзале в ожидании транспортного средства нужного ему маршрута без изменения первоначального плана поездки (например, переход на альтернативный вид транспорта или отказа от поездки).

Опыт работы наземного городского пассажирского транспорта Москвы и дальнейший запуск новых сервисов городских и пригородно-городских железнодорожных перевозок МЦК и МЦД [1] подтверждает перспективность и эффективность тактовых принципов построения расписаний [2, 3]. Наравне с другими параметрами сервиса, тактовый график увеличивает пассажиропоток на линии и изменяет восприятие пассажиром транспортного продукта [4].

Внедрение графика движения поездов с высокой долей пригородно-городских электропоездов, следующих в тактовом режиме, позволяет обеспечить равномерный интервал между поездами в течение суток. Единый интервал в каждый характерный период суток (пиковые и непиковые периоды) улучшит качество предоставляемого сервиса за счет равномерного накопления и погашения пассажиропотока на остановочных пунктах и отсутствия необходимости у пассажира корректировать время прибытия на остановочный пункт в зависимости от расписания движения поездов [5–7]. Единый и понятный пассажиру принцип построения расписаний (одинаковый интервал между транспортными средствами) на каждом из характерных рынков транспортных услуг имеет также социально-экономический эффект [8].

Режим остановок пригородно-городских электропоездов определяется из обязательного требования максимально возможного числа остановок на маршруте в высокоурбанизированной зоне. Режим остановок электропоездов за пределами этой зоны определяется в пределах такта расписания в зависимости от категории поезда и ниши транспортного рынка, на который ориентирован данный поезд [9–11]. Общими остаются следующие принципы: электропоезда ближних зон имеют максимальное число остановок по всем или почти по всем остановочным пунктам, электропоезда дальних пригородных зон имеют максимальное число остановок по дальним зонам, а в ближних зонах только по ключевым пунктам, межобластные (региональные) электропоезда имеют самый минимальный режим остановок.

Для сервиса городских пассажирских перевозок не допускается дневной перерыв. Например, в Московском железнодорожном узле на всех направлениях, кроме участков Москва – Солнечная и Москва – Мытищи – Пушкино в графиках движения в рабочие дни предусмотрен 2-2,5-часовой технологический перерыв для выполнения работ

по текущему содержанию железнодорожной инфраструктуры [12, 13]. За рубежом работы по диагностике и ремонту объектов железнодорожной инфраструктуры на участках с интенсивным пригородно-городским движением выполняются только в ночное время.

Для численной оценки такого качественного параметра, как такт графика движения поездов (расписание поездов для пассажиров), введём коэффициент тактовости перевозок $v^{k,i}$. Тактовость графика движения поездов в пригородно-городских перевозках необходимо рассматривать для выбранных маршрутов (i), на участках (k) и на станциях и остановочных пунктах (j). Для эффективной работы пригородного и пригородно-городского сервиса пассажирских перевозок коэффициент тактовости перевозок должен стремиться к единице ($v^{k,i} \rightarrow 1$), то есть максимальное возможное количество поездов (транспортных средств) должно следовать с тактовым расписанием с равными интервалами времени между ними.

Коэффициент тактовости графика на участке k определяется, если все рассматриваемые поезда пригородного и пригородно-городского сообщения участка k имеют единый режим (перечень) остановок:

$$v^{k,i} = \frac{\sum_{t=n}^m N_m^i}{\sum_{t=n}^m N^k}, \quad (1)$$

где $\sum_{t=n}^m N^k$ – общее количество «ниток» графика движения поездов пригородного и пригородно-городского сообщения на рассматриваемом участке за выбранный период; $\sum_{t=n}^m N_m^i$ – общее количество «ниток» графика движения поездов, следующих в тактовом режиме по рассматриваемому маршруту за выбранный период; n – момент времени начала рассматриваемого периода (пикового или непикового); m – момент

времени окончания рассматриваемого периода.

При организации движения поездов с различным режимом остановок целесообразно рассматривать коэффициент тактовости для каждой отдельной взятой станции или остановочного пункта v^j в этом случае:

$$v^j = \frac{\sum_{t=n}^m N_m^j}{\sum_{t=n}^m N^j}, \quad (2)$$

где $\sum_{t=n}^m N^j$ – общее количество пригородных и пригородно-городских поездов, проходящих через данный раздельный пункт; $\sum_{t=n}^m N_m^j$ – общее количество пригородных и пригородно-городских поездов, останавливающихся на данном раздельном пункте в тактовом режиме.

При выборе вида транспорта для поездки в черте города при прочих равных (комфорт поездки, стоимость проезда и так далее) другим важным критерием является интервал проследования транспортных средств. Чем он меньше, тем это удобнее пассажиру, так как уменьшается время в пути и снижается транспортная усталость. Однако увеличение размеров движения транспортных средств увеличивает издержки организатора перевозки. С точки зрения пассажира, для пригородно-городского сервиса целесообразно рассматривать следующие величины межпоездного интервала: 1) минимальный комфортно воспринимаемый интервал $I_{\min \text{ комф}}$; 2) предельный конкурентоспособный интервал $I_{\max \text{ пред}}$.

Величина комфортного интервала и предельного межпоездного интервала зависит:

1) от общего времени поездки. При дальнейшем анализе время в пути будет рассматриваться по поясам с шагом в городской зоне с продолжительностью

поездки от 0 до 60 мин – 10 мин, в пригородной зоне с продолжительностью поездки 60–120 мин – 20 мин;

2) характера поездки. По характеру целесообразно рассматривать следующие категории поездок: «последнее плечо» подвоза, внутригородская спонтанная поездка, маятниковая рабочая миграция, разовая спланированная поездка.

Категории «последнего плеча» и спонтанной поездки меньше устойчивы к изменению ситуации на рынке транспортных услуг; особенность такого типа перевозок заключается в динамичном изменении предпочтений в используемом виде транспорта в зависимости от качества и развития предоставляемых услуг. Комфортный интервал для таких поездок должен быть минимален. Спрос на поездки 3-й и 4-й категорий железнодорожным транспортом более устойчив, увеличение комфортного интервала между поездками меньше влияет на спрос.

На величину комфортного интервала в пригородном и пригородно-городском сообщении влияют естественные климатические условия рассматриваемого региона. Температурные отклонения уменьшают величину $I_{\min \text{ комф}}$ и $I_{\max \text{ пред}}$.

В таблице приведены значения комфортного ($I_{\text{восп. комф}}$) и предельного ($I_{\text{восп. пред}}$) воспринимаемого межпоездных интервалов, составленных эмпирическим путём на основе анализа работы пригородно-городских перевозок в Московском и Санкт-Петербургском железнодорожных узлах (однако значения интервалов определяются физиологическими и социальными предположениями в поведении пассажиров и не должны сильно отличаться при их опробовании в различных транспортных системах городов и агломераций). Значения комфортного интервала определены на поясах транспортного обслуживания в зависимости от времени поездки в пределах до 60 мин – с шагом в 10 мин, от 60 до 120 мин – с шагом в 20 мин.

Для каждого рассматриваемого временного пояса определим коэффициент

ожидания в пути $\chi_{\min, \max}$, представляющий отношение величины воспринимаемого интервала к общей предельной продолжительности поездки:

$$\chi_{\min, \max} = \frac{t_{\text{ож. пасс}}}{t_{\text{ож. пасс}} + t_{\text{в пути}}}, \quad (3)$$

где $t_{\text{ож. пасс}}$ – предельное время ожидание пассажира (в рассматриваемом случае предельное время ожидания пассажира составляет величину рассматриваемого межпоездного интервала) $t_{\text{ож. пасс}} = I_{(\min, \max)}$; $t_{\text{в пути}}$ – среднее время следования пассажира на выбранной корреспонденции.

Для приведенных оценок комфортных интервалов и коэффициента ожидания в пути определим коэффициент корреляции по отношению к среднему времени поездки в рассматриваемом временном поясе методом квадратов по формуле:

$$r_{(I, \chi), i} = \frac{\sum_{nti=1}^j (d_{(I, \chi)} \cdot d_{ii})}{\sqrt{\sum_{nti=1}^j d_{(I, \chi)}^2 \cdot \sum_{nti=1}^j d_{ii}^2}}, \quad (4)$$

где nti – номер выбранного временного пояса расчета (в рассматриваемом примере от 1 до 9); j – порядковый номер последнего рассматриваемого временного пояса; $d_{(I, \chi)}$ – отклонение числового значения от среднего значения рассматриваемого вариационного ряда комфортных интервалов или коэффициента ожидания в пути; d_{ii} – отклонение числового значения от среднего значения времени в пути в рассматриваемом временном поясе.

Из приведенных расчётов можно сделать вывод, что в условиях железнодорожного транспорта не могут быть обеспечены условия поездок, отвечающие ожиданиям пассажиров к качеству сообщений на малых расстояниях поездки (менее 10 мин в пути). Это подтверждает тезис о роли железнодорожного транспорта как магистрального вида наземного транспорта в пригородно-городских перевозках, призванного

Комфортный интервал поездки по временным поясам

Параметр	Рассматриваемые пояса									Ср. арифм.	Сумма	Коэф. корреляции
	1	2	3	4	5	6	7	8	9			
$t_{\text{в пути, мин}}$	0–10	10–20	20–30	30–40	40–50	50–60	60–80	80–100	100–120			
$I_{\text{восп комф, мин}}$	1	2,5	4	5	6,5	7,5	8,5	10	12	6,33	57,00	0,9902
$I_{\text{восп пред, мин}}$	3,5	10	15	20	25	30	30	40	45	24,28	218,50	0,9844
$\chi_{\text{мин}}$	0,17	0,14	0,14	0,13	0,13	0,12	0,11	0,10	0,10	0,13	1,13	–0,9430
χ_{max}	0,41	0,40	0,38	0,36	0,36	0,35	0,30	0,31	0,29	0,35	3,16	–0,9627
$dI_{\text{восп комф}}$	–5,33	–3,83	–2,33	–1,33	0,17	1,17	2,17	3,67	5,67		0,00	
$dI_{\text{восп пред}}$	–20,78	–14,28	–9,28	–4,28	0,72	5,72	5,72	15,72	20,72		0,00	
$d\chi_{\text{мин}}$	0,041	0,0178	0,0129	0,0000	0,0012	–0,0050	–0,016	–0,0250	–0,0267		0,00	
$d\chi_{\text{max}}$	0,0608	0,0491	0,0241	0,0127	0,0062	0,0020	–0,050	–0,0433	–0,0606		0,00	
$dt_{\text{в пути}}$	–45,00	–35,00	–25,00	–15,00	–5,00	5,00	20,00	40,00	60,00		0,00	
$dI_{\text{восп комф}} * dt_{\text{в пути}}$	240,00	134,17	58,33	20,00	–0,83	5,83	43,33	146,67	340,00		987,50	
$dI_{\text{восп пред}} * dt_{\text{в пути}}$	935,00	499,72	231,94	64,17	–3,61	28,61	114,44	628,89	1243,33		3742,50	
$d\chi_{\text{мин}} * dt_{\text{в пути}}$	–1,87	–0,62	–0,32	0,00	–0,01	–0,03	–0,34	–1,00	–1,60		–5,79	
$d\chi_{\text{max}} * dt_{\text{в пути}}$	–2,74	–1,72	–0,60	–0,19	–0,03	0,01	–1,02	–1,73	–3,64		–11,65	
$dI_{\text{восп комф}}^{\wedge 2}$	28,44	14,69	5,44	1,78	0,03	1,36	4,69	13,44	32,11		102,00	
$dI_{\text{восп пред}}^{\wedge 2}$	431,71	203,85	86,07	18,29	0,5216	32,743	32,743	247,18	429,41		1482,5	
$d\chi_{\text{мин}}^{\wedge 2}$	0,0017	0,0003	0,0001	0,0000	0,0000	0,00003	0,0002	0,0006	0,00071		0,0038	
$d\chi_{\text{max}}^{\wedge 2}$	0,0037	0,0024	0,0005	0,0001	0,00004	0,0000	0,0026	0,00187	0,00368		0,0150	
$dt_{\text{в пути}}^{\wedge 2}$	2025	1225	625	225	25	25	400	1600	3600		9750,00	

обеспечивать массовые перевозки пассажиров на большие расстояния.

Зависимости между ожиданиями пассажиров к интервалам между транспортными средствами и временем в пути (расстояние поездок) позволяют взглянуть под другим углом на известную задачу удовлетворения спроса на перевозки и организации пассажирских перевозок. В условиях единой транспортной системы при равенстве других ключевых показателей качества перевозок пассажир становится более требовательным к уменьшению общего времени пути. То есть его как конечного пользователя транспортной системы не интересует, каким образом организатор перевозки удовлетворит его потребность в перевозке без потери качества (запуск более вместительных составов, строительство дополнительных главных путей, строительство новых транспортных коммуникаций, переустройство станций и пассажирских терминалов и т.д.). Отсюда вытекает новая постановка задачи

удовлетворения спроса на перевозки, где потребный интервал между транспортными средствами становится заданным в качестве ограничения, а организатор перевозки должен подстроить работу транспортной системы под это ограничение без существенного изменения себестоимости перевозок.

На рассматриваемых поясах на примере Московской и Петербургской агломераций при выбранных значениях $I_{\min \text{комф}}$ и $I_{\max \text{комф}}$ коэффициент прямой корреляции превысил 0,98, для значений коэффициента ожидания в пути коэффициент обратной корреляции превысил 0,94, то есть приведенные значения минимального комфортного воспринимаемого интервала и предельного конкурентоспособного интервала могут быть использованы при дальнейшем проектировании маршрутов общественного транспорта в городском и пригородно-городском сообщении не только в этих двух агломерациях, но в других транспортных системах. ■

Литература

1. Пассажиропоток МЦД достиг 550 тысяч человек в сутки // Городской информационный канал m24.ru. URL: <https://www.m24.ru/news/transport/07122019/99787> (дата обращения: 18.03.2020).
2. Капитонов Ю. А. Расчёт тактового расписания пассажирских перевозок общественным транспортом между аэропортом и городом // Научный вестник Московского государственного технического университета гражданской авиации. 2015. № 214 (4). С. 57–62. ISSN 2079-0619.
3. Капитонов Ю. А. Взаимодействие видов транспорта в системе с одним пересадочным узлом // Транспорт Российской Федерации. 2016. № 1 (62). С. 53–56. ISSN 1994-831X.
4. Наземный транспорт будет ходить по тактовому расписанию // Официальный сайт мэра Москвы. URL: <https://www.mos.ru/news/item/8609073/> (дата обращения: 18.03.2020).
5. Вакуленко С. П., Колин А. В., Роменский Д. Ю. Комплексный подход к развитию железнодорожной инфраструктуры в крупных агломерациях на примере г. Москвы // Устойчивое развитие территорий. – М. : Национальный исследовательский Московский государственный строительный университет, 2019. С. 187–189.
6. Роменский Д. Ю., Вакуленко С. П., Колин А. В. Выбор концептуального решения по организации диаметральных пригородно-городских перевозок в Московском ж.-д. узле / Молодые ученые – развитию национальной технологической инициативы (поиск). – 2020. № 1. С. 568–570.
7. Вакуленко С. П. Расчет размеров движения пригородных поездов при организации маятниковое движение в крупных железнодорожных узлах / Транспорт. Наука, техника, управление : научный информационный сборник. – 2006. № 9. С. 11–13. ISSN 0236-1914.
8. Копылова Е. В. Значение транспорта для развития городских агломераций / Устойчивое развитие территорий. – М. : МГСУ, 2019. С. 199–201.
9. Организация пригородных железнодорожных перевозок : учеб. пособие / Ю. О. Пазойский и др. ; под ред. Ю. О. Пазойского. – М. : ФГБОУ «Учебно-методический центр по образованию на железнодорожном транспорте», 2015. 270 с. ISBN 978-5-89035-816-5.

10. Вакуленко С. П., Колин А. В. О критериях определения категорий пригородных поездов // Мир транспорта. 2012. № 6 (44). С. 16–21. ISSN 1992-3252.
11. Колин А. В., Айсина Л. Р. Принципы определения оптимального расстояния между остановочными пунктами железнодорожного транспорта // Транспорт: наука, техника, управление. 2020. № 5. С. 32–36. ISSN 0236-1914.
12. Голубев П. В. Особенности взаимодействия железнодорожного и городских видов транспорта в крупных транспортных узлах // Транспорт, наука, техника, управление. 2004. № 11. С. 18–20. ISSN 0236-1914.
13. Куликова Е. Б., Мадяр О. Н., Галицкий А. В. Анализ доступности железнодорожного транспорта для населения крупных агломераций // Мир транспорта. 2019. № 2 (81). С. 166–175. ISSN 1992-3252.

Literature

1. Passenger traffic of the MDC reached 550 thousand people per day // City information channel m24.ru. [Passazhiropotok MTsD dostig 550 tysyach chelovek v sutki // Gorodskoj informatsionnyj kanal m24.ru]. URL: <https://www.m24.ru/news/transport/07122019/99787> (reference date: 18.03.2020).
2. Kapitonov Yu. A. Calculation of the clock schedule of passenger transportation by public transport between the airport and the city // Scientific Bulletin of the Moscow state technical University of civil aviation. [Raschyot taktovogo raspisaniya passazhirskih perevozok obshhestvennym transportom mezhdru aeroportom i gorodom // Nauchnyj vestnik Moskovskogo gosudarstvennogo tekhnicheskogo universiteta grazhdanskoj aviatsii]. 2015. № 214 (4). Pp. 57–62. ISSN 2079-0619.
3. Kapitonov Yu. A. Interaction of types of transport in a system with one interchange node // Transport of the Russian Federation. [Vzaimodejstvie vidov transporta v sisteme s odnim peresadochnym uzlom // Transport Rossijskoj Federatsii]. 2016. № 1 (62). Pp. 53–56. ISSN 1994-831X.
4. Ground transport will run according to the clock schedule // official website of the mayor of Moscow. [Nazemnyj transport budet hodit' po taktovomu raspisaniyu // Ofitsial'nyj sayt mera Moskvy.] URL: <https://www.mos.ru/news/item/8609073/> (accessed: 18.03.2020).
5. Vakulenko S. P., Kolin A. V., Romensky D. Yu. Integrated approach to the development of railway infrastructure in large agglomerations on the example of Moscow // Sustainable development of territories, Moscow : national research Moscow state University of civil engineering, [Kompleksnyj podhod k razvitiyu zheleznodorozhnoj infrastruktury v krupnyh aglomeratsiyah na primere g. Moskvy // Ustojchivoe razvitie territorij. – M. : Natsional'nyj issledovatel'skij Moskovskij gosudarstvennyj stroitel'nyj universitet]. 2019. Pp. 187–189.
6. Romenskiy D. Yu., Vakulenko S. P., Kolin A. V. The choice of a conceptual solution for the organization of Diametric suburban-urban transportation in the Moscow railway junction / Young scientists- development of the national technological initiative (search). [Vybor kontseptual'nogo resheniya po organizatsii diametral'nyh prigorodno-gorodskih perevozok v Moskovskom zh.-d. uzle / Molodye uchenye – razvitiyu natsional'noj tekhnologicheskoy initsiativy (poisk)]. – 2020. No. 1. pp. 568-570.
7. Vakulenko S. P. Calculation of the size of commuter train traffic in the organization of pendulum traffic in large railway junctions / Transport. Science, technology, management : scientific information collection. [Raschet razmerov dvizheniya prigorodnyh poezdov pri organizatsii mayatnikovogo dvizheniya v krupnyh zheleznodorozhnyh uzлах / Transport. Nauka, tekhnika, upravlenie : nauchnyj informatsionnyj sbornik]. 2006. № 9. Pp. 11–13. ISSN 0236-1914.
8. Kopylova E. V. The significance of transport for the development of urban agglomerations / Sustainable development of territories. [Znachenie transporta dlya razvitiya gorodskih aglomeratsij / Ustojchivoe razvitie territorij]. M. : MGSU, 2019. Pp. 199–201.
9. Organization of suburban railway transportation : studies. guide / Y. O. Patolsky etc. ; edited by Yu. O. Pazoysky. – M.: FGBOU «Educational and methodological center for education in railway transport» [Organizatsiya prigorodnyh zheleznodorozhnyh perevozok : ucheb. posobie / Yu.O. Pazojskij i dr. ; pod red. Yu.O. Pazojskogo. – M. : FGBOU «Uchebno-metodicheskij tsentr po obrazovaniyu na zheleznodorozhnom transporte»]. 2015. 270 p. ISBN 978-5-89035-816-5.

10. Vakulenko S. P., Kolin A. V. On criteria for determining categories of suburban trains. Mir transport. [O kriteriyah opredeleniya kategorij prigorodnyh poezdov // Mir transporta]. 2012. № 6 (44). Pp. 16–21. ISSN 1992-3252.
11. Colin A. V., Aisina R. L. The Principles determining the optimal distances between the stopping points of railway transport // Transport: science, technology, management. [Printsipy opredeleniya optimal'nogo rasstoyaniya mezhdu ostanovochnymi punktami zheleznodorozhnogo transporta // Transport: nauka, tekhnika, upravlenie]. 2020. № 5. Pp. 32–36. ISSN 0236-1914.
12. Golubev P. V. Features of interaction between railway and urban modes of transport in major transport hubs // Transport, science, technology, management. [Osobennosti vzaimodejstviya zheleznodorozhnogo i gorodskih vidov transporta v krupnyh transportnyh uzlah // Transport, nauka, tekhnika, upravlenie]. 2004. № 11. Pp. 18–20. ISSN 0236-1914.
13. Kulikova E. B., Madyar O. N., Galitsky A. V. Analysis of railway transport accessibility for the population of large agglomerations. Mir transport [Analiz dostupnosti zheleznodorozhnogo transporta dlya naseleniya krupnyh aglomeratsij // Mir transporta]. 2019. № 2 (81). Pp. 166–175. ISSN 1992-3252.

Статья сдана в редакцию 13 июня 2020 года

УДК 658.7.011.1

П. М. Тихонов, И. Д. Громов

Имитационное моделирование действий агента-заказчика при закупочной процедуре как способ совершенствования организации производственно-хозяйственной деятельности (на примере холдинга «РЖД»)

UDC 658.7.011.1

P. M. Tikhonov, I. D. Gromov

Simulation of the actions of the agent-customer during the procurement procedure as a way to improve the organization of production and economic activities (on the example of the Russian railways holding)

Аннотация

В статье представлены результаты имитационного моделирования действий агента-заказчика при закупочной процедуре в рамках развития количественного подхода в управлении бизнес-процессами.

При имитационном моделировании осуществлена верификация и доказана работоспособность методики действий агента-заказчика в рамках закупочных бизнес-процессов.

В целях верификации результатов и предложенной методики приведены варианты расчеты закупочного

процесса. Результаты имитационного моделирования закупочного процесса осуществлены в пакете прикладных программ MatLAB. Ввиду декомпозиции моделирования действий при закупочной процедуре, для верификации всех рассматриваемых процессов осуществлены расчеты и показаны результаты для каждого этапа отдельно.

Результаты вариантов расчетов представлены в виде количественной и графической информации, которую можно использовать для принятий окончательных управленческих решений, дальнейшей форма-

лизации и автоматизации рассматриваемых бизнес-процессов в сетевых организационных структурах. Выходная количественная информация не противоречит общему представлению о закупочной деятельности.

Сделаны выводы, в которых показана актуальность разработанной методики и модели для дальнейшего исследования ресурсного обеспечения в сетевых организационных структурах при совершенствовании организации производственно-хозяйственной деятельности. Показана возможность использования предложенной

Статья рекомендована к публикации В. М. Сай, д-ром техн. наук, профессором Уральского государственного университета путей сообщения E-mail: vsay@usurt.ru.

Павел Михайлович Тихонов, инженер; начальник отдела комплектования локомотивов расходными материалами ООО «СТМ-Сервис»; Екатеринбург, Россия. E-mail: tikhonov.p.m@gmail.com. ORCID 0000-0002-3543-7312.

Игорь Дмитриевич Громов, канд. техн. наук, доцент; кафедра «Путь и железнодорожное строительство» Уральского государственного университета путей сообщения; ведущий инженер Свердловского ТЦФТО – ЦФТО – филиала ОАО «РЖД»; Екатеринбург, Россия. E-mail: idgromov@gmail.com. ORCID 0000-0003-2765-9967.

The article is recommended for publishing by V. M. Say, Doctor of tech. sci., Professor, the Ural state University of railway transport E-mail: vsay@usurt.ru.

Pavel Mikhaylovich Tikhonov, Engineer; Head of the locomotive supplies Chair, STM-Service LLC; Yekaterinburg, Russia. E-mail: tikhonov.p.m@gmail.com. ORCID 0000-0002-3543-7312.

Igor Dmitrievich Gromov, Cand. tech. sci., Associate Professor, Chair of Track and railway construction, Ural state University of railway transport, Leading Engineer of Sverdlovsk TCFTO – CFOT – branch of JSC «Russian Railways»; Yekaterinburg, Russia. E-mail: idgromov@gmail.com. ORCID 0000-0003-2765-9967.

методики и модели для улучшения производственных процессов в холдинге «РЖД».

Ключевые слова: закупки, закупочный процесс, холдинг «РЖД», сетевые структуры, ресурсное обеспечение, управление ресурсными потоками, математическое моделирование, имитационное моделирование, агент-ориентированное моделирование.

DOI: 10.20291/2079-0392-2020-3-89-101

Abstract

The article presents the results of simulation modeling of the actions of the agent-customer in the procurement procedure in the framework of the development of a quantitative approach to business process management.

During simulation, verification was performed and the efficiency of the developed method of actions of the

agent-customer within the framework of purchasing business processes was proved.

In order to verify the results and the proposed methodology, alternative calculations of the procurement process are presented. The results of simulation modeling of the purchasing process are implemented in the MatLAB application software package. Due to the decomposition of modeling actions in the procurement procedure, calculations are performed to verify all the processes under consideration and the results are shown for each stage separately.

The results of variant calculations are presented in the form of quantitative and graphical information that can be used for making final management decisions, as well as for further formalization and automation of the business processes under consideration

in network organizational structures. The output quantitative information does not contradict the General idea of procurement activities.

Conclusions are drawn, which show the relevance of the developed methodology and model for further research of resource provision in network organizational structures when improving the organization of production and economic activities. The possibility of using the proposed methodology and model to improve production processes in the Russian Railways holding is shown.

Keywords: procurement, procurement process, Russian Railways holding, network structures, resource provision, resource flow management, mathematical modeling, simulation modeling, agent-based modeling.

DOI: 10.20291/2079-0392-2020-3-89-101

Количественный подход в управлении, автоматизация и цифровизация бизнес-процессов – необходимое условие эффективного функционирования холдинга «РЖД» в целом. Применительно к закупочному процессу и ресурсному обеспечению, входящим в холдинг «РЖД», это позволит снизить транзакционные издержки и повысить эффективность перевозочного процесса в целом.

Для повышения эффективности при закупочных процессах предприятий, входящих в холдинг «РЖД», в [1] предложена методика моделирования действий агентов-заказчиков, базирующаяся на работах [2–7]. В настоящей статье выполнена верификация методики моделирования действий агентов-заказчиков при осуществлении закупочного процесса (на примере холдинга «РЖД»). Расчеты выполнены с использованием разработанного программного продукта в пакете прикладных программ MatLAB.

Общая схема имитационной модели закупочного процесса

В рамках исследования процессов ресурсного обеспечения при регулируемой закупочной деятельности в исследовании [1] предложена методика автоматизированных действий в виде математической модели.

Закупочный процесс предложенной модели включает в себя шесть этапов; рассматривать и моделировать действия каждого этапа можно отдельно. Это актуально для холдинга «РЖД», так как в большинстве случаев этапы осуществляются различными предприятиями, входящими в холдинг, или структурными подразделениями самой компании ОАО «РЖД».

Обобщенная схема имитационной модели [1] показана на рис. 1.

Исходные данные и выходные параметры имитационной модели каждого этапа в соответствии с [1] представлены в таблице 1.

Таблица 1

Исходные данные	
Показатель	Обозначение
Консолидированная потребность	K_m
Наличие/отсутствие производственной возможности	$P_{\text{произв}}^m$
Расчетный (условный) объем товаров (работ, услуг) для удовлетворения потребностей	Q_m
Постоянные издержки организации вне зависимости от объема производства товаров (работ, услуг) собственными силами	F
Ориентировочная цена закупки единицы товаров (работ, услуг)	$C_{\text{ориентир}}^m$
Переменные издержки в расчете на единицу производимых товаров (работ, услуг) собственными силами	V_m
Решение о закупке или удовлетворении потребностей собственными силами	P_{buy}^m
Ценовые предложения от потенциальных исполнителей	C_i
Заданные интервалы вероятности возникновения экономических потерь	Без обозначения
Заданные интервалы возможных экономических потерь	Без обозначения
Вероятность возникновения экономических потерь в конкретном кейсе	Без обозначения
Возможные экономические потери в конкретном кейсе	Без обозначения
Категория закупочной процедуры	$K_{\text{зак}}^m$
Количество ценовых предложений	n
Время оплаты	t
Максимально возможное время оплаты	t_{max}
Бюджет	B_m
Коэффициент дисконтирования	r
Коэффициент вариации	k_v
Дисконтируемые стоимости денежных средств	$PV_{(C_{\text{нмц}})_{\text{ис}}}, PV_{(B_m)_{\text{Б}}}$
Уменьшающий бюджетный коэффициент	β
Начальная (максимальная) цена	$C_{\text{нмц}}$
Вид закупочной процедуры (первая группа закупок, вторая группа закупок)	ВЗП = (ПГЗ, ВГЗ)
Управляющее воздействие со стороны внутренних стейкхолдеров	$P_{\text{упр}}$
Вид типового технического задания и договора	T_m
Критерии допуска и оценки	$K_{\text{инт}}$
Предложения от потенциальных исполнителей и внутренних служб	P_z
Множество предложений от потенциальных исполнителей	$\bigcup_{i=1}^l \bar{P}_i$
Оценочные характеристики предложений	$P_{\text{оц}}$
Ранжированные результаты закупочной процедуры	R_i
Предложения от ранжированных потенциальных исполнителей	Π
Расстояние от альтернатив до идеально позитивного решения	S^+
Расстояние от альтернатив до идеально негативного решения	S^-
Относительная близость (соответствие) к идеально позитивному решению (ранжируемый показатель)	$S_{\text{близ}}^+$



Рис. 1. Имитационная модель действий агентов-заказчиков при закупочном процессе

В разработанном программном продукте все параметры представлены векторами, являющимися числовыми кортежами. Математические вычисления производятся как операции с векторами-строками, векторами-столбцами и матрицами данных [5].

Имитационное моделирование исходных данных для закупочной процедуры со стороны агента-заказчика

Действия агента-заказчика на первом этапе

Моделирование действий агента-заказчика на первом этапе – это проверка условий целесообразности закупки товаров (работ, услуг) или обоснование удовлетворения возникших

потребностей собственными силами. Условие основано на расчете порога рентабельности и определении экономической целесообразности закупочной процедуры [1].

Для верификации и проверки работоспособности первого этапа имитационной модели последовательно изменены исходные данные для проигрывания различных сценариев. Результат работы модели представлен в таблице 2.

Выполненные вариантные расчеты не противоречат общему представлению о закупочной деятельности [1, 2, 4, 6].

Рассмотрим второй вариант верификационных расчетов. Покажем, как влияет принятие решения о закупке при изменении $C_{\text{ориентир}}^m$. Предположим, что $P_{\text{buy}}^m = 1$, а все остальные параметры постоянны (таблица 3). Результаты расчетов представлены на рис. 2.

Таблица 2

Вариантные расчеты результата работы модели при проверке условий
целесообразности закупки

Параметр	Исходные данные							
	вар. 1	вар. 2	вар. 3	вар. 4	вар. 5	вар. 6	вар. 7	вар. 8
K_m	10,00	10,00	50,00	10,00	10,00	10,00	10,00	10,00
F	50,00	50,00	50,00	5,00	5,00	50,00	50,00	50,00
$C_{\text{ориентир}}^m$	4,20	4,20	4,20	4,20	4,20	47,00	4,20	4,20
V_m	2,00	2,00	2,00	2,00	2,00	2,00	1,00	1,00
$P_{\text{произв}}^m$	1	0	1	1	0	1	1	0
Результат вычисления								
Q_m	22,73	22,73	22,73	2,27	2,27	1,11	15,63	15,63
P_{buy}^m	1	0	0	0	1	0	1	0
Решение о закупке	Закупа- ем	Не за- купаем	Не за- купаем	Не за- купаем	Закупа- ем	Не за- купаем	Закупа- ем	Не за- купаем

Таблица 3

Вариантные расчеты результата работы модели при проверке условий
целесообразности закупки (при изменении ориентировочной цены)

Параметр	Исходные данные							
	вар. 1	вар. 2	вар. 3	вар. 4	вар. 5	вар. 6	вар. 7	вар. 8
K_m	10,00	10,00	10,00	10,00	10,00	10,00	10,00	10,00
F	50,00	50,00	50,00	50,00	50,00	50,00	50,00	50,00
$C_{\text{ориентир}}^m$	10,20	9,20	8,20	7,20	6,20	5,20	4,20	3,20
V_m	2,00	2,00	2,00	2,00	2,00	2,00	2,00	2,00
$P_{\text{произв}}^m$	1	1	1	1	1	1	1	1
Результат вычисления								
Q_m	6,10	6,94	8,06	9,62	11,90	15,63	22,73	41,67
P_{buy}^m	0	0	0	0	1	1	1	1
Решение о закупке	Не за- купаем	Не за- купаем	Не за- купаем	Не за- купаем	Закупа- ем	Закупа- ем	Закупа- ем	Закупа- ем

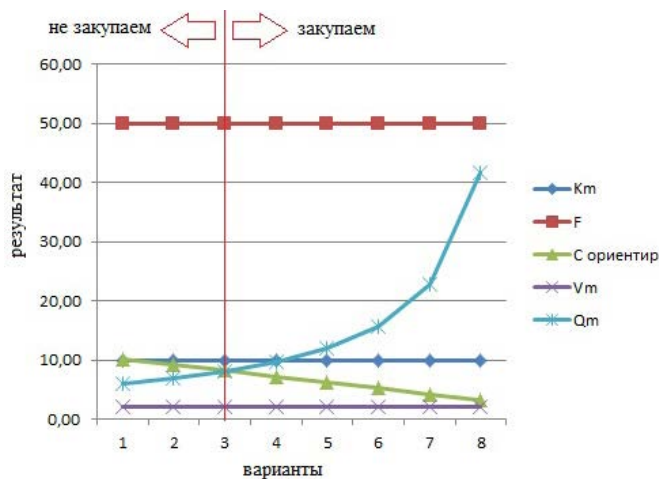


Рис. 2. Определение целесообразности закупки товаров (работ, услуг) при изменении $C_{\text{ориентир}}^m$

При постоянных исходных данных и переменном $C_{\text{ориентир}}^m$ видно, что зависимость принятия решения о закупке выражена в геометрической прогрессии.

В настоящей математической модели параметр K_m не является расчетной величиной и задан как исходный, потому что консолидированная потребность формируется из полученных данных о единичных потребностях от разных предприятий холдинга

«РЖД» и структурных подразделений ОАО «РЖД» [1, 3].

Действия агента-заказчика на втором, третьем и четвертом этапах

После реализации этапа определения целесообразных вариантов закупочной процедуры необходимо решить задачу получения окончательных исходных данных модели (таблица 4).

Таблица 4

Вариантные расчеты и моделирование исходных данных модели

Параметр	Исходные данные			
	вариант 1	вариант 2	вариант 3	вариант 4
Этап 2. Разработка плана закупок				
Исходные данные				
K_m	10,00	10,00	10,00	10,00
C_1	5,00	5,00	5,00	5,00
C_2	4,50	9,00	9,00	4,50
C_3	6,00	6,00	6,00	6,00
C_4	4,00	4,00	4,00	4,00
C_5	5,30	5,30	5,30	5,30
n	5	5	5	5
B_m	100,00	45,00	51,75	100,00
t_0	30,00	30,00	30,00	30,00
t_{\max}	31,00	31,00	150,00	31,00
R	0,10	0,10	0,10	0,10
Заданные интервалы вероятности возникновения экономических потерь:				
большая	1,00	1,00	1,00	1,00
средняя	0,50	0,50	0,50	0,50
низкая	0,25	0,25	0,25	0,25
Заданные интервалы возможных экономических потерь:				
большие	1,00	1,00	1,00	1,00
средние	0,20	0,20	0,20	0,20
низкие	0,10	0,10	0,10	0,10
Вероятность возникновения экономических потерь в конкретном кейсе	0,25	0,50	0,50	0,25

Окончание табл. 4

Возможные экономические потери в конкретном кейсе	0,30	0,50	0,50	0,30
Выходные параметры				
k_v	0,14	0,29	0,29	0,14
$PV_{(C_{\text{нмц}})t_c}$	Не опред.	52,55	50,84	Не опред.
$PV_{(B_m)t_B}$	Не опред.	44,63	51,32	Не опред.
B	Не опред.	0,85	Не опред.	Не опред.
$C_{\text{нмц}}$	44,80	45,00	53,00	44,80
T	30,00	30,00	150,00	30,00
$K_{\text{зак}}^m$	2	1	1	2
ВЗП	ВГЗ	ПГЗ	ВГЗ	ВГЗ
Этап 3. Подготовка пакета документов				
Исходные данные				
$P_{\text{упр}} \equiv K_m$	Нет	11,00	Нет	Нет
$P_{\text{упр}} \equiv K_{\text{зак}}^m$	Нет	2	Нет	Нет
$P_{\text{упр}} \equiv \text{ВЗП}$	Нет	Нет	Нет	ПГЗ
$P_{\text{упр}} \equiv t$	Нет	29,00	40,00	Нет
Выходные параметры				
K_m	10,00	11,00	10,00	10,00
$C_{\text{нмц}}$	44,80	45,00	50,19	44,80
T	30,00	29,00	40,00	30,00
$K_{\text{зак}}^m$	2	2	1	2
ВЗП	ВГЗ	ПГЗ	ПГЗ	ПГЗ
T_m	2	2	1	2
$K_{\text{инт}}$	$K_{\text{допуск}}, K_{\text{оценка}}$	$K_{\text{допуск}}$	$K_{\text{допуск}}$	$K_{\text{допуск}}$
Этап 4. Открытие закупочной процедуры (экспозиция)				
Исходные данные				
$P_3 \equiv K_m$	Нет	Нет	9,00	Нет
$P_3 \equiv C_{\text{нмц}}$	Нет	Нет	80,00	Нет
$P_3 \equiv \text{ВЗП}$	Нет	ВГЗ	Нет	Нет
$P_3 \equiv T_m$	Нет	Нет	3	Нет
$P_3 \equiv K_{\text{инт}}$	Нет	$K_{\text{допуск}}, K_{\text{оценка}}$	Нет	Нет
Выходные параметры				
K_m	10,00	11,00	10,00	10,00
$C_{\text{нмц}}$	44,80	45,00	50,19	44,80
T	30,00	29,00	40,00	30,00
$K_{\text{зак}}^m$	2	2	1	2
ВЗП	ВГЗ	ВГЗ	ПГЗ	ПГЗ
T_m	2	2	1	2
$K_{\text{инт}}$	$K_{\text{допуск}}, K_{\text{оценка}}$	$K_{\text{допуск}}, K_{\text{оценка}}$	$K_{\text{допуск}}$	$K_{\text{допуск}}$

Так как модель делится на этапы, то исходные данные рассчитываются накопительным эффектом, при этом на каждом этапе уточняются параметры (обусловленные проверкой заданных программных условий и зависимостями, а также внешними возмущениями, выраженными управленческими решениями) [1–3].

Как видно, на каждом этапе возможны внешние возмущения в виде управленческих решений и реактивные действия, корректирующие параметры модели при соблюдении заданных условий [1–4]. В программном продукте корректировка происходит автоматически. При рассмотрении логической схемы методики на соответствующем этапе первоначального расчета параметра происходит поправка с последующим коррекцией действий.

Полученные результаты доказывают заданное изначально соответствие вида закупочной процедуры (ВЗП) и $K_{\text{инт}}$ при возможной корректировке иных параметров модели.

Выходные параметры рассмотренных этапов служат исходными данными модели, используемой для завершения закупочной процедуры на заключительных этапах в соответствии с методикой [1].

Действия агента-заказчика на пятом и шестом этапах

Суть действий агента-заказчика на заключительных этапах – моделирование итоговых показателей алгоритма на основании предложений

потенциальных исполнителей в соответствии с исходными данными модели.

Изначально модель [1] подразумевает два сценария развития событий в зависимости от ВЗП, что характерно для холдинга «РЖД» [5–7] и транспортной отрасли в целом (рис. 3).

Для наглядности получения зависимостей моделирование действий осуществлено по исходным параметрам независимо от описанных результатов. Также отдельно рассмотрены сценарии для ПГЗ и ВГЗ.

Один из исходных параметров настоящего этапа – $K_{\text{инт}}$; в зависимости от ВЗП включает в себя критерии допуска $K_{\text{допуск}}$ и оценки $K_{\text{оценка}}$.

Критерии допуска $K_{\text{допуск}}$ в настоящей модели представляют собой кортеж числовой информации, характеризующий минимально необходимые критерии допуска в зависимости от предъявляемых к потенциальным исполнителям требований; такие критерии используются и в ПГЗ, и в ВГЗ.

В случае с ПГЗ дальнейшая оценка происходит по ценовым предложениям потенциальных исполнителей [1, 6].

Критерии оценки $K_{\text{оценка}}$ представляют собой набор оценочных зависимостей; их используют только для ВГЗ применительно к предложениям потенциальных исполнителей, которые были допущены по $K_{\text{допуск}}$ [1, 6, 7].

Шкала оценки при ВГЗ сдвинута относительно условного нуля, что позволяет оценивать предложения потенциальных исполнителей, которые удовлетворяют необходимым условиям закупочной процедуры.

ПГЗ	ВГЗ
Допуск/отклонение	Допуск/отклонение
Оценка по минимальному ценовому предложению	Сравнение по ценовому предложению и неценовым критериям
	Оценка в соответствии с относительными баллами, учитывающими близость к идеальному решению

Рис. 3. Моделирование показателей предложений потенциальных исполнителей в зависимости от ВЗП: ПГЗ – первая группа закупок в соответствии с [1]; ВГЗ – вторая группа закупок в соответствии с [1]

Оценка при ВГЗ эффективна при выборе потенциальных исполнителей для обслуживания и строительства капиталоемкой инфраструктуры ОАО «РЖД».

При имитационном моделировании для ПГЗ использованы исходные данные (таблица 5). Само моделирование проведено на основании предложений от нескольких потенциальных исполнителей (таблица 6).

Методика [1] включает в себя возможность указывать необходимое количество заявок от потенциальных

исполнителей ω и необходимое количество победителей ε . Такие ограничения необходимы для достижения требуемых результатов.

Результаты имитационного моделирования ПГЗ по каждому параметру представлены на рис. 4.

Моделирование для ПГЗ показывает, что потенциальные исполнители не допускаются до процедур, если предложенные параметры не соответствуют исходным данным. Технические предложения (Π_{oc} , Π_{tz} , MTB_n , ΣO_n) должны

Таблица 5

Исходные данные для критериев допуска

Параметр		Значение
Консолидированная потребность	K_m	10,00
Начальная (максимальная) цена	$C_{нмц}$	44,80
Срок оплаты	T	30,00
Типовое техническое задание и договор	T_m	2
Требования, согласно законодательству и отраслевым стандартам	ОС	10,00
Требования технического задания	ТЗ	4,00
Требования к материально-технической базе компании	MTB_z	5,00
Требования к опыту	О	100,00
Необходимое количество допущенных потенциальных исполнителей (полученных ценовых предложений)	ω	4
Необходимое количество победителей	ε	3

Таблица 6

Моделирование показателей потенциальных исполнителей при ПГЗ

Параметр	Предложения от потенциальных исполнителей						
	компания 1	компания 2	компания 3	компания 4	компания 5	компания 6	компания 7
C_n	44,00	44,50	44,80	44,40	44,10	44,70	44,60
Π_{oc}	9,00	11,00	10,00	20,00	10,50	11,00	10,00
Π_{tz}	4,00	3,00	5,00	4,00	6,00	7,00	5,00
MTB_n	4,00	5,00	7,00	8,00	7,00	8,00	9,00
ΣO_n	101,00	100,00	102,00	150,00	200,00	100,50	100,01
Решение о допуске/отклонении	Отклонение	Отклонение	Допуск	Допуск	Допуск	Допуск	Допуск
Решение о победе или проигрыше	—	—	Проигравший	Победитель	Победитель	Проигравший	Победитель
Ранжирование потенциальных исполнителей	—	—	—	2	1	—	3
Объем договора, подлежащий распределению победителю, %	—	—	—	33,32	33,43	—	33,25

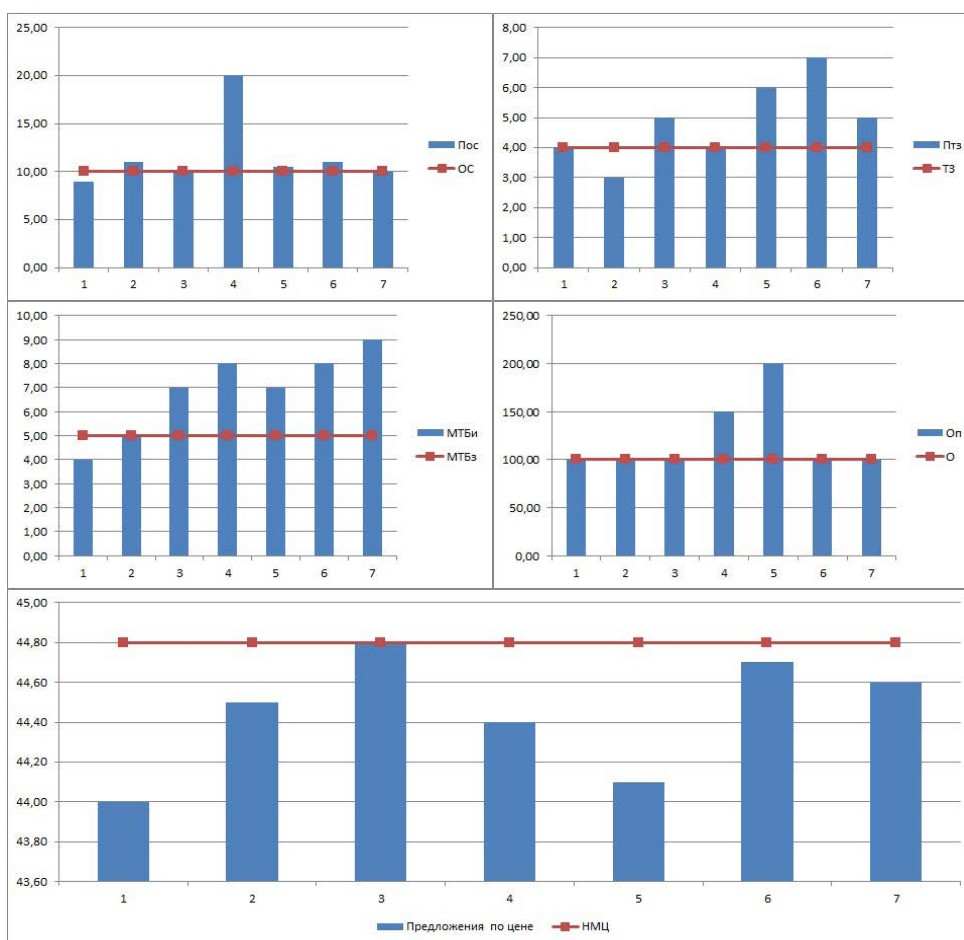


Рис. 4. Результат имитационного моделирования для ПГЗ

Таблица 7

Дополнительные исходные данные для ВГЗ

Параметр		Значение
Минимально необходимая величина СЧА	v	0,00
Минимально необходимая величина КСВ	μ	0,50
Период выполнения обязательств по договору	P	2,00
Количество месяцев в отчетном периоде	КМ	12
Весовой критерий ценового предложения	α_1	0,75
Весовой критерий материально-технической базы	α_2	0,025
Весовой критерий опыта	α_3	0,05
Весовой критерий СЧА	α_4	0,02
Весовой критерий КСВ	α_5	0,02
Весовой критерий, учитывающий собственные и заемные средства в обороте	α_6	0,02
Весовой критерий, учитывающий износ основных фондов	α_7	0,02
Весовой критерий устойчивости компании (добросовестности)	α_8	0,025
Весовой критерий улучшений условий оплаты	α_9	0,05
Весовой критерий улучшений сроков исполнений обязательств	α_{10}	0,02

быть не хуже заданных минимально необходимых параметров; предложение по цене C_{Π} должно быть меньше начальной (максимальной) цены (НМЦ) [1, 2].

Оценка происходит из минимального предложения цены. Объем договора распределяется по результатам закупочной процедуры между победителями пропорционально ценовым предложениям.

При имитационном моделировании для ВГЗ использованы исходные данные (таблица 5) и дополнительные данные для оценочных критериев (таблица 7). Моделирование проведено на основании предложений от нескольких потенциальных исполнителей (таблица 8). Результаты моделирования представлены на рис. 5.

Таблица 8

Моделирование показателей потенциальных исполнителей при ВГЗ

Параметр	Предложения от потенциальных исполнителей						
	компания 1	компания 2	компания 3	компания 4	компания 5	компания 6	компания 7
C_{Π}	44,00	44,50	44,80	44,40	44,10	44,70	44,60
$\Pi_{\text{ос}}$	9,00	11,00	10,00	20,00	10,50	11,00	10,00
$\Pi_{\text{тз}}$	4,00	3,00	5,00	4,00	6,00	7,00	5,00
МТБ_{Π}	4,00	5,00	7,00	8,00	7,00	8,00	9,00
ΣO_{Π}	101,00	100,00	102,00	150,00	200,00	100,50	100,01
$\Sigma \text{НП}$	10 000,00	2 000,00	0,00	50 000,00	60 000,00	70 000,00	80 000,00
$\Sigma \text{НУ}$	0,00	0,00	1 000,00	0,00	0,00	0,00	0,00
ДБП	5 000,00	3 500,00	500,00	100 000,00	120 000,00	140 000,00	150 000,00
$\Sigma \text{У}$	2 000,00	0,00	300,00	2 500,00	1 000,00	500,00	0,00
$\Sigma \text{В}$	100 000,00	50 000,00	98 000,00	500 000,00	520 000,00	600 000,00	700 000,00
КМ	12	12	12	12	12	12	12
$V_{\text{заем.оборот}}$	200 000,00	500 000,00	400 000,00	600 000,00	900 000,00	750 000,00	450 000,00
$V_{\text{общ.оборот}}$	500 000,00	100 000,00	1 010 000,0	1 000 000,0	1 100 000,0	1 000 000,0	500 000,00
$Q_{\text{изн}}$	5 500,00	700,00	10 000,00	9 852,00	8 452,00	850,00	150,00
$Q_{\text{общ}}$	10 000,00	7 800,00	12 000,00	80 000,00	45 000,00	1 500,00	500,00
n_i	5	6	7	5	6	7	8
$k_{\text{ни}}$	0,89	0,70	0,5	0,56	0,74	0,75	1,00
N_i	10	25	15	14	12	17	10
$t_{\text{альт.опл}}$	25,00	14,00	30,00	29,00	14,00	32,00	25,00
$t_{\text{альт.срок пост}}$	98,00	70,00	10,00	0,00	0,00	15,00	0,00
Решение о допуске/отклонении	Отклонение	Отклонение	Допуск	Допуск	Допуск	Допуск	Допуск
S^+	–	–	0,6287	0,2704	0,0303	0,5396	0,4499
S^-	–	–	0,0305	0,3606	0,6285	0,091	0,1818
$S^+_{\text{близ}}$	–	–	0,0463	0,5715	0,9540	0,1443	0,2878
Ранжирование потенциальных исполнителей	–	–	–	2	1	–	3
Решение о победе или проигрыше	–	–	Проигравший	Победитель	Победитель	Проигравший	Победитель
Объем договора, подлежащий распределению победителю	–	–	–	31,52	52,61	–	15,87

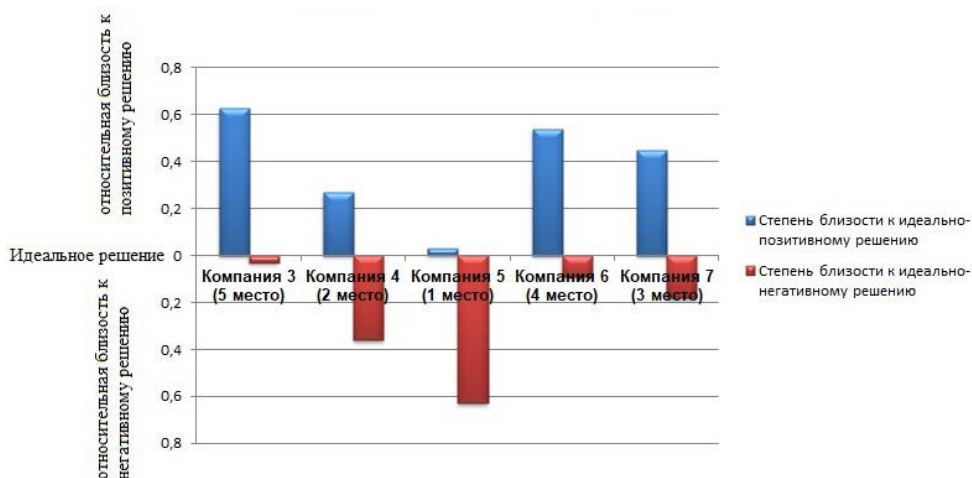


Рис. 5. Оценка потенциальных исполнителей при ВГЗ

График оценки потенциальных исполнителей для ВГЗ показывает расстояние альтернатив (предложений) до идеального решения. Предложение, максимально близкое к идеально позитивному решению и максимально далекое расстояние от идеально негативного решения, ранжируется как оптимальное для агента-заказчика. Результат имитационного моделирования для ВГЗ показывает, что этап допуска аналогичен ПГЗ. Компании оцениваются по относительной близости к идеальным решениям [1, 5–7].

Объемы работ распределяются из полученных величин относительной близости к идеально позитивному решению при заданном количестве победителей.

В настоящей статье на основании математических расчетов исследуемых параметров, вычисляемых в соответствии с алгоритмом, заложенным в разработанной методике, выполнена

верификация методики [1] реактивных действий агента-заказчика [4] при закупочной процедуре.

Разработанный программный продукт позволяет проводить многократное проигрывание сценариев закупочной процедуры, необходимых для выработки вариантов окончательного управленческого решения на основании объективной количественной информации [2].

В соответствии с полученными результатами можно сделать вывод, что разработанные методика [1] и математическая модель работоспособны, отвечают нашему представлению о процессах, происходящих при закупочной деятельности [2]. Полученные результаты применимы для дальнейших исследований ресурсного обеспечения в сетевых организационных структурах и улучшения производственных процессов в холдинге «РЖД». ■

Литература

1. Сай В. М., Тихонов П. М. Моделирование действий агента-заказчика при закупочной процедуре // Вестник УрГУПС. № 2 (46). 2020. С. 51–68. ISSN 2079-0392.
2. Тихонов П. М. Развитие ресурсного обеспечения при регулируемой закупочной деятельности // Вестник УрГУПС. № 4 (44). 2019. С. 112–123. ISSN 2079-0392.
3. Тихонов П. М. Графоаналитическая модель ресурсного обеспечения сетевой организационной структуры при регулируемом закупочном процессе (на примере холдинга «РЖД») // Вестник РГУПС № 1. 2020. С. 129–136. ISSN 0201-727X.
4. Абрамов В. И. Разработка агент-ориентированной модели функционирования системы государственных закупок (на примере закупочной деятельности предприятия

- наукограда) : дис. ... на соиск. уч. ст. канд. экон. наук : 08.00.13. ФГБУН «Центральный экономико-математический институт Российской академии наук». – М., 2018. 163 с.
5. Сизый С.В. Теория и методология формирования сетевого организационного взаимодействия на железнодорожном транспорте : дис. ... на соиск. уч. ст. д-ра техн. наук : 05.02.22. – Екатеринбург : УрГУПС, 2011. 384 с.
 6. Фомин В. К. Оценка и выбор поставщиков продукции и услуг при взаимодействии транспортной компании с хозяйствующими субъектами : дис. ... на соиск. уч. ст. канд. техн. наук : 05.02.22. – Екатеринбург : УрГУПС, 2010. 167 с.
 7. Сай В. М., Сизый С. В. Образование, функционирование и распад организационных сетей : монография. – Екатеринбург : УрГУПС, 2011. 270 с. ISBN 978-5-94614-199-4.

Literature

1. Say V. M., Tikhonov P. M. Modeling the actions of the agent-customer in the procurement procedure // Herald of USURT. [Modelirovanie dejstvij agenta-zakazchika pri zakupochnoj protsedure // Vestnik UrGUPS]. № 2 (46). 2020. Pp. 51–68. ISSN 2079-0392.
2. Tikhonov P. M. Development of resource support in regulated procurement activities // Herald of USURT. [Razvitie resursnogo obespecheniya pri reguliruemoj zakupochnoj deyatel'nosti // Vestnik UrGUPS]. № 4 (44). 2019. Pp. 112–123. ISSN 2079-0392.
3. Tikhonov P. M. Graphoanalytical model of resource support of the network organizational structure in the regulated procurement process (on the example of the Russian Railways holding) // Bulletin of the RSUPS [Grafoanaliticheskaya model' resursnogo obespecheniya setевой organizatsionnoj struktury pri reguliruемом zakupochnom protsesse (na primere holdinga «RZhD») // Vestnik RGUPS]. № 1. 2020. Pp. 129–136. ISSN 0201-727X.
4. Abramov V. I. Development of an agent-oriented model for the functioning of the public procurement system (on the example of procurement activities of a science city enterprise) : dis. ... for the degree of Dr. of econ. science. [Razrabotka agent-orientirovannoj modeli funktsionirovaniya sistemy gosudarstvennyh zakupok (na primere zakupochnoj deyatel'nosti predpriyatiya naukoграда) : dis. ... na soisk. uch. st. kand. ekon. nauk : 08.00.13. FGBUN «Tsentral'nyj ekonomiko-matematicheskij institut Rossijskoj akademii nauk»]. 08.00.13. Central economic and mathematical Institute of the Russian Academy of Sciences. – M., 2018, 163 p.
5. Sizy S. V. Theory and methodology of formation of network organizational interaction on railway transport : dis. ... for the degree of Dr. tech. Sciences [Teoriya i metodologiya formirovaniya setевой organizatsionnogo vzaimodejstviya na zheleznodorozhnom transporte : dis. ... na soisk. uch. st. d-ra tekhn. Nauk]. 05.02.22. – Yekaterinburg : USURT, 2011. 384 p.
6. Fomin V. K. Evaluation and selection of suppliers of products and services in the interaction of a transport company with economic entities: dis. ... for the degree of candidate of technical Sciences. Sciences [Otsenka i vybor postavshhikov produktsii i uslug pri vzaimodejstvii transportnoj kompanii s hozyajstvuyushhimi sub'ektami : dis. ... na soisk. uch. st. kand. tekhn. Nauk]. 05.02.22. – Yekaterinburg : USURT, 2010. 167 p.
7. Say V. M., Sizy S. V. Education, functioning and disintegration of organizational networks : monograph. – Yekaterinburg [Obrazovanie, funktsionirovanie i raspad organizatsionnyh setej : monografiya. – Yekaterinburg : UrGUPS]. USURT, 2011. 270 p. ISBN 978-5-94614-199-4.

Статья сдана в редакцию 10 июля 2020 года

Исторические и философские параллели

УДК 130.2

Е. П. Пьяных

Геополитическое значение транспортных коммуникаций современной России

UDC 130.2

Е. P. Pyanykh

Geopolitical significance of transport communications of modern Russia

Аннотация

Достижение геополитических целей государства и расширение его экономического влияния предполагает его включение в современные мультимодальные коридоры, их эффективное использование и контроль, что позволяет ограничить экономическую экспансию стран-конкурентов, ослабить экономическую зависимость от других государств и увеличить собственное присутствие на региональных и мировых рынках. Необходимость полномасштабного использования транзитного потенциала, обусловленного географическим положением России как естественного транспортного коридора, соединяющего Европейский регион с Азиатско-Тихоокеанским, является главным условием реализации транспортной стратегии РФ.

С точки зрения геополитических выгод, важным этапом развития российских железных дорог в формате мировой логистики может стать реализация таких важных транспортно-логистических проектов, как сотрудничество с Китаем и другими азиатскими странами по реализации нового проекта и прокладка Трансполярной магистрали. Первый проект подразумевает создание надёжного и эффективно действующего механизма железнодорожных перевозок между Европой и Азией по Транссибирской магистрали. Следующим звеном этой цепи должно стать налаженное грузовое судоходство по Северному морскому пути, поскольку важная геополитическая выгода для Российской Федерации заключается прежде всего в усилении присутствия в северной и приарктической зонах. Борьба за арктическое побережье – это прежде всего борьба за важнейшие трансокеанские коммуникации – Северный морской путь и Северо-Западный проход, соединяющий Атлантический и Тихий океаны.

Ключевые слова: геополитика, транспортная геополитика, логистика, транспорт, транспортные коммуникации, пути сообщения, железнодорожный транспорт.

DOI: 10.20291/2079-0392-2020-3-102-112

Abstract

Achieving the state's geopolitical goals and extending its economic influence assumes its inclusion into modern multimodal corridors, their efficient usage and control, this enabling to restrict economic expansion of countries-competitors, weaken economic dependence on other states and increase its own presence at regional and world markets. The necessity of full-scale use of transit potential due to Russia's geographical location as a natural transport corridor, connecting European region with Asia-Pacific region, is the main condition for implementation of RF transport strategy.

From the viewpoint of geopolitical benefits, an important stage of Russian railways development in the context of world logistics may turn out to be implementation of such important transport and logistics projects as cooperation with China and other Asian countries in laying a Transpolar mainline. The first project assumes creation of a reliable and efficient mechanism of railway traffic between Europe and Asia on the Trans-Siberian railway. A further link in this chain should become established cargo shipping on the Northern sea route, as an important geopolitical benefit for the Russian Federation lies foremost in strengthening of its presence in Northern and Arctic zones. A fight for the Arctic coast is first of all the fight for the most important transoceanic communications – the Northern sea route and Northwest passage connecting the Atlantic and Pacific.

Key words: geopolitics, transport geopolitics, logistics, transport, transport communications, ways of communication, railway transport.

DOI: 10.20291/2079-0392-2020-3-102-112

Статья рекомендована к публикации М. Б. Петровым, д-ром техн. наук, руководителем Центра развития и размещения производительных сил Института экономики УрО РАН. E-mail: michpetrov@mail.ru.

Елена Павловна Пьяных, канд. философ. наук, доцент; кафедра «Мировая экономика и логистика» Уральского государственного университета путей сообщения; Екатеринбург, Россия. E-mail: lena.cogito@yandex.ru. ORCID 0000-0002-55-48-3076.

The article is recommended for publishing M. B. Petrov, Dr. Techn. sciences, head of the Center for the Development and Placement of Productive Forces of the Institute of Economics of the Ural Branch of the Russian Academy of Sciences. E-mail: michpetrov@mail.ru.

Elena Pavlovna Pyanykh, Cand. of philosoph. science, Associate Professor; «World economics and logistics» Chair, Ural state university of railway transport; Yekaterinburg, Russia. E-mail: lena.cogito@yandex.ru. ORCID 0000-0002-55-48-3076.

Современный транспорт представляет собой социально значимый сектор социальной жизни, является детерминантом внутри- и внешнеполитического развития государства. Будучи важнейшим элементом инфраструктуры современной цивилизации, транспортные коммуникации способствуют в немаловажной степени улучшению условий и уровня жизни населения, повышению социальной мобильности, стабилизируют экономику страны. Транспорт еще и инструмент реализации национальных интересов государства, обеспечения достойного места страны в мировой хозяйственной системе, обеспечивает территориальную целостность и национальную безопасность государства.

Геополитическое значение транспортных коммуникаций обусловлено следующими основными обстоятельствами:

- расширение противостояния геополитических акторов и обострение борьбы за сферы влияния;
- ограниченные возможности ведения войн и, как следствие, поиск мягких (несиловых) средств контроля пространства.

Для нашей страны это означает серьезные вызовы, ответы на которые требуют обращения к внутренним ресурсам, в том числе и транспортным. Последнее – важный инструмент реализации национальных интересов и обеспечения национальной безопасности. Настоящая статья посвящена некоторым аспектам роли транспортных коммуникаций в ситуациях геополитического влияния.

Под геополитикой понимается наука и практика контроля пространства. Предмет ее изучения заключается в глобальных и национальных интересах, приоритетах и методах внешней политики государств, территориальных, демографических, силовых и других потенциалах различных стран. Геополитика включает также практические действия государства или иного актора (участника) по контролю пространства и заключающихся в нем ресурсов.

Основная категория (и проблема геополитики) – пространство (сухопутное, воздушное, водное). История цивилизации есть история освоения пространства различными средствами. Территория могла контролироваться субъектом ровно настолько, насколько она покрывалась сетью дорог и средствами коммуникации. Пути сообщения всегда играли важную геополитическую роль, что функционально отражается в следующих основных аспектах:

- экономический (вовлечение новых территорий, циркуляция разнообразных ресурсов способствует повышению активности участников рынка);
- геостратегический (закрепление на территории в виде военных баз и т. п., оперативное перемещение военной силы в целях обороны, а также для отстаивания своих интересов в любой точке страны и даже за её пределами);
- информационно-культурный (трансляция технологий, идей и ценностей посредством широкой доступности товарного, культурного, образовательного обмена и высокой социальной мобильности).

В глобальном мире достижение геополитических целей государства и расширение экономического влияния предполагает его включение в современные мультимодальные коридоры, их эффективное использование и контроль, что позволяет ограничить экономическую экспансию стран-конкурентов, ослабить экономическую зависимость от других государств и увеличить собственное присутствие на региональных и мировых рынках. Россия не является исключением: промедление в достижении данных целей грозит утратой не только экономического и политического влияния, но и контроля собственных территорий [1].

В эпоху глобализации мировой экономики выход на внешние рынки определяется для нашего государства в качестве стратегической перспективы. Конкурентных преимуществ при осуществлении международных операций можно достичь, сформировав

эффективную транспортно-логистическую систему.

РФ обладает всеми актуальными видами транспорта для реализации собственных геополитических целей. Транспортный комплекс объединяет наземный, воздушный, железнодорожный и водный транспорт с соответствующей инфраструктурой. Отдельно можно выделить трубопроводы (сравнительно молодое изобретение для промышленной транспортировки, отвечающее за перемещение едва ли не половины ископаемых углеводородов). Благодаря сырьевой направленности российской экономики трубопроводный транспорт остается достаточно эффективным рычагом геополитического влияния на страны Евросоюза, хотя энергетическая зависимость ЕЭС от поставок отечественных углеводородов постепенно ослабевает. Поэтому более актуальна разработка стратегии эффективной транспортной геополитики и создания политранспортной системы, обеспечивающей выход в международные транспортные коридоры.

Как суверенное государство Российская Федерация строит отношения и осуществляет сотрудничество во всех направлениях: с соседними странами первого порядка – имеющими общие с РФ границы (страны СНГ, Восточной Европы, Скандинавии, Центральной Азии и Дальнего Востока), а также со многими странами, не находящимися в непосредственной близости от России. Россия находится в сфере транспортно-логистических интересов стран Евразии и Северной Америки, что позволяет извлекать соответствующие геополитические выгоды.

Эволюция транспортной логистики (отрасль логистики, отвечающая за перевозку грузов) показывает следующую динамику: в начале 2000-х преобладающим видом транспорта в общем объеме мировых грузоперевозок был морской транспорт, чей удельный вес составлял 62 %. На железнодорожный транспорт приходилось до 16 %, трубопроводный – 11 %, автомобильный – 8 %, речной – 3 %

[2]. В современной глобальной логистике установилась тенденция к повышению в перевозках доли автомобильного транспорта. Однако для РФ актуально использование наземных видов транспорта, отличающихся низкими издержками в процессах перевозок. В первую очередь, это связано с огромными площадями страны, с её жёсткими климатическими условиями, а также с большим количеством перевозок тяжёлых грузов на большие расстояния. Поэтому приоритет остается за железнодорожным и трубопроводным транспортом.

В январе-феврале 2020 г. грузооборот транспорта по предварительным данным составил 903,7 млрд т·км, в том числе железнодорожного – 406,9 млрд, автомобильного – 43,0 млрд, морского – 5,4 млрд, внутреннего водного – 4,0 млрд, воздушного – 0,8 млрд, трубопроводного – 443,6 млрд [3].

В настоящее время отрицательную динамику показывают только водные транспортировки (внутренние – вследствие короткого эксплуатационного периода, также из-за обмеления крупных водных артерий в Европейской части страны, морские – из-за серьёзной изношенности плавучих средств и инфраструктуры в целом, а также значительной международной конкуренции).

На сегодняшний день удельный вес грузов, транспортируемых морским транспортом, в грузообороте страны составляет лишь 1 %, морской транспорт в силу своей специфики представляет собой важнейшее транспортное средство всемирной торговли. Именно морской транспорт был и остается важнейшим инструментом мировой экономической и политической экспансии, примером чего является колонизация.

Что же касается автомобильного транспорта, то, в отличие от грузооборота, по тоннажу перевозимых грузов он лидирует с большим отрывом: на его долю приходится 68 % [4]. Это означает, что автоперевозки являются преимущественно средством ближнего действия с невысоким грузооборотом.

Несмотря на проблемы российской логистики, по общему количеству и объёму грузоперевозок на мировой транспортно-арене РФ входит в число лидирующих стран. Так, даже при всех сложностях в авиационной сфере Россию до сих пор выделяют как одну из мощных воздушных держав мира, а протяжённость её железнодорожных и автомобильных путей составляет весомую долю в мировой протяжённости сухопутных дорог.

Рассматривая геополитическое значение современных транспортных коммуникаций, необходимо помнить, что для любой страны важна каждая их составляющая; авто-, железнодорожный, авиа-, морской и трубопроводный транспорт – у всех свой спектр задач и условий применения. Каждый вид сообщения имеет свои достоинства и недостатки. Все они взаимосвязаны и дополняют друг друга и зачастую используются совместно. Однако вне зависимости от распределения нагрузки во внутренних транспортных коммуникациях и их роли в общей транспортно-экспедиционной системе конкретного государства наиболее значительными элементами конкуренции на международной арене являются три типа транспорта: морской, железнодорожный и трубопроводный. Это обусловлено, в первую очередь, их технологическими преимуществами – можно назвать их китами, на которых держится вся транспортная логистика (на них приходится по разным оценкам до 85 % всего грузооборота в мире).

Железнодорожный транспорт выступает вторым по объёму грузооборота в мире и вторым в РФ. Исторически железные дороги в России несли основную транспортную нагрузку, причём это касается как пассажиропотоков, так и грузопотоков. На железнодорожный транспорт в России на конец 2019 г. приходилось более 87 % грузооборота [5], то есть на дальних маршрутах железные дороги успешно выигрывают конкурентную борьбу за грузы. Но на средних и особенно близких дистанциях выбор грузоотправителей

расширяется, и в последние годы часть грузов ушла с железных дорог на автомобили, реки и даже трубопроводы.

Отправная точка транспортной геополитики РФ – её географическое положение. Россия способна выступать в качестве моста между европейскими странами, государствами Центральной, Южной и Юго-Восточной Азии и Северной Америки.

Если РФ берёт на себя роль страны-транзитёра, то самое актуальное направление сегодня – именно развитие мультимодальных и интермодальных перевозок, предусматривающих использование нескольких видов транспорта. Располагая разветвлённой транспортной инфраструктурой в европейской своей части, в направлении запад-восток вдоль южных своих границ и занимая более 30 % территории Евразийского континента, наша страна использует свой транзитный потенциал весьма слабо – по результатам прошлого года железные дороги обслужили всего около 1 % международных грузопотоков в сообщении Европа – Азия [6]. Для РФ с её экспортно-ориентированной экономикой реализация транспортного потенциала и развитие конкурентоспособных транзитных сервисов представляют собой значительную проблему. Самый важный фактор сдерживания роста – это конкуренция с судодоходными компаниями. В настоящее время морские перевозки становятся более выгодными в сравнении с железнодорожными из-за более низкой себестоимости. Эксплуатация морских контейнеровозов больших объемов удешевила перевозку грузов водным путем.

С точки зрения инфраструктуры, увеличение объёмов транзита в РФ сталкивается с проблемой неравномерного географического развития железнодорожной сети – большая часть транспортных мощностей России сосредоточена в европейской части страны. С текущим уровнем финансирования на решение этой задачи уйдёт не одно десятилетие.

Инфраструктура приграничных станций также нуждается в развитии

и инвестициях, поскольку она в действительности является серьёзным препятствием на пути роста транзитных грузопотоков. Наличие инвестиционных рисков объясняет низкую инвестиционную привлекательность транспортно-инфраструктурных проектов, ведь с ними справиться самостоятельно рынки не в состоянии — здесь необходима финансовая и регуляторная поддержка государства.

Трансграничные перевозки сдерживают развитие железнодорожной отрасли не только из-за слабой инфраструктуры, но по причинам нормативно-правового характера. По мнению ведущих игроков транспортного рынка, действующие в настоящий момент таможенные процедуры в РФ чрезвычайно затратны по времени и нуждаются в серьёзном упрощении и пересмотре.

Что касается качества логистических услуг железнодорожного транспорта, то и здесь показатели далеки от мировых стандартов развитых стран, особенно по части сроков доставки, и это тоже относится к указанным факторам. Отсутствие обмена информацией вследствие слабо развитой информационно-коммуникационной инфраструктуры отпугивает многих грузоотправителей. Многие экономические агенты при отправке сезонных грузов, чувствительных к срокам доставки, просто не рискуют переходить на железнодорожные маршруты.

Тем не менее среди экспертов широко распространено мнение, что непосредственная вовлеченность России в глобальные логистические, технологические и экономические цепочки за счёт масштабного роста конкурентоспособных транзитных услуг, представляемых Россией, не только позволит придать импульс внешнеэкономической предпринимательской деятельности, но также станет серьёзным шагом на пути к уходу от ориентированности на экспорт углеводородных полезных ископаемых и началу диверсификации других сегментов российской экономики.

Железнодорожный транспорт в условиях России наиболее эффективен при перевозке массовых видов грузов на дальние и средние расстояния с высокой концентрацией грузовых потоков. К его преимуществам относятся: высокая провозная и пропускная способность, независимость от климатических условий, времени дня и времени года, сравнительно низкие тарифы, большая регулярность перевозок, возможность эффективной организации погрузочно-разгрузочных работ.

Однако у железнодорожных путей сообщения есть и свои недостатки: малая манёвренность, высокая материалоёмкость и энергоёмкость перевозок, обусловленная большими капиталовложениями в производственно-техническую базу, недостаточная сохранность грузов, а также ограниченное число перевозчиков.

Несмотря на указанные проблемы отрасли, железнодорожное сообщение развивать нужно и важно. Даже при текущей изношенности всех его фондов на 60–70 % железнодорожный транспорт является основой российских грузоперевозок, и государство должно принимать соответствующие меры по повышению эффективности железнодорожной инфраструктуры. Государство, в свою очередь, также понимает необходимость скорейшей модернизации существующей сети для продвижения своих внутренних, равно как и внешнеполитических интересов. Например, уже более ста лет Транссибирская железная дорога существует не просто транспортным коридором, построенным с экономической целью, но является настоящей магистралью, соединяющей все регионы нашей страны в единое пространство. Можно сказать, что Транссиб, как и БАМ впоследствии, строился в первую очередь для широкомасштабного освоения Дальнего Востока и Севера России, а также для создания прочных связей со странами Востока — Японией, Китаем и Кореей. Таким образом, экономический и социально-культурный эффект от железной дороги

в России всегда шёл вместе с укреплением политического влияния над подконтрольной территорией.

Конечно, перемещать трудовые и военные ресурсы научились другими способами, тем не менее транспортировку значительных грузов на большие расстояния в природно-климатических условиях нашей страны пока что могут осуществить лишь железные дороги.

С точки зрения геополитических выгод, для российских железных дорог в формате мировой логистики может стать реализация таких важных транспортно-логистических проектов, как сотрудничество с Китаем и другими азиатскими странами (строительство Нового Шёлкового пути и прокладка Трансполярной магистрали).

Масштабная китайская инициатива – «Один пояс, один путь» (One Belt One Road, OBOR) – объединяет в себе несколько торгово-транспортных маршрутов с разными географическими вариантами и считается прорывным шагом в деле интеграции Китая в мировую экономику с целью завоевания доминирующих позиций. «В течение 13-й пятилетки (2016–2021 гг.) совместно с заинтересованными сторонами Китай будет продвигать развитие шести экономических коридоров, а именно: Китай – Монголия – Россия, новый евроазиатский сухопутный мост, Центральный Китай – Западная Азия, Китай – п-ов Индокитай, Китай – Пакистан, а также Бангладеш – Китай – Индия – Мьянма» [7].

Это Новый Шелковый путь (НШП), предусматривающий создание транспортных коридоров между КНР и странами Азии, Африки и Европы. «Boston Consulting Group (BCG) оценивает китайские инвестиции в OBOR в ближайшие 10 лет в \$1 трлн, уже к 2021 г. общий объем инвестиций достигнет \$700 млрд» [8].

России стоит использовать возможности сотрудничества, ведь в противном случае наша страна получит серьёзного конкурента основных путей сообщения – Транссиба и Северного морского

пути. Поэтому РФ должна встроиться в китайский трансконтинентальный транспортный коридор «Европа – Западный Китай». Трасса (8400 км) соединит Санкт-Петербург, Москву, Нижний Новгород, Казань, Оренбург, Актобе, Кызыл-орду, Алма-Ату, Хоргос, Урумчи, Ланьчжоу, Чжэнчжоу и Ляньнунган. По территории России должно пройти около 2200 км дороги, Казахстана – 2800 км, Китая – 3400 км [9].

В рамках проекта НШП расчётный путь занимает 9 сут (транспортировка груза через Суэцкий канал растягивается до 50 сут). Сокращение времени перевозок уменьшает издержки и интенсифицирует грузооборот. Геополитическая, экономическая и технологическая выгода для России очевидна: возможность интеграции в трансевразийские транспортные коридоры, закрепление положения в сфере транзитных перевозок, повышение инвестиционной привлекательности территорий, через которые будут проходить маршруты НШП, ускорение модернизации железнодорожной инфраструктуры, активизация всей экономической жизни, развитие социальной инфраструктуры. В общей перспективе все это может повлечь расширение сотрудничества со странами-участницами НШП, в том числе в рамках стратегических проектов, что придаст новые геополитические преимущества. Еще «...в сентябре 2017 года первый вице-премьер российского правительства Игорь Шувалов заявил в интервью агентству «Синьхуа», что для развития «Одного пояса, одного пути» Россия предложила КНР реализацию трех логистических проектов – высокоскоростную железную и автомобильную дороги в Европу (из Китая в Европу через Казахстан, Россию и Белоруссию) и Северный морской путь для транспортировки энергоресурсов. Результатов пока нет» [10]. Казахстан одним из первых государств-участников Евразийского экономического союза открыл границы для реализации НШП и планирует получать серьезные доходы (до 5 млрд долл. ежегодно [11])

от транзита грузов через свою территорию. Однако этот проект имеет также и негативные для РФ геополитические последствия, возможно, тормозящие российскую инициативу. Прежде всего это серьезная конкуренция российским транспортным коридорам – Транссибу, БАМу, Северному морскому пути [12]. В новых экономических реалиях Транссиб имеет больше недостатков, чем достоинств: неконкурентная скорость и время перемещения (по сравнению с другими видами транспорта), практическая некупаемость и др. [13]. Успешная реализация проекта НШП приведет к экономическому, следовательно, и геополитическому доминированию Китая в огромном Евро-Азиатском регионе и снижению российского влияния. Нельзя допустить реализации экспансионистских планов КНР в отношении российской Сибири и Дальнего Востока – контроль китайской стороны над развитой транспортной сетью является одним из необходимых условий подобных планов.

Существенный проект развития железнодорожной отрасли – прокладка трансполярной магистрали. Она была задумана в 1928 г. как железнодорожный маршрут «Чум – Салехард – Игарка» и носила название Великий северный железнодорожный путь. В связи со сменой власти и политического курса руководства СССР проект не был завершен. В постсоветское время идея соединения Мурманска с Чукоткой по трансполярному маршруту обрела шансы на возрождение, особенно с учетом открытых на данном направлении месторождений природного газа. С точки зрения геостратегии, эта магистраль имеет огромный потенциал для развития отдаленных и малонаселенных регионов, да и страны в целом. Важная геополитическая выгода для Российской Федерации заключается прежде всего в усилении присутствия в северной и приарктической зонах. Борьба за арктическое побережье – это прежде всего борьба за важнейшие трансокеанские коммуникации – Северный морской

путь и Северо-Западный проход, соединяющий Атлантический и Тихий океан. Глобальные изменения климата привели к тому, что арктические воды стали более благоприятными для судоходства и разработки природных ресурсов. Сегодня приарктическими государствами считаются Россия, Канада, США, Норвегия и Дания, на этот статус претендуют также государства, не имеющие с Арктикой океанических границ – Финляндия, Швеция, Исландия. По данным Геологической службы США, под льдами Арктики залегают около 22 % мировых неразведанных ресурсов углеводородов. При этом 84 % ресурсов находится на шельфе Северного Ледовитого океана и лишь 16 % – на сухопутной территории арктических государств в пределах Северного полярного круга [14].

Реализация проекта Трансполярной магистрали требует огромных трудовых и финансовых ресурсов, а вот сроки экономической окупаемости остаются туманными. Более реальным считается Северный широтный ход (самая северная железная дорога России) – часть Трансполярной железнодорожной магистрали (протяжённостью 707 км) в Ямало-Ненецком автономном округе по маршруту Обская – Салехард – Надым. Этот путь должен соединить транспортную систему России и Северный морской путь. Сам проект носит, скорее, утилитарный характер для нужд компаний, добывающих там углеводороды [15]. Однако «Масштабный арктический проект – Северный широтный ход – могут отложить на несколько лет. В частности, есть проблемы с финансированием выделения земли под строительство железной дороги» [16].

Ещё советские специалисты по географии и геодезии считали самой перспективной и наиболее правильной концепцию развития внутренней транспортной сети по меридиально-широтному принципу, где железнодорожные пути идут параллельно широтному измерению Земли, а автомобильные трассы пересекают их параллельно

меридиональному измерению. Пока что её реализация маловероятна. Но стыковка железнодорожных путей и автомобильных магистралей – важная составляющая мультимодальных перевозок, без которой логистическая сфера не может эффективно функционировать.

Таким образом, необходимость полномасштабного использования транзитного потенциала, обусловленного географическим положением России, как естественного транспортного коридора, соединяющего Европейский регион с Азиатско-Тихоокеанским, является главным условием реализации транспортной стратегии РФ. Это подразумевает создание надёжного и эффективно действующего механизма железнодорожных перевозок между Европой и Азией по Транссибирской магистрали, являющейся основным маршрутом доставки грузов из Китая. А следующим звеном этой цепи должны стать налаженное грузовое судоходство по Северному морскому пути и интеграция в рамках НШП как наиболее современных и перспективных транзитных транспортных коридоров. К тому же, второй по значимости на сегодня трубопроводный транспорт, даже при усилении влияния двух означенных выше, не потеряет своей актуальности – РФ как один из главных поставщиков углеводородов в мире будет и далее развивать это направление за счёт его высокой эффективности и низкой себестоимости.

Что касается остальных видов транспорта России, то они безусловно важны, но их состояние на текущий момент не позволяет претендовать на роль инструментов международной политики или экономики – пока что их значение носит лишь локальный, внутренний характер. Потенциал роста автомобильного, внутреннего водного и даже авиатранспорта очень высок, но только в перспективе, поскольку в первую очередь требует значительно больших инвестиций, нежели существующая железнодорожная, морская и трубопроводная инфраструктура.

Влияние транспортных коммуникаций на все сферы жизнедеятельности государства сегодня очень велико; как правило, оно затрагивает не только внутреннюю, но и внешнюю политику страны. Конечно, на первом месте стоит экономический эффект логистики: так, в 2018 г. ВВП России составлял около 97 трлн руб., согласно расчётам ГУ ВШЭ логистические издержки в среднем в РФ составляют около 20 % ВВП, т.е. 19,4 трлн руб. Снижение логистических затрат даже на 1 % даёт экономию в среднем 194 млрд руб./год.

Транспортные коммуникации постепенно перерастают из инфраструктурной составляющей экономики в отдельный фактор, ведь логистика в XXI в. носит глобальный характер и объединяет более или менее успешно весь мир – использование транспортной системы в качестве политического инструмента было лишь делом времени. Не стоит недооценивать и геостратегическую составляющую транспортно-экспедиционной сети: это уже не просто средство оперативной переброски вооружённых сил для защиты своих территорий, но целый комплекс мер, способствующих постоянному обеспечению регионов необходимыми человеческими, экономическими и военными ресурсами для полноценного контроля государственного пространства [17].

На пути совершенствования и усиления логистики наша страна сталкивается со следующими преградами: недостаточность инвестиций (как внутренних, так и зарубежных) в логистическую инфраструктуру РФ и развитие международных транспортных коридоров, моральная отсталость и физическая изношенность транспортной, складской и IT-инфраструктуры, развал и несостоятельность современной российской отрасли производства средств доставки и низкий уровень нормативно-правовой базы в области транспортных коммуникаций, отсутствие единой унифицированной статистики и системы отчётности по логистике, дефицит квалифицированного персонала

и дипломированных специалистов по логистике, несформированность рынка многофункциональных логистических провайдеров.

Для решения этих проблем РФ необходимо в кратчайшие сроки приступить к решению следующих задач: обеспечить доступность и конкурентоспособность логистических услуг, ликвидировать диспропорции и узкие места в развитии логистической инфраструктуры, увеличить пропускную способность всей логистической инфраструктуры страны, на основе этой инфраструктуры интегрировать в единую сеть логистические центры и технопарки, снизить время терминальной обработки партий грузов (особенно в пунктах пропуска через государственную границу и морских портах), создать общую информационную систему мониторинга товарно-транспортных потоков и поддержки логистики, развивать технические и технологические параметры транспортных коридоров, модернизировать транспортную инфраструктуру с учётом значительного износа основных производственных фондов в отраслях транспортного

комплекса и увеличения нагрузки от роста транзита грузопотоков, сформировать в зоне тяготения к национальным и международным транспортным коридорам терминально-складскую сеть мультимодальных комплексов, предоставляющих спектр услуг для транзитных перевозок.

Современная политическая и экономическая реальность для России такова, что наше государство не в состоянии самостоятельно реализовать указанные проблемы: требуются инвестиции и взаимовыгодное сотрудничество со странами ЕАЭС, ШОС, прежде всего Китаем и Казахстаном, снятие множества бюрократических барьеров, прогнозирование возможных геополитических рисков.

Таким образом, можно утверждать возрастающую роль транспортных коммуникаций в реализации геополитических интересов государства – сохранение территориальной целостности, установление регионального или глобального контроля, противодействие конкурентному влиянию со стороны иных внешнеполитических игроков. ■

Литература

1. Балюк К. Н. Международная оценка присоединения Крыма к РФ / К. Н. Балюк, А. Ю. Кузнецов // В сб. : Культура, личность, общество в современном мире: методология, опыт эмпирического исследования / М-лы XXII Международн. конф. памяти проф. Л. Н. Когана. – 2019. С. 1075–1085.
2. Осипова А. О. Современное состояние транспорта в России // Актуальные проблемы в логистике и управлении цепями поставок. URL: <https://cyberleninka.ru/article/n/17609357> (дата обращения: 12.05.2020).
3. Транспорт. URL: https://www.gks.ru/bgd/regl/b20_01/IssWWW.exe/Stg/d02/2-1-7.doc (дата обращения: 12.05.2020).
4. Осипова А. О. Современное состояние транспорта в России. URL: <https://cyberleninka.ru/article/n/17609357> (дата обращения: 16.05.2020).
5. РЖД-партнер. URL: <https://www.rzd-partner.ru> (дата обращения: 12.05.2020).
6. Горчакова О. В. Анализ функционирования железнодорожного транспорта в России в системе транспортного обеспечения ВЭД и экспорта транспортных услуг. URL: [http://www.rfej.ru/rvv/id/100484CFC/\\$file/114-124.pdf](http://www.rfej.ru/rvv/id/100484CFC/$file/114-124.pdf) (дата обращения: 13.05.2020).
7. Gao Hucheng. Creating the New Ground of Opening Up // Key Speech by Minister Gao Hucheng at the Series Seminar on the Outlook of the 13th Five Year Plan. 2016. URL: <http://www.english.mofcom.gov.cn/article/newsrelease/significantnews/201604/20160401298984.shtml> (дата обращения: 14.05.2020).
8. Игорь Попов. Новый Шелковый путь. Глобализация. Плата за проезд URL: <https://www.utlc.com/smi/03-2019-forbes/> (дата обращения: 15.05.2020).
9. Изъюрова Л. Новый Шелковый путь. URL: <http://transportrussia.ru/transportnaya-politika/novyy-shelkovyy-put.html> (дата обращения: 18.05.2020).
10. Новый Шелковый путь. Глобализация. Плата за проезд. URL: <https://www.utlc.com/smi/03-2019-forbes> (дата обращения: 18.05.2020).

11. Там же.
12. Строганов А. О. Новый шелковый путь: вызов российской логистике // АНИ: экономика и управление. 2016. Т. 5. № 4 (17). С. 359. ISSN 2309-1762.
13. Там же, с. 359–360
14. Арктика: борьба за ресурсы и влияние. URL: <https://www.dw.com/ru/арктика-борьба-за-ресурсы-и-влияние/a-48254991> (дата обращения: 28.05.2020).
15. Корнильцева Е. Г. Русско-югорские межэтнические сообщества: специфика становления / Е. Г. Корнильцева, А. Ю. Кузнецов // Современные исследования социальных проблем. 2017. Т. 8. № 6-2. С. 376–381. ISSN 2077-1770.
16. Реализация масштабного инвестпроекта на Ямале может затянуться. URL: <https://t.rbc.ru/tyumen/30/11/2018/> (дата обращения: 29.05.2020).
17. Kuznetsov A. Industry 4.0 and Problems of Labor Migration / A. Kuznetsov, Yu. Ermakov // В сб. : Proceedings of scientific papers from the international scientific conference The Impact of Industry 4.0 on Job Creation 2019. – Alexander Dubček University in Trenčín, Faculty of Social and Economic Relations. 2020. С. 254–259.

Literature

1. Balyuk K. N. International assessment of annexation of Crimea to the Russian Federation / K. N. Balyuk, A. Yu. Kuznetsov // In col.: Culture, personality, society in modern world: methodology, empirical research experience / Proceedings of XXII International conference in memory of Prof. L. N. Kogan. [Mezhdunarodnaya otsenka prisoedineniya Kryma k RF / K. N. Balyuk, A. Yu. Kuznetsov // V sb. : Kul'tura, lichnost', obshchestvo v sovremennom mire: metodologiya, opyt empiricheskogo issledovaniya / M-ly XXII Mezhdunarodn. konf. pamyati prof. L. N. Kogana]. 2019. P. 1075–1085
2. Osipova A. O. Current state of transport in Russia // Current issues in logistics and supply chain management. [Sovremennoe sostoyanie transporta v Rossii // Aktual'nye problemy v logistike i upravlenii tsepyami postavok]. URL: <https://cyberleninka.ru/article/n/17609357> (reference date: 12.05.2020).
3. Transport. URL: https://www.gks.ru/bgd/regl/b20_01/IssWWW.exe/Stg/d02/2-1-7.doc (reference date: 12.05.2020).
4. Osipova A. O. Current state of transport in Russia. [Sovremennoe sostoyanie transporta v Rossii.] URL: <https://cyberleninka.ru/article/n/17609357> (reference date: 16.05.2020).
5. RZD-partner. [RZhD-partner.] URL: <https://www.rzd-partner.ru> (reference date: 12.05.2020).
6. Gorchakova O. V. Analysis of railway transport functioning in Russia in the system of FTA transport support and export of transport services. [Analiz funktsionirovaniya zheleznodorozhnogo transporta v Rossii v sisteme transportnogo obespecheniya VED i eksporta transportnyh uslug]. URL: [http://www.rfej.ru/rvv/id/100484CFC/\\$file/114-124.pdf](http://www.rfej.ru/rvv/id/100484CFC/$file/114-124.pdf) (reference date: 13.05.2020).
7. Gao Hucheng. Creating the New Ground of Opening Up // Key Speech by Minister Gao Hucheng at the Series Seminar on the Outlook of the 13th Five Year Plan. 2016. URL: <http://www.english.mofcom.gov.cn/article/newsrelease/significantnews/201604/20160401298984.shtml> (reference date: 14.05.2020).
8. Igor Popov. New Silk Road. Globalization. Paying the toll. [Novyj Shelkovyj put'. Globalizatsiya. Plata za proezd]. URL: <https://www.utlc.com/smi/03-2019-forbes/> (reference date: 15.05.2020).
9. Izyurova L. New Silk Road. [Novyj Shelkovyj put']. URL: <http://transportrussia.ru/transportnaya-politika/novyy-shelkovyy-put.html> (reference date: 18.05.2020).
10. New Silk Road. Globalization. Paying the toll. [Novyj Shelkovyj put'. Globalizatsiya. Plata za proezd]. URL: <https://www.utlc.com/smi/03-2019-forbes/> (reference date: 18.05.2020).
11. Ibid.
12. Stroganov A.O. New Silk Road: challenge for Russian logistics // ANI: economics and management. [Novyj shelkovyj put': vyzov rossijskoj logistike // ANI: ekonomika i upravlenie]. 2016. V. 5. № 4 (17). P. 359. ISSN 2309-1762.
13. Ibid. p.359-360
14. Arctic: fight for resources and influence. [Arktika: bor'ba za resursy i vliyanie.] URL: <https://www.dw.com/ru/арктика-борьба-за-ресурсы-и-влияние/a-48254991> (reference date: 28.05.2020).

15. Korniltseva E. G. Russian-Ugric interethnic communities: specifics of formation [Russko-yugorskie mezhetnicheskie soobshhestva: spetsifika stanovleniya] / E.G.Korniltseva, A. Yu. Kuznetsov // Current research of social problems. [Sovremennye issledovaniya sotsial'nyh problem]. 2017. V. 8. № 6-2. P. 376–381. ISSN 2077-1770.
16. Implementation of a large-scale investment project in Yamal may be delayed. [Realizatsiya masshtabnogo investproekta na Yamale mozhet zatyanut'sya]. URL: // <https://t.rbc.ru/tyumen/30/11/2018/> (reference date: 29.05.2020).
17. Kuznetsov A. Industry 4.0 and Problems of Labor Migration / A. Kuznetsov, Yu. Ermakov // В сб. : Proceedings of scientific papers from the international scientific conference The Impact of Industry 4.0 on Job Creation 2019. – Alexander Dubček University in Trenčín, Faculty of Social and Economic Relations. 2020. С. 254–259.

Статья сдана в редакцию 16 июня 2020 года

Уважаемые коллеги!

Информирую вас о требованиях, предъявляемых к оформлению статей.

При наборе используйте Word-2003 или Word-2007; шрифт (по всему тексту, в том числе в рисунках и таблицах) – тип Times, размер шрифта – 14, межстрочное расстояние – 1,5, абзацный отступ – 1,25 (1,27) см, поля – 2 см; расстановка переносов по всему тексту – автоматическая.

Набор формул: простые формулы и сочетания символов ($x^2 < y^2$; $E = mc^2$; $a^2 + b^2 = c^2$; Q_{i-1} ; ψ_j) – только в текстовом режиме, сложные

$$(s^2 = \frac{1}{n-1} \left[\sum_{j=1}^e x_j^2 n_j - \frac{1}{n} \left(\sum_{j=1}^e x_j n_j \right)^2 \right]; \left(\frac{\sigma_a}{[n]} \right)$$

или S_i^m) – только в редакторе формул

Equation или в MathType.

Написание букв: русские (а, б, в, А, Б, В), греческие (Θ, Σ, Ω, Ψ, α, β, δ, ε, λ, π), а также цифры и аббревиатуры (1, 2, 3; I, II, III; max, lg, sin и т. п.) пишутся только прямо; латинские (a, b, n, A, B, N и т. д.) – только курсивом. Исключение – курсив во вспомогательном тексте (слова «Таблица» и «Рис.», примечания в рисунках и ссылки в тексте на эти примечания).

Оформление текста: левый верхний край – инициалы, фамилия; заголовков – все буквы ПРОПИСНЫЕ, жирные, расположение – по центру набора; таблиц и рисунков: в таблицах размер шрифта – на полтора-два размера меньше, чем в основном тексте (11,5–12), расположение текста в «шапке» таблицы – по центру, в столбцах – по ширине; межстрочное расстояние – 1; слово «Таблица» – курсивное начертание, в правый край таблицы; название таблицы – начертание нормальное (прямое), расположение – по центру таблицы. В рисунках (графиках, диаграммах): размер подрисуночной

подписи – 14, расположение – по центру набора, слово «Рис.» – курсив, название рисунка – нормальное начертание, описание рисунка (экспликация) – нормальное начертание, условные обозначения – курсивное начертание, их расшифровка – нормальное. Расположение таблиц и рисунков – строго после ссылки на них.

Кроме того, рисунки обязательно прилагаются к материалу (один рисунок – один файл; формат – *.jpg).

Ссылки на литературу в тексте пишутся в квадратных скобках ([1], [1, 2] или [3–5]); нумерация сквозная. Список литературы/источников оформляется по ГОСТ 7.0.5–2008.

В конце статьи обязательно ставится дата отсыла материала в редакцию.

Объем статьи – не более 14-ти страниц.

Название файла: Фамилия. Первое слово заголовка. Подчеркивание. Последнее слово заголовка (Сидоров. Синтез_электроприводом).

К материалу (статье) обязательно прилагаются (отдельным файлом): УДК, сведения об авторе, аннотация, ключевые слова (название файла: УДК 000. Сидоров. Синтез_электроприводом).

Материалы для очередного номера журнала «Вестник УрГУПС» принимаются до 30 числа первого месяца квартала (до 30-го января, 30-го апреля, до 30-го июля, до 30-го октября). Материалы, поступившие в редакцию после 30-го числа, будут опубликованы только в следующем номере.

Успешной работы!

*Л. Барышникова,
литературный и выпускающий
редактор журнала «Вестник УрГУПС»*

Уважаемые читатели и авторы журнала «Вестник УрГУПС»!

Если вам нравится наш журнал, вы можете оказать содействие в его развитии, перечислив денежные средства по реквизитам:

Ассоциация выпускников УЭМИИТ-УрГУПС

ИНН-КПП 6670317893/667001001

ОГРН 1156600001470

620075, Свердловская обл., г. Екатеринбург, ул. Шевченко, д. 20, помещение 1

Р/с 40703810863010000192

в ПАО КБ «УБРИР» филиал ССБ

к/с 30101810900000000795

БИК 046577795

Назначение платежа: «Пожертвование для поддержки научных журналов УрГУПС».

Ваша финансовая поддержка позволит нам увеличить число публикаций, повысить индексы цитирования журнала и наших авторов.

Уважаемые руководители инновационных компаний и предприятий!

Предлагаем вам услуги по продвижению вашей продукции через сеть Ассоциации выпускников УЭМИИТ-УрГУПС.

Ассоциация выпускников УЭМИИТ-УрГУПС – это кооперация большого числа неравнодушных людей различных сфер деятельности, окончивших наш университет.

Кроме того, предлагаем услуги по подбору молодых специалистов, по организации поиска решений прикладных и научных задач в рамках диссертационных работ, выполняемых в УрГУПС.

Всю необходимую информацию вы можете получить по тел. (343) 221-25-60

или на сайте <http://www.usurt.ru/vypusknikam/assotsiatsiya-vypusknikov-urgups>

Извещение	<p>Получатель: <u>Ассоциация выпускников УЭМИИТ-УрГУПС</u> КПП: <u>667001001</u> ИНН: <u>6670317893</u> ОКТМО: <u>65701000</u> Р/сч.: <u>40703810863010000192</u> в: <u>ПАО КБ «УБРИР» филиал ССБ</u> БИК: <u>046577795</u> К/сч.: <u>30101810900000000795</u> Код бюджетной классификации (КБК): _____ Платеж: <u>Пожертвование для поддержки научных журналов УрГУПС</u> Плательщик: _____ Адрес плательщика: _____ ИНН плательщика: _____ № л/сч. плательщика: _____ Сумма: _____ руб. ____ коп. Подпись: _____ Дата: «____» _____ 2020 г.</p>
Квитанция	<p>Получатель: <u>Ассоциация выпускников УЭМИИТ-УрГУПС</u> КПП: <u>667001001</u> ИНН: <u>6670317893</u> ОКТМО: <u>65701000</u> Р/сч.: <u>40703810863010000192</u> в: <u>ПАО КБ «УБРИР» филиал ССБ</u> БИК: <u>046577795</u> К/сч.: <u>30101810900000000795</u> Код бюджетной классификации (КБК): _____ Платеж: <u>Пожертвование для поддержки научных журналов УрГУПС</u> Плательщик: _____ Адрес плательщика: _____ ИНН плательщика: _____ № л/сч. плательщика: _____ Сумма: _____ руб. ____ коп. Подпись: _____ Дата: «____» _____ 2020 г.</p>

ф. СП-1

АБОНЕМЕНТ

на ~~газету~~
журнал

70070

(индекс издания)

Вестник УргУПС

(наименование издания)	Количество комплектов:	
------------------------	------------------------	--

на 2020 год по месяцам:

1	2	3	4	5	6	7	8	9	10	11	12
						X	X	X	X	X	X

Куда

(почтовый индекс)

(адрес)

Кому

(фамилия, инициалы)

ДОСТАВОЧНАЯ КАРТОЧКА

ПВ	место	литер

на ~~газету~~
журнал

70070

(индекс издания)

Вестник УргУПС

(наименование издания)

Стои- мость	подписки	_____ руб. ____ коп.	Количество комплектов:	
	переадресовки	_____ руб. ____ коп.		

на 2020 год по месяцам:

1	2	3	4	5	6	7	8	9	10	11	12
						X	X	X	X	X	X

Куда

(почтовый индекс)

(адрес)

Кому

(фамилия, инициалы)